



## GRADO EN MATEMÁTICA COMPUTACIONAL

### PROYECTO FINAL DE GRADO

---

# Los cuaterniones y su importancia en la representación gráfica por ordenador

---

*Autor:*  
Rocío CARRATALÁ SÁEZ

*Supervisor:*  
David RODRÍGUEZ SÁNCHEZ  
*Tutor académico:*  
Vicente José PALMER ANDREU

Fecha de lectura: 30 de julio de 2015  
Curso académico 2014/2015

## Resumen

El presente Proyecto Final de Grado aúna una recopilación de los aspectos más importantes de mi estancia en prácticas y un estudio sobre las isometrías lineales y afines y los cuaterniones.

Mi estancia en prácticas estuvo dedicada a la programación de videojuegos colaborando con el equipo Catness, uno de los que integran la empresa PaynoPain, situada en el Espaitec de la Universitat Jaume I de Castellón. Concretamente, programé funciones que permiten al usuario editar un cubo moviendo sus vértices o sus caras, así como realizar extrusiones del mismo.

Durante la estancia, descubrí la existencia de los ángulos de Euler, utilizados en la descripción de giros en el cubo, y de lo que constituye su principal defecto: el *Gimbal Lock*, que podría traducirse como “bloqueo giroscópico”. La búsqueda de información sobre ellos me llevó hasta los cuaterniones; unos números, *creados* en el siglo XIX, que son de la forma:

$$q = a + bi + cj + dk$$

donde  $a, b, c, d \in \mathbb{R}$  con  $i^2 = j^2 = k^2 = ijk = -1$ . Precisamente a su estudio dedico un capítulo completo en este documento.

Cabe añadir que actualmente los cuaterniones son muy útiles en la representación gráfica por ordenador, debido, entre otras cosas, a la posibilidad que ofrecen de representar con ellos rotaciones en el espacio tridimensional evitando el *Gimbal Lock*.

## Palabras clave

Geometría afín, cuaterniones, Unreal Engine, videojuegos.

## Keywords

Affine geometry, quaternions, Unreal Engine, videogames.

# Índice general

<b>1. Introducción.</b>	<b>5</b>
1.1. Contexto y motivación del proyecto. . . . .	5
<b>2. Una matemática computacional en prácticas.</b>	<b>7</b>
2.1. Catness: mi primera experiencia programando videojuegos. . . . .	7
2.2. Objetivos del proyecto a realizar. . . . .	8
2.3. Metodología y definición de tareas. . . . .	8
2.4. Planificación temporal de las tareas. . . . .	10
2.5. Recursos del proyecto. . . . .	12
2.6. Resultados obtenidos y principales problemas resueltos. . . . .	12
<b>3. Matemáticas en los videojuegos.</b>	<b>15</b>
3.1. Introducción. . . . .	15
3.2. Isometrías en espacios afines euclídeos. . . . .	16
3.2.1. Primeras definiciones. . . . .	16
3.2.2. Isometrías lineales y grupo ortogonal. . . . .	20
3.2.3. Isometrías en $\mathbb{R}^2$ y $\mathbb{R}^3$ : resultados generales y clasificación. . . . .	33
3.3. Los cuaterniones y su importancia en gráficos por ordenador. . . . .	40
3.3.1. El <i>nacimiento</i> de los cuaterniones y su creciente popularidad. . . . .	40

3.3.2. El álgebra de los cuaterniones. . . . .	42
3.3.3. Los cuaterniones en las rotaciones. . . . .	48
3.3.4. Ángulos de Euler, giroscopios y cuaterniones. Pese a su complejidad, ¿conviene utilizar los cuaterniones? . . . . .	54
<b>4. Conclusiones.</b>	<b>57</b>
<b>A. Código implementado durante la estancia en prácticas.</b>	<b>1</b>
<b>B. Un ejemplo de uso de cuaterniones en Unreal Engine: FTransform</b>	<b>1</b>

# Capítulo 1

## Introducción.

### 1.1. Contexto y motivación del proyecto.

El Proyecto Final de Grado (en adelante, PFG) representa, junto con la estancia en prácticas, dieciocho de los doscientos cuarenta créditos que componen el Grado en Matemática Computacional.

En el momento de elegir estancia en prácticas y, consecuentemente, temática sobre la que desarrollar mi PFG, escogí la opción de formar parte del equipo Catness, dentro de la empresa PaynoPain, situada en el Espaitec de la Universitat Jaume I (en adelante, UJI). Tomé esta decisión motivada por el hecho de que la geometría es la rama de las matemáticas que me resulta más atractiva y, a su vez, es muy importante en el mundo de los videojuegos, al que el mencionado equipo dedica su trabajo.

La geometría cobra especial importancia en los videojuegos, no solo a nivel de reproducir en ellos isometrías comunes en el espacio como rotaciones o traslaciones, sino también estudiando cómo tratarlas y programarlas en los motores informáticos enfocados al desarrollo de videojuegos. Tanto es así que, en mi PFG, consideré de vital importancia dedicar esfuerzo a la compresión de la representación de figuras en el espacio de tres dimensiones y de isometrías aplicadas sobre ellas mediante cuaterniones, prestando especial atención a las rotaciones.

Los cuaterniones son números de la forma:

$$q = a + bi + cj + dk$$

donde  $a, b, c, d \in \mathbb{R}$  con  $i^2 = j^2 = k^2 = ijk = -1$ . Fueron *creados* por W. R. Hamilton en el siglo XIX y su conjunto,  $\mathbb{H}$ , satisface casi todas las propiedades usuales del álgebra excepto la conmutativa del producto, por lo que  $(\mathbb{H}, +)$  es un grupo conmutativo y  $(\mathbb{H}, \cdot)$  es un grupo no conmutativo. En general, la terna  $(\mathbb{H}, +, \cdot)$  constituye un anillo no conmutativo con elemento neutro. Es importante destacar que los cuaterniones pueden asociarse a un espacio vectorial sobre  $\mathbb{R}^4$ .

A lo largo de este documento explicaré los aspectos más relevantes de mi estancia en prácticas - incluyendo alusiones a los objetivos y a la planificación inicial de las tareas, su consecución o no en los plazos establecidos para las mismas y los resultados finales obtenidos - y presentaré algunos de los aspectos más importantes sobre las isometrías en espacios afines euclídeos y sobre los cuaterniones y sus usos, todo de una forma que espero que resulte a la par interesante y amena.

## Capítulo 2

# Una matemática computacional en prácticas.

### 2.1. Catness: mi primera experiencia programando videojuegos.

PaynoPain es una empresa de reciente creación (inició su actividad en el año 2011) dedicada al desarrollo de productos basándose en el aprovechamiento de las nuevas tecnologías. Centran su principal actividad en el diseño de sistemas de seguridad e identificación de usuarios, aunque también existe entre sus equipos de trabajo uno dedicado a los videojuegos. Es en este último en el que yo me integré durante mi estancia en prácticas.

El equipo Catness lo formaban, a mi llegada, dos programadores: David Rodríguez (quien fue mi supervisor) y Marco Domingo. Durante mi colaboración con ellos se unió al equipo un tercer trabajador, Adrian Virlan, como diseñador gráfico encargado del modelado tanto de los personajes de los videojuegos como de sus escenarios.

Actualmente en Catness se está desarrollando un proyecto ambicioso: Hive. Dada la complejidad y el avanzado estado de dicho videojuego, resultaba complicado, en el tiempo disponible en la estancia en prácticas, conseguir mi inmersión y colaboración en dicho proyecto, por lo que David y Marco buscaron alternativas que yo pudiera abordar. Entre las opciones que me ofrecieron, tres de los proyectos presentaban mayor componente geométrico: “*Sculpt!*”, “*Our way*” y diseñar un simulador de entornos.

Participar en el desarrollo de “*Sculpt!*” consistía en contribuir a la implementación de un cubo con esquinas redondeadas moldeable mediante clicks para representar el efecto de esculpir un busto. “*Our way*” es una idea de videojuego que pretende recrear batallas en un laberinto infinito cuyos recorridos cambian cada cierto tiempo. Estos dos proyectos parecían interesantes, pero finalmente decidimos, tras reunirme con el equipo Catness a mi llegada el primer día, que mis conocimientos geométricos les resultarían especialmente útiles si los aplicaba al diseño de figuras editables para utilizarlas en el simulador de entornos.

## **2.2. Objetivos del proyecto a realizar.**

Si bien la pretensión final del simulador en el que se decidió que trabajara es recrear completamente una habitación de una vivienda, ofreciendo la posibilidad de editar todo lo relacionado con sus paredes, ventanas y puertas, así como el tamaño, forma y aspecto del mobiliario, completar dicho proyecto requiere una dedicación temporal mucho mayor de la que corresponde a mi estancia en prácticas.

Es por ello que el equipo Catness decidió que lo mejor sería que programara las funciones necesarias para conseguir ofrecer al usuario final varias ediciones de figuras geométricas.

Más ambiciosamente de lo debido, en un principio establecimos que programaría varias isometrías afines y roturas en fragmentos de cubos, esferas y cilindros. No obstante, a la vista de las limitaciones de las herramientas de programación disponibles, se reajustaron los objetivos concluyendo que lo más útil para el equipo sería que, en el momento en el que terminara mi estancia, estuvieran listas las funciones que permitieran el giro, traslación, movimiento de caras y vértices, escalado y extrusión del cubo y, en caso de restar tiempo, generalizar dichas opciones para posibilitar su uso para la edición de otras figuras como cilindros o tetraedros.

## **2.3. Metodología y definición de tareas.**

El equipo Catness utiliza el motor de juego *Unreal Engine* (en adelante, UE) para la programación de sus videojuegos, el cual combina programación en C++ y Blueprints.

Si bien la programación en C++ me resultó familiar, pues presenta similitudes con los lenguajes de programación Java y C que he estudiado durante el grado, Blueprints fue una herramienta novedosa. No obstante, el aprendizaje de su manejo fue rápido, pues UE incorpora Blueprints como una herramienta pensada para quienes se inicien en la creación de videojuegos sin elevados conocimientos de programación y prefieran, consecuentemente, utilizar un entorno gráfico basado en “click y arrastrar” para dotar de funcionalidades a su proyecto.

A continuación detallo la definición de las tareas propuestas para su realización durante mi estancia en prácticas:

- Movimiento de vértices, tanto en la dirección de los ejes cartesianos de movimiento como en la dirección de los ejes que representen la rotación de la figura, en caso de haberla. Esto requiere:
  - Detección del cubo que contiene el vértice a editar, distinguiendo su figura del resto del entorno, incluidos otros cubos cercanos y/o en contacto con él. Se estableció que la detección se haría siempre que el cursor se encontrara sobre la figura.

- Detección del vértice a editar, distinguiendo cuál es entre los ocho que presenta el cubo. De nuevo, se estableció que la detección se haría siempre que el cursor se encontrara sobre el vértice. Dado que exigir esto estrictamente implicaría que el cursor estuviera exactamente sobre uno de los píxeles de la pantalla y tanta restricción es poco práctica, se decidió que, cuando el cursor se desplazara cercano a dicho píxel, se iluminaría una esfera translúcida a su alrededor, indicando su detección.
  - Selección del vértice a editar. Se estableció que, una vez mostrada la esfera que rodea el entorno del vértice, la selección se haría mediante click izquierdo sobre ella, lo cual la escondería y mostraría en su lugar tres flechas ortogonales con inicio en el vértice y prolongadas sobre las direcciones de los ejes cartesianos.
  - Movimiento efectivo del vértice. Una vez seleccionado un vértice y manteniendo pulsado click izquierdo sobre la flecha en cuya dirección desea desplazarse, este se movería a lo largo de los ejes cartesianos. Si se mantiene pulsado click derecho en lugar del izquierdo entonces se movería a lo largo de la dirección seleccionada según la rotación que tenga aplicada la figura.
- Movimiento de las aristas del cubo, tanto en la dirección de los ejes cartesianos de movimiento como en la dirección de los ejes que representen la rotación de la figura, en caso de haberla. Esto requiere la identificación correcta de la arista a mover, su posterior selección y, finalmente, su desplazamiento, abordable utilizando las funciones de movimiento de vértices simultáneamente para los dos vértices situados al inicio y fin de la arista. Dado que se consideró que podría resultar incómodo presentar tantas funcionalidades siempre disponibles, se decidió implementar esta pero dejarla oculta, con posibilidad de asignarla posteriormente a alguna tecla del teclado para poder ejecutarla, pero sin acceso desde el entorno “gráfico” que utiliza el usuario final.
- Movimiento de las caras del cubo en la dirección normal a la cara a editar. Esto requiere:
- Detección de la cara señalada por el cursor. Mientras que en detección de vértices se mostraba una esfera, se decidió que en este caso gráficamente no se mostraría ningún efecto cuando se detectara la cara. Así, internamente el programa detecta la posición del cursor y la cara debajo de él, pero no varía nada en la figura.
  - Selección de la cara. Tras un click izquierdo sobre la cara ya detectada, se selecciona la misma. Esto provoca que se oculten las esferas visibles de los vértices (en caso de haberlas) y se pase a modo “edición de caras”. Este cambio no es perceptible por el usuario, pero internamente bloquea las funciones de detección de vértices, aristas, caras y/o figuras y permite solamente la edición de la cara seleccionada, al tiempo que muestra una flecha que parte del centro de la cara seleccionada y se coloca orthogonal a ella.
  - Movimiento efectivo de la cara. Una vez seleccionada la cara, manteniendo pulsado click izquierdo sobre la flecha y arrastrándola en un sentido del movimiento deseado, la cara se traslada, manteniendo la figura de “cubo” o “prisma rectangular”. Hay que tener en cuenta, en este punto, que editar una cara supone modificar cuatro vértices del cubo, lo que afecta a otras cuatro de sus caras que hay que recalcular también.

- Extrusión o, dicho de otro modo, “duplicado” de cubos. Esto consiste en crear un nuevo prisma rectangular con una de sus caras en contacto con la cara sobre la que se hace la extrusión en el cubo de partida. Esto requiere:
  - Detección y selección de la cara. Esto se hace de igual modo que en “movimiento de caras”, activándose tras esto el modo “edición de caras” y mostrándose la flecha ortogonal a la cara a editar.
  - Extrusión efectiva de una cara del cubo. Esto se consigue manteniendo pulsado click de recho sobre la flecha que en el punto anterior he explicado que permitía el movimiento de una cara utilizando el click izquierdo. En cuanto se hace click derecho, se crea un prisma rectangular que tiene una cara pegada a la cara que se está editando en el cubo de partida y, mientras el usuario mantenga pulsado el click derecho y mueva el ratón en un sentido o en otro, desplazará la cara paralela a la que comparte con el otro cubo, es decir, “alargará” o “contraerá” el nuevo prisma rectangular.
- Refactorización del código y corrección de “bugs” o errores. Una vez programado lo anterior, es necesario probar bajo todas las circunstancias imaginables las funciones para corregir todos los errores que se detecten y, cuando esto se logre, hay que refactorizar el código, lo cual consiste en reestructurarlo para compactarlo, consiguiendo funciones lo más atómicas posibles para reutilizarlas y evitar implementar varias veces innecesariamente lo mismo. Además, incluye presentar un código limpio y fácilmente comprensible, lo que conlleva nombres de variables y funciones claros y reducir el código al menor número de líneas posibles.

Cabe notar que, pese a estar hablando de “cubo” porque es la figura de partida, tras la edición de sus caras este puede pasar a ser un prisma rectangular y, en caso de editar sus vértices, cualquier hexaedro.

También es importante mencionar que, para programar todo el código que desarrollé a lo largo de mi estancia en prácticas, el cual puede consultarse en el Anexo A de este documento, partí del código ya implementado por Sébastien Rombauts, disponible en su cuenta de GitHub<sup>1</sup>. De este código aproveché su propuesta de malla procedural “*ProceduralMesh*” y también “*ProceduralMeshComponent*”, su base a partir de la cual desarrollar los componentes de la malla. Las otras dos clases que conforman mi proyecto - programadas por mí - que dejé en Catness tras mis prácticas son “*ProceduralCubeActor*” y “*CustomPlayerController*”, que respectivamente contienen las funciones para la edición del cubo y las que permiten al usuario interactuar con él por medio del ratón.

## 2.4. Planificación temporal de las tareas.

Dado que el equipo Catness no tenía desarrollado ningún aspecto del simulador de entornos y desconocíamos, tanto ellos como yo, el coste temporal que supondría cada una de las implementaciones porque no sabíamos qué problemas podrían surgir, la planificación inicial fue muy ambiciosa:

---

<sup>1</sup>URL de la cuenta de GitHub de S. Rombauts: <https://github.com/SRombauts/UE4ProceduralMesh>

- Primera quincena: asimilación de conceptos básicos necesarios para programar en C++ y familiarización con UE y las particularidades propias de la implementación de videojuegos.
- Segunda quincena: implementación de funciones para habilitar la edición de un cubo (rotación, traslación, escalado, deformación, selección de la apariencia de las caras visibles,...) desde el modo de juego.
- Tercera, cuarta y quinta quincenas: implementación de funciones para habilitar la edición de otros objetos del entorno (rotación, traslación, escalado, deformación, selección de la apariencia de las caras visibles,...) desde el modo de juego.
- Sexta quincena: refactorizar el código y corregir errores de la implementación de la aplicación diseñada.

Si bien es cierto que familiarizarme con la programación en C++ y las particularidades de los videojuegos y aprender a trabajar con UE tan solo me llevó una semana y no dos como se preveía, la implementación interna de las funciones para permitir la edición de las figuras resultó ser lenta y costosa, pues UE permite su traslación, rotación y escalado al programador, pero apenas presenta funciones disponibles para que el usuario final<sup>2</sup> pueda “moldearlas” y fue necesario implementar hasta el más mínimo detalle.

A la vista del ritmo de trabajo viable, la nueva planificación de tareas fue la que sigue:

- Cuatro primeras quincenas: en primer lugar, asimilar conceptos básicos necesarios para programar en C++ y familiarizarme con UE y las particularidades propias de la implementación de videojuegos. Tras esto, implementar las funciones de movimiento de vértices, aristas y caras del cubo, así como su extrusión de caras.
- Quinta quincena: en caso de haber terminado las tareas de las quincenas anteriores y habiendo corregido sus posibles errores, generalizar dichas funciones para permitir su uso en otras figuras poliédricas o cilindros.
- Sexta quincena: refactorizar el código y corregir errores de la implementación de la aplicación diseñada.

---

<sup>2</sup> UE ofrece un “modo de edición” o “perspectiva de programación” donde el desarrollador tiene a su alcance un gran número de funciones preprogramadas y puede diseñar, además, tantas como desee. Una vez completado el diseño - o cuando se desea comprobar los cambios en el mismo -, puede verse el aspecto de lo programado tal como se ofrecería a un usuario final. Esto último se hace cambiando a lo que denominaré, para contextualizar las explicaciones, “modo jugador” o “perspectiva de jugador” y, en él, solamente se ofrecen las funciones que desde el otro modo se hayan implementado y señalado como disponibles para el jugador, por lo que no incluye ninguna de las funciones preprogramadas que tiene UE.

## 2.5. Recursos del proyecto.

A nivel de recursos materiales, dado el escaso presupuesto del equipo Catness, de reciente creación, y mi disponibilidad de ordenador portátil con suficiente capacidad de procesador y rendimiento gráfico para la actividad a desarrollar, en la empresa únicamente tuvieron que asignarme una mesa de trabajo.

A nivel de software, como nunca antes había hecho nada relacionado con la programación de videojuegos, fue necesario instalar varios componentes en mi ordenador, principalmente *Unreal Engine 4*, *Microsoft Visual Studio* y *Git Hub*. Los dos primeros los utilicé para programar y ejecutar las funciones implementadas y el tercero para crear copias de seguridad periódicas, accesibles para su consulta o para recuperar un código anterior en caso de errores graves en versiones posteriores.

Cabe señalar que *GitHub* permite “compartir” proyectos, por lo que compartí el mío con David Rodríguez y Marco Domingo, lo cual les permitía revisarlo en cualquier momento para estar al día de mis avances durante mi estancia.

## 2.6. Resultados obtenidos y principales problemas resueltos.

A lo largo de mi estancia en prácticas completé la mayoría de las tareas propuestas en la planificación (en concreto, conseguí que funcionara correctamente todo lo detallado en la sección 2.3. anterior), si bien no hubo tiempo de generalizar las funciones implementadas de edición del cubo a otras figuras poliédricas o cilíndricas. No obstante, antes de marcharme comenté con el equipo Catness mis propuestas para hacer posible esta generalización. Las más importantes fueron:

- Englobar los atributos individuales que representan los vértices en una lista dinámica a la que poder añadir o eliminar cualquiera de ellos en cualquier momento sin tener que reescribir la inicialización de la figura.
- Englobar los vértices de las caras en listas contenidas en una lista mayor, todas ellas dinámicas, para identificar las caras de las figuras rápidamente y hacer más flexibles las modificaciones sobre ellas.
- Adaptar todas las funciones de edición de la figura (movimiento de vértices, aristas y caras, extrusión, etc.) para conseguir un funcionamiento correcto con las listas anteriores y, así, eliminar la dependencia actual del código a una estructura de hexaedro.

En cuanto a problemas resueltos, una vez salvadas las distancias de la programación con UE, destacan:

- UE no trabaja con radianes sino con grados y ángulos de Euler, lo cual desconocía al principio y, hasta que lo detecté, derivó en comportamientos extraños en aquellas funciones que aplicaban

rotaciones o dependían de ellas.

- En una ocasión se produjo *Gimbal Lock* tras la ejecución de una de mis funciones. Sobre este “fenómeno” hablaré en el capítulo tres pero, a grandes rasgos, puede definirse como un “estado” de bloqueo en el que se pierde un grado de libertad en un sistema tridimensional, ocasionando inestabilidades al aplicar rotaciones consecutivas que derivan en comportamientos extraños.
- Al programar para un entorno gráfico con el que el usuario interactúa, muchos detalles pasan desapercibidos en el momento de diseñar las funciones y esto ocasionó errores con frecuencia. Un ejemplo claro que ilustra esto es el hecho de que la primera vez que programé el comportamiento del cubo cuando se hacía click izquierdo sobre un vértice para que aparecieran los ejes sobre los que ejecutar movimiento del mismo, al probarlo en el modo usuario, detecté que si, en lugar de hacer click sobre un vértice, se hacía sobre el cubo o sobre el espacio en el que este se encontraba, aparecían los ejes en el último vértice sobre el que se había desplazado el ratón. D. Rodríguez y M. Domingo me comentaron, durante las primeras semanas, que debía programar pensando siempre en todo lo que haría un usuario utilizando *mal* el programa, consciente o inconscientemente.



## **Capítulo 3**

# **Matemáticas en los videojuegos.**

### **3.1. Introducción.**

Partiendo de los conocimientos en geometría que el grado me ha aportado, iniciaré este capítulo con un repaso de los conceptos conocidos sobre espacios vectoriales y afines euclídeos, donde las distancias pueden medirse por medio de la métrica, así como sobre los morfismos de estructura en estos espacios, es decir, las isometrías afines y lineales.

A continuación, haciendo uso de unas matrices especiales denominadas matrices ortogonales, las cuales verifican que su transpuesta es igual a su inversa, presento una clasificación de las isometrías lineales, incidiendo especialmente en las rotaciones que, como se ve más adelante, permitirán enlazar estos conceptos con el álgebra de los cuaterniones.

A este repaso por las isometrías en espacios afines euclídeos le sigue el estudio de los cuaterniones, partiendo del contexto en el que históricamente se *descubrieron* por primera vez, de la mano de Hamilton. Tras esta breve introducción, estudio el álgebra de los cuaterniones y cómo se utilizan para representar las rotaciones. Por último, expongo una breve reflexión sobre el porqué de utilizar estas cuaternas en la representación de rotaciones frente a otros métodos menos complejos como, por ejemplo, los ángulos de Euler.

Atendiendo a la relación entre lo trabajado durante mi estancia en prácticas y la geometría que presento en este capítulo, cabe señalar que, con ella, se cubren tanto las funciones que programé yo misma en Catness - la mayoría de ellas identificables con isometrías afines -, como el funcionamiento interno del motor gráfico que utilicé durante mis prácticas, en el que muchas de las funciones incluidas en el código fuente se apoyan en el uso de cuaterniones.

## 3.2. Isometrías en espacios afines euclídeos.

### 3.2.1. Primeras definiciones.

Empecemos repasando las definiciones de producto escalar, espacio vectorial euclídeo, norma y distancia euclídeas, isometría e isometría lineal, así como una propiedad interesante de estas últimas.

**Definición 3.2.1.1.** *Sea el espacio vectorial real  $V$ , entonces  $\langle , \rangle : V \times V \rightarrow \mathbb{R}$  es un producto escalar sobre  $V$  si:*

- i)  $\langle \vec{x}, \vec{y} \rangle = \langle \vec{y}, \vec{x} \rangle \quad \forall \vec{x}, \vec{y} \in V.$
- ii)  $\langle \vec{x} + \vec{y}, \vec{z} \rangle = \langle \vec{x}, \vec{z} \rangle + \langle \vec{y}, \vec{z} \rangle \quad \forall \vec{x}, \vec{y}, \vec{z} \in V.$
- iii)  $\langle \lambda \vec{x}, \vec{y} \rangle = \lambda \langle \vec{x}, \vec{y} \rangle \quad \forall \vec{x}, \vec{y} \in V, \quad \forall \lambda \in \mathbb{R}.$
- iv)  $\langle \vec{x}, \vec{x} \rangle \geq 0 \quad \forall \vec{x}, \vec{y} \in V.$

Se define, bajo estas condiciones,  $(V, \langle , \rangle)$  como espacio vectorial euclídeo.

**Definición 3.2.1.2.** *Se define la norma euclídea o longitud de un vector  $\vec{v} \in V$  con  $V$  espacio vectorial euclídeo como  $\|\vec{v}\| = \sqrt{\langle \vec{v}, \vec{v} \rangle} \in \mathbb{R}^+$ .*

**Definición 3.2.1.3.** *Se define la distancia euclídea entre dos vectores  $\vec{x}, \vec{y} \in V$  con  $V$  espacio vectorial euclídeo como  $d(\vec{x}, \vec{y}) = \|\vec{x} - \vec{y}\|$ .*

**Definición 3.2.1.4.** *Sean  $V_1, V_2$  dos espacios métricos, entonces se denomina isometría a toda aplicación entre ellos que conserva la distancia, es decir, toda aplicación  $\phi : V_1 \rightarrow V_2$  /  $d_1(\vec{x}, \vec{y}) = d_2(\phi(\vec{x}), \phi(\vec{y}))$  siendo  $d_1$  y  $d_2$  las respectivas distancias en los dos espacios.*

**Definición 3.2.1.5.** *Sea  $f : V \rightarrow W$  una aplicación lineal entre espacios vectoriales euclídeos. Diremos que  $f$  es una isometría lineal si y solo si  $\|f(\vec{u})\|_W = \|f(\vec{u})\|_V \quad \forall \vec{u} \in V$  si y solo si  $\langle f(\vec{u}), f(\vec{v}) \rangle = \langle \vec{u}, \vec{v} \rangle$ .*

Un primer hecho destacable de las isometrías es que todas ellas conservan la norma, tal como se demuestra en la Proposición que sigue.

**Proposición 3.2.1.1.** *Sea  $f : V \rightarrow W$  una isometría lineal, entonces  $\|f(\vec{u})\| = \|\vec{u}\| \quad \forall \vec{u} \in V$  si y solo si  $\langle f(\vec{u}), f(\vec{v}) \rangle = \langle \vec{u}, \vec{v} \rangle \quad \forall \vec{u}, \vec{v} \in V$ .*

Demostración.

Veamos primero que, si  $\|f(\vec{u})\| = \|\vec{u}\| \forall \vec{u} \in V$ , entonces  $\langle f(\vec{u}), f(\vec{v}) \rangle = \langle \vec{u}, \vec{v} \rangle \forall \vec{u}, \vec{v} \in V$ .

Si  $\vec{u} = \vec{v}$ ,  $\langle f(\vec{u}), f(\vec{u}) \rangle = \langle \vec{u}, \vec{u} \rangle$ , entonces  $\|f(\vec{u})\|^2 = \|\vec{u}\|^2$ , luego  $\|f(\vec{u})\| = \|\vec{u}\|$  ya que  $\|f(\vec{u})\| \geq 0$  y  $\|\vec{u}\| \geq 0$ .

Veamos ahora que  $\|f(\vec{u})\| = \|\vec{u}\| \forall \vec{u} \in V$  si  $\langle f(\vec{u}), f(\vec{v}) \rangle = \langle \vec{u}, \vec{v} \rangle \forall \vec{u}, \vec{v} \in V$ .

En primer lugar, dados  $\vec{u}, \vec{v} \in V$ , se tiene:

$$\begin{aligned} \frac{1}{4}\{\|\vec{u} + \vec{v}\|^2 - \|\vec{u} - \vec{v}\|^2\} &= \frac{1}{4}\{\langle \vec{u} + \vec{v}, \vec{u} + \vec{v} \rangle - \langle \vec{u} - \vec{v}, \vec{u} - \vec{v} \rangle\} = \\ &= \frac{1}{4}\{\langle \vec{u}, \vec{u} \rangle + 2\langle \vec{u}, \vec{v} \rangle + \langle \vec{v}, \vec{v} \rangle - (\langle \vec{u}, \vec{u} \rangle - 2\langle \vec{u}, \vec{v} \rangle + \langle \vec{u}, \vec{v} \rangle)\} = \\ &= \frac{1}{4}\{4\langle \vec{u}, \vec{v} \rangle\} = \langle \vec{u}, \vec{v} \rangle \end{aligned}$$

Como esto es cierto  $\forall \vec{u}, \vec{v} \in V$  y para todo espacio vectorial, teniendo en cuenta que  $f$  es lineal, entonces se tiene que:

$$\begin{aligned} \langle f(\vec{u}), f(\vec{v}) \rangle &= \frac{1}{4}\{\|f(\vec{u}) + f(\vec{v})\|^2 - \|f(\vec{u}) - f(\vec{v})\|^2\} = \\ &= \frac{1}{4}\{\|f(\vec{u} + \vec{v})\|^2 - \|f(\vec{u} - \vec{v})\|^2 = \frac{1}{4}\{\|\vec{u} + \vec{v}\|^2 - \|\vec{u} - \vec{v}\|^2\} = \langle \vec{u}, \vec{v} \rangle \end{aligned}$$

□

Los objetos geométricos como rectas y planos que no pasan por el origen de coordenadas se estudian mediante la geometría afín, cuyas nociones básicas pasamos a describir.

**Definición 3.2.1.6.** Se denomina espacio afín a la terna  $(\mathbb{A}, V, \phi)$  formada por un conjunto  $\mathbb{A}$ , un espacio vectorial  $V$  y una aplicación  $\phi : \mathbb{A} \times \mathbb{A} \rightarrow V$  que cumple:

i)  $\forall p \in \mathbb{A}, \forall \vec{u} \in V$ , existe un único  $q \in \mathbb{A}$  tal que  $\phi(p, q) = \vec{u}$ .

ii)  $\phi(p, q) + \phi(q, r) = \phi(p, r) \forall p, q, r \in \mathbb{A}$ .

En particular, cuando el espacio vectorial asociado es el espacio vectorial euclídeo, se tiene el espacio afín euclídeo.

**Definición 3.2.1.7.** Sean  $(\mathbb{A}, V, \phi)$ ,  $(\mathbb{A}', V', \phi')$  dos espacios afines, entonces una aplicación  $f : \mathbb{A} \rightarrow \mathbb{A}'$  es afín si existe una aplicación lineal  $\bar{f} : V \rightarrow V'$  tal que  $\bar{f}(\vec{pq}) = \overrightarrow{f(p)f(q)} \forall p, q \in \mathbb{A}$ , esto es,  $\forall p \in \mathbb{A}, \forall \vec{u} \in V$ , se tiene  $f(p + \vec{u}) = f(p) + \bar{f}(\vec{u})$ .

**Definición 3.2.1.8.** Sea  $\varphi : \mathcal{A} \rightarrow \mathcal{A}'$  una aplicación afín. Entonces  $\varphi$  es una isometría afín si y solo si  $d_{\mathcal{A}'}(\varphi(p), \varphi(q)) = d_{\mathcal{A}}(p, q) \forall p, q \in \mathcal{A}$ .

Ahora bien, ¿qué relación existe entre isometrías lineales e isometrías afines? Lo vemos en la siguiente Proposición.

**Proposición 3.2.1.2.**  $\varphi : \mathcal{A} \rightarrow \mathcal{A}'$  isometría afín si y solo si  $\bar{\varphi} : V \rightarrow V'$  es una isometría lineal.

Demostración.

Veamos primero que si  $\varphi : \mathcal{A} \rightarrow \mathcal{A}'$  isometría afín, entonces  $\bar{\varphi} : V \rightarrow V'$  es una isometría lineal.

Sea  $\vec{u} \in V$ , ¿puede afirmarse que  $\|\varphi(\vec{u})\| = \|\vec{u}\|$ ?

Dado  $p \in \mathcal{A}$ , sea  $q = p + \vec{u}$ , entonces  $d_{\mathcal{A}'}(\varphi(p), \varphi(q)) = d_{\mathcal{A}}(p, q)$ , por tanto se tiene que  $\|\overline{\varphi(p)\varphi(q)}\| = \|\overline{pq}\|$ , lo cual implica que  $\|\varphi(\vec{u})\| = \|\vec{u}\|$ .

Veamos ahora que  $\varphi : \mathcal{A} \rightarrow \mathcal{A}'$  isometría afín si  $\bar{\varphi} : V \rightarrow V'$  es una isometría lineal.

$$d_{\mathcal{A}'}(\varphi(p), \varphi(q)) = \|\overline{\varphi(p)\varphi(q)}\| = \|\overline{\varphi(\overline{pq})}\| = \|\overline{pq}\| = d_{\mathcal{A}}(p, q)$$

Por lo tanto,  $\varphi$  es una isometría afín.

□

A continuación presento dos proposiciones importantes que se necesitan para demostrar el Teorema 3.2.1.1. que las sigue, la primera sobre las isometrías lineales, en la que se demuestra que toda isometría lineal es una aplicación biyectiva cuya inversa es también una isometría lineal, y la segunda sobre isometrías afines, que explica el mismo resultado.

**Proposición 3.2.1.3.** Si  $f : V^n \rightarrow W^n$  es una isometría lineal, entonces  $f$  es biyectiva y, además,  $f^{-1} : W^n \rightarrow V^n$  es una isometría lineal.

Demostración.

Sea  $f : V^n \rightarrow W^n$ , entonces se tiene que  $\dim(Im(f)) = n - \dim(Ker(f))$ .

Si  $f$  es inyectiva y, por lo tanto,  $Ker(f) = \{\vec{0}\}$ , entonces  $\dim(Im(f)) = n$  y, como  $Im(f) \subseteq W^n$ , entonces  $Im(f) = W$  y, por lo tanto,  $f$  es sobreyectiva. Si es a la vez inyectiva y sobreyectiva,  $f$  será biyectiva. Comprobemos pues que  $f$  es inyectiva.

Si  $\vec{v} \in Ker(f)$ , entonces  $f(\vec{v}) = \vec{0}$ , por tanto  $\|f(\vec{v})\| = \|\vec{0}\| = 0$ , y también  $\|\vec{v}\| = 0$ , luego  $\vec{v} = 0$ , por lo que puede afirmarse que  $f$  es inyectiva y, por lo tanto, como también es sobreyectiva, es biyectiva.

Veamos ahora que  $f^{-1}$  es una isometría lineal. Para ello, estudiemos si dado  $\vec{w} \in W$ , puede afirmarse que  $\|f^{-1}(\vec{w})\| = \|\vec{w}\|$ .

Por una parte, como  $f$  es biyectiva, existe  $\vec{v} / f(\vec{v}) = \vec{w}, \vec{v} = f^{-1}(\vec{w})$ . Por otra, como  $f$  es una isometría,  $\|f(f^{-1}(\vec{w}))\| = \|f^{-1}(\vec{w})\|$ .

□

De nuevo, como hemos visto que las isometrías afines guardan relación con las lineales, es natural intentar demostrar si esta propiedad que acabamos de ver sobre las isometrías lineales se cumple también en las isometrías afines.

**Proposición 3.2.1.4.** *Sea la isometría afín  $\varphi : \mathcal{A} \rightarrow \mathcal{A}'$ , entonces  $\varphi$  es biyectiva y, además, la aplicación  $\varphi^{-1} : \mathcal{A}' \rightarrow \mathcal{A}$  es una isometría afín.*

Demostración.

Sea  $\varphi$  es una isometría afín. Entonces  $\bar{\varphi} : V \rightarrow V'$  es una isometría lineal y, por lo tanto  $\bar{\varphi}$  es biyectiva, luego necesariamente  $\varphi$  es biyectiva también.

Sea  $\varphi$  una isometría afín. Entonces  $\bar{\varphi} : V \rightarrow V'$  es una isometría lineal y, por lo tanto,  $\bar{\varphi}^{-1} : V' \rightarrow V$  es también una isometría lineal.

Además, se tiene que, dados  $p', q' \in \mathcal{A}'$ , como existe un único  $p \in \mathcal{A}$  tal que  $\varphi(p) = p'$  y un único  $q \in \mathcal{A}$  tal que  $\varphi(q) = q'$ , entonces:

$$\bar{\varphi}^{-1}(\overline{p'q'}) = \bar{\varphi}^{-1}(\overline{\varphi(p)\varphi(q)}) = \bar{\varphi}^{-1}(\bar{\varphi}(\overline{pq})) = \overline{pq} = \overline{\varphi^{-1}(p')\varphi^{-1}(q')}$$

Luego  $\bar{\varphi}^{-1} = \overline{\varphi^{-1}}$  y como, además,  $\bar{\varphi}^{-1}$  es una isometría lineal, entonces  $\varphi^{-1}$  es una isometría afín.

□

**Teorema 3.2.1.1.** *Dado un espacio afín euclídeo  $(\mathcal{A}, V, \delta)$ , son grupos con la composición los conjuntos definidos como:*

$$O(V) = \{f : V \rightarrow V / f \text{ es una isometría lineal}\}$$

$$Isom(\mathcal{A}) = \{\varphi : \mathcal{A} \rightarrow \mathcal{A} / \varphi \text{ es una isometría afín}\}$$

Demostración.

Mediante las dos proposiciones anteriores 3.2.1.3. y 3.2.1.4. se ha demostrado que, dada  $f \in O(V)$  y dada  $\varphi \in Isom(\mathcal{A})$ , ambas poseen elemento inverso en cada uno de los dos casos.

Por otro lado, se tiene que la composición es asociativa en los dos casos y, además, el elemento neutro para  $O(V)$  es  $id_V$  y para  $Isom(\mathcal{A})$  es  $id_{\mathcal{A}}$ .

Por todo ello, puede afirmarse que ambos conjuntos son grupos con la composición.

□

### 3.2.2. Isometrías lineales y grupo ortogonal.

En esta sección se presentan algunos resultados interesantes de las isometrías lineales actuando sobre el espacio vectorial euclídeo  $(V, \langle , \rangle)$ . Empecemos recordando el concepto de matriz ortogonal y de grupo ortogonal.

**Definición 3.2.2.1.** *Sea una matriz cuadrada  $A \in M_{n \times n}(\mathbb{R})$ . Diremos que  $A$  es una matriz ortogonal si  $A^t \cdot A = A \cdot A^t = Id_n$  si y solo si  $A^{-1} = A^t$ . Además, se define el grupo ortogonal de la forma  $O(n) = \{A \in M_{n \times n}(\mathbb{R}) / A \text{ es ortogonal}\}$ .*

**Proposición 3.2.2.1.** *El determinante de una matriz ortogonal es siempre  $\pm 1$ .*

Demostración.

Sea la matriz  $A \in O(n)$  no singular, i.e.  $\det(A) \neq 0$ , entonces necesariamente  $A^t A = Id$  y, por tanto,  $\det(A^t A) = \det(Id) = 1$ .

Por propiedades de los determinantes,  $\det(A^t A) = \det(A^t)\det(A)$ , luego  $\det(A^t)\det(A) = 1$ , lo cual implica que  $(\det(A))^2 = 1$  y, consecuentemente,  $\det(A) = \pm 1$ .

□

**Proposición 3.2.2.2.** *Sea  $O(n)$  el conjunto de todas las matrices ortogonales de dimensión  $n \times n$ . Entonces se verifica que  $O(n)$  tiene estructura de grupo con la multiplicación de matrices.*

Demostración.

Comprobemos que es un grupo.

Sean  $A, B \in O(n)$ , entonces  $AB \in O(n)$ , ya que  $(AB)^t = B^t A^t = B^{-1} A^{-1} = (AB)^{-1}$ .

Además, existe elemento neutro (la identidad), y también inverso, pues por definición de matrices ortogonales se tiene que  $A^t = A^{-1}$  y, con ello, si  $A \in O(n)$ , entonces  $A^{-1} \in O(n)$  porque  $(A^{-1})^t = (A^t)^{-1} = (A^{-1})^{-1} = A$ .

□

**Definición 3.2.2.2.** *Se define el subgrupo  $SO(n) \subseteq O(n)$  de la forma:*

$$SO(n) = \{A \in O(n) / \det(A) = 1\}$$

*Se le denomina grupo ortogonal especial, o de las transformaciones ortogonales que preservan la orientación.*

Estudiemos un poco más a fondo cómo son los grupos ortogonales especiales  $SO(2)$  y  $SO(3)$ .

**Nota 3.2.2.1.** *Sea el grupo  $SO(2) = \{A \in O(2) / \det(A) = 1\}$ , veamos cómo son estas matrices.*

*Por un lado,  $\forall A \in O(2)$ , se tiene que  $A^{-1} = A^t$ , luego  $A^t A = Id_2$ , es decir, siendo*

$$A = \begin{pmatrix} a & b \\ c & d \end{pmatrix}$$

Se cumple que:

$$\begin{pmatrix} a & b \\ c & d \end{pmatrix} \cdot \begin{pmatrix} a & c \\ b & d \end{pmatrix} = \begin{pmatrix} 1 & 0 \\ 0 & 1 \end{pmatrix} \quad (3.1)$$

De aquí se obtiene el sistema de ecuaciones:

$$\begin{cases} a^2 + b^2 = 1 \\ ac + bd = 0 \\ ac + bd = 0 \\ c^2 + d^2 = 1 \end{cases} \quad (3.2)$$

Por un lado, como  $a^2 + b^2 = 1$ , entonces existe un ángulo  $\theta \in [0, 2\pi)$  tal que:

$$\begin{cases} a = \cos(\theta) \\ b = \sin(\theta) \end{cases} \quad (3.3)$$

Por otro lado, como  $ac + db = 0$ , necesariamente  $ac = -bd$ , luego  $c = -\frac{bd}{a} = -\lambda b$ ,  $d = \lambda a$  con  $\lambda = \frac{d}{a}$ . Teniendo en cuenta esto y (3.3), se tiene que si  $A \in O(2)$ , entonces  $a = \cos(\theta)$ ,  $b = \sin(\theta)$ ,  $\lambda = \pm 1$ .

Entonces, cuando  $\lambda = 1$ , la matriz  $A$  representa un giro de ángulo  $\theta$  en sentido horario y centro  $(0, 0) \in \mathbb{R}^2$  y es de la forma:

$$A = \begin{pmatrix} \cos(\theta) & \sin(\theta) \\ -\sin(\theta) & \cos(\theta) \end{pmatrix} \quad (3.4)$$

Y, cuando  $\lambda = -1$ , la matriz  $A$  representa una simetría ortogonal respecto de la recta que pasa por  $(0, 0) \in \mathbb{R}^2$ , tiene de pendiente  $\operatorname{tg}(\frac{\theta}{2})$  y es de la forma:

$$A = \begin{pmatrix} \cos(\theta) & \sin(\theta) \\ \sin(\theta) & -\cos(\theta) \end{pmatrix} \quad (3.5)$$

**Nota 3.2.2.2.** Sea el grupo  $SO(3) = \{A \in O(3) / \det(A) = 1\}$ , con un desarrollo análogo al de la Nota 3.2.2.1 anterior, pero en este caso con matrices de dimensión  $3 \times 3$ , se tiene que las matrices que representan rotaciones de un ángulo  $\theta$  respecto a los tres ejes de coordenadas son de la forma:

$$R_x = \begin{pmatrix} 1 & 0 & 0 \\ 0 & \cos(\theta) & -\sin(\theta) \\ 0 & \sin(\theta) & \cos(\theta) \end{pmatrix}, R_y = \begin{pmatrix} \cos(\theta) & 0 & \sin(\theta) \\ 0 & 1 & 0 \\ -\sin(\theta) & 0 & \cos(\theta) \end{pmatrix},$$

$$R_z = \begin{pmatrix} \cos(\theta) & -\sin(\theta) & 0 \\ \sin(\theta) & \cos(\theta) & 0 \\ 0 & 0 & 1 \end{pmatrix}$$

Otra forma de llegar a estas tres matrices es aplicar lo que se verá en la afirmación iii) del Teorema 3.2.3.2., la clave de lo cual yace en identificar cada una de estas tres rotaciones tridimensionales como una rotación bidimensional alrededor de un eje que corresponde a la tercera dimensión. Esto es,  $R_x$  se interpreta como una rotación en el plano  $yz$  alrededor del eje  $X$ ,  $R_y$  como una rotación en el plano  $xz$  alrededor del eje  $Y$ ,  $R_z$  se interpreta como una rotación en el plano  $xy$  alrededor del eje  $Z$ .

Mediante la siguiente proposición veremos que la descripción de las rotaciones en el espacio tridimensional alrededor de un eje  $\vec{w}$  cualquiera, de ángulo  $\theta$ , puede hacerse mediante una única matriz de rotación  $R(\theta, \vec{w})$ .

**Proposición 3.2.2.3.** Las rotaciones en  $\mathbb{R}^3$  de ángulo  $\theta$  alrededor de un eje  $\vec{w} = (w_1, w_2, w_3)$  se generalizan mediante rotación  $R(\theta, \vec{w})$ , cuya representación matricial es:

$$R(\theta, \hat{w}) = \begin{pmatrix} c + w_1^2(1 - c) & w_1 w_2(1 - c) - sw_3 & w_1 w_3(1 - c) + sw_2 \\ w_1 w_2(1 - c) + sw_3 & c + w_2^2(1 - c) & w_2 w_3(1 - c) - sw_1 \\ w_1 w_3(1 - c) - sw_2 & w_2 w_3(1 - c) + sw_1 & c + w_3^2(1 - c) \end{pmatrix} \quad (3.6)$$

Demostración. Sea el vector unitario que representa el eje de rotación de la forma:

$$\vec{w} = (\cos(\alpha)\sin(\beta), \sin(\alpha)\sin(\beta), \cos(\beta)) = (w_1, w_2, w_3)$$

Con  $\alpha \in [0, 2\pi)$ ,  $\beta \in [0, \pi]$ .

Sea el vector columna  $\hat{z} = (0, 0, 1)^t$ . Entonces es sencillo observar que  $\hat{w} = R_z(\alpha)R_y(\beta)\hat{z}$ , pues:

$$R_z(\alpha)R_y(\beta)\hat{z} = \begin{pmatrix} \cos(\alpha) & -\sin(\alpha) & 0 \\ \sin(\alpha) & \cos(\alpha) & 0 \\ 0 & 0 & 1 \end{pmatrix} \cdot \begin{pmatrix} \cos(\beta) & 0 & \sin(\beta) \\ 0 & 1 & 0 \\ -\sin(\beta) & 0 & \cos(\beta) \end{pmatrix} \cdot \begin{pmatrix} 0 \\ 0 \\ 1 \end{pmatrix} =$$

$$\begin{aligned}
&= \begin{pmatrix} \cos(\alpha)\cos(\beta) & -\sin(\alpha) & \cos(\alpha)\sin(\beta) \\ \sin(\alpha)\cos(\beta) & \cos(\alpha) & \sin(\alpha)\sin(\beta) \\ -\sin(\beta) & 0 & \cos(\beta) \end{pmatrix} \cdot \begin{pmatrix} 0 \\ 0 \\ 1 \end{pmatrix} = \\
&= (\cos(\alpha)\sin(\beta), \sin(\alpha)\sin(\beta), \cos(\beta)) = (w_1, w_2, w_3) = \hat{w}
\end{aligned}$$

De aquí se obtiene que  $\hat{z} = R_y^t(\beta)R_z^t(\alpha)\hat{w}$ .

Ahora, para construir la matriz de rotación que gira alrededor de  $\hat{w}$  necesitaremos girar alrededor de  $\hat{z}$  en un ángulo  $\theta$  por medio de la matriz  $R_z(\theta)$  y ladear  $\hat{z}$  en la dirección de  $\hat{w}$  (en la que empezó). Veamos esto con detalle.

Primero, girando alrededor de  $\hat{z}$  en un ángulo  $\theta$  por medio de la matriz  $R_z(\theta)$  se obtiene:

$$R_z(\theta)R_y^t(\beta)R_z^t(\alpha)\hat{w} = R_z(\theta)\hat{z}$$

A continuación, devolviendo  $\hat{z}$  a la dirección de partida de  $\hat{w}$  se obtiene:

$$R(\theta, \hat{w}) = R_z(\alpha)R_y(\beta)R_z(\theta)R_y^t(\beta)R_z^t(\alpha)$$

Expandiendo este producto tenemos:

$$\begin{aligned}
R_z(\alpha)R_y(\beta)R_z(\theta) &= \begin{pmatrix} \cos(\alpha)\cos(\beta) & -\sin(\alpha) & \cos(\alpha)\sin(\beta) \\ \sin(\alpha)\cos(\beta) & \cos(\alpha) & \sin(\alpha)\sin(\beta) \\ -\sin(\beta) & 0 & \cos(\beta) \end{pmatrix} \cdot \begin{pmatrix} \cos(\theta) & -\sin(\theta) & 0 \\ \sin(\theta) & \cos(\theta) & 0 \\ 0 & 0 & 1 \end{pmatrix} = \\
&= \begin{pmatrix} \cos(\alpha)\cos(\beta)\cos(\theta) - \sin(\alpha)\sin(\theta) & -\cos(\alpha)\cos(\beta)\sin(\theta) - \sin(\alpha)\cos(\theta) & \cos(\alpha)\sin(\beta) \\ \sin(\alpha)\cos(\beta)\cos(\theta) + \cos(\alpha)\sin(\theta) & -\sin(\alpha)\cos(\beta)\sin(\theta) + \cos(\alpha)\cos(\theta) & \sin(\alpha)\sin(\beta) \\ -\sin(\beta)\cos(\theta) & \sin(\beta)\sin(\theta) & \cos(\beta) \end{pmatrix} \\
R_z(\alpha)R_y(\beta)R_z(\theta)R_y^t(\beta) &= \\
&= \begin{pmatrix} \cos(\alpha)\cos(\beta)\cos(\theta) - \sin(\alpha)\sin(\theta) & -\cos(\alpha)\cos(\beta)\sin(\theta) - \sin(\alpha)\cos(\theta) & \cos(\alpha)\sin(\beta) \\ \sin(\alpha)\cos(\beta)\cos(\theta) + \cos(\alpha)\sin(\theta) & -\sin(\alpha)\cos(\beta)\sin(\theta) + \cos(\alpha)\cos(\theta) & \sin(\alpha)\sin(\beta) \\ -\sin(\beta)\cos(\theta) & \sin(\beta)\sin(\theta) & \cos(\beta) \end{pmatrix} \cdot \\
&\quad \cdot \begin{pmatrix} \cos(\beta) & 0 & -\sin(\beta) \\ 0 & 1 & 0 \\ \sin(\beta) & 0 & \cos(\beta) \end{pmatrix} =
\end{aligned}$$

$$= \begin{pmatrix} \cos(\alpha)\cos^2(\beta)\cos(\theta) - & -\cos(\alpha)\cos(\beta)\sin(\theta) - & -\cos(\alpha)\cos(\beta)\cos(\theta)\sin(\beta) + \\ -\sin(\alpha)\sin(\theta)\cos(\beta) + & -\sin(\alpha)\cos(\theta) & +\sin(\alpha)\sin(\theta)\sin(\beta) + \\ +\cos(\alpha)\sin^2(\beta) & & +\cos(\alpha)\sin(\beta)\cos(\beta) \\ \\ \sin(\alpha)\cos^2(\beta)\cos(\theta) + & -\sin(\alpha)\cos(\beta)\sin(\theta) + & -\sin(\alpha)\cos(\beta)\cos(\theta)\sin(\beta) - \\ +\cos(\alpha)\sin(\theta)\cos(\beta) + & +\cos(\alpha)\cos(\theta) & -\cos(\alpha)\sin(\theta)\sin(\beta) + \\ +\sin(\alpha)\sin^2(\beta) & & +\sin(\alpha)\sin(\beta)\cos(\beta) \\ \\ -\sin(\beta)\cos(\theta)\cos(\beta) + & \sin(\beta)\sin(\theta) & \sin^2(\beta)\cos(\theta) + \cos^2(\beta) \\ +\cos(\beta)\sin(\beta) & & \end{pmatrix}$$

$$R(\theta, \hat{w}) = R_z(\alpha)R_y(\beta)R_z(\theta)R_y^t(\beta)R_z^t(\alpha) =$$

$$= \begin{pmatrix} \cos(\alpha)\cos^2(\beta)\cos(\theta) - & -\cos(\alpha)\cos(\beta)\sin(\theta) - & -\cos(\alpha)\cos(\beta)\cos(\theta)\sin(\beta) + \\ -\sin(\alpha)\sin(\theta)\cos(\beta) + & -\sin(\alpha)\cos(\theta) & +\sin(\alpha)\sin(\theta)\sin(\beta) + \\ +\cos(\alpha)\sin^2(\beta) & & +\cos(\alpha)\sin(\beta)\cos(\beta) \\ \\ \sin(\alpha)\cos^2(\beta)\cos(\theta) + & -\sin(\alpha)\cos(\beta)\sin(\theta) + & -\sin(\alpha)\cos(\beta)\cos(\theta)\sin(\beta) - \\ +\cos(\alpha)\sin(\theta)\cos(\beta) + & +\cos(\alpha)\cos(\theta) & -\cos(\alpha)\sin(\theta)\sin(\beta) + \\ +\sin(\alpha)\sin^2(\beta) & & +\sin(\alpha)\sin(\beta)\cos(\beta) \\ \\ -\sin(\beta)\cos(\theta)\cos(\beta) + & \sin(\beta)\sin(\theta) & \sin^2(\beta)\cos(\theta) + \cos^2(\beta) \\ +\cos(\beta)\sin(\beta) & & \end{pmatrix} \cdot \begin{pmatrix} \cos(\alpha) & \sin(\alpha) & 0 \\ -\sin(\alpha) & \cos(\alpha) & 0 \\ 0 & 0 & 1 \end{pmatrix} =$$

$$= \begin{pmatrix} \cos^2(\alpha)\cos^2(\beta)\cos(\theta) - & -\cos(\alpha)\cos^2(\beta)\cos(\theta)\sin(\alpha) - & -\cos(\alpha)\cos(\beta)\cos(\theta)\sin(\beta) + \\ -\sin(\alpha)\sin(\theta)\cos(\beta)\cos(\alpha) + & -\sin^2(\alpha)\sin(\theta)\cos(\beta) + & +\sin(\alpha)\sin(\theta)\sin(\beta) + \\ +\cos^2(\alpha)\sin^2(\beta) + & +\cos(\alpha)\sin^2(\beta)\sin(\alpha) - & +\cos(\alpha)\sin(\beta)\cos(\beta) \\ \\ +\cos(\alpha)\cos(\beta)\sin(\theta)\sin(\alpha) + & -\cos^2(\alpha)\cos(\beta)\sin(\theta) - & \\ +\sin^2(\alpha)\cos(\theta)\cos(\alpha) & -\sin(\alpha)\cos(\beta)\sin(\theta)\cos(\alpha) & \\ & +\cos^2(\alpha)\cos(\theta) & \\ \\ \sin(\alpha)\cos^2(\beta)\cos(\theta)\cos(\alpha) + & \sin^2(\alpha)\cos^2(\beta)\cos(\theta) + & -\sin(\alpha)\cos(\beta)\cos(\theta)\sin(\beta) - \\ +\cos^2(\alpha)\sin(\theta)\cos(\beta) + & +\cos(\alpha)\sin(\theta)\cos(\beta)\sin(\alpha) + & -\cos(\alpha)\sin(\theta)\sin(\beta) + \\ +\sin(\alpha)\sin^2(\beta)\cos(\alpha) + & +\sin^2(\alpha)\sin^2(\beta) + & +\sin(\alpha)\sin(\beta)\cos(\beta) \\ \\ +\sin^2(\alpha)\cos(\beta)\sin(\theta) - & -\sin(\alpha)\cos(\beta)\sin(\theta)\cos(\alpha) + & \\ -\cos(\alpha)\cos(\theta)\sin(\alpha) & +\cos^2(\alpha)\cos(\theta) & \\ \\ -\sin(\beta)\cos(\theta)\cos(\beta)\cos(\alpha) + & -\sin(\beta)\cos(\theta)\cos(\beta)\sin(\alpha) + & \sin^2(\beta)\cos(\theta) + \cos^2(\beta) \\ +\cos(\beta)\sin(\beta)\cos(\alpha) - & +\cos(\beta)\sin(\beta)\sin(\alpha) + & \\ -\sin(\beta)\sin(\theta)\sin(\alpha) & +\sin(\beta)\sin(\theta)\cos(\alpha) & \end{pmatrix}$$

Si ahora sustituimos en la matriz  $R(\theta, \hat{w})$  obtenida los valores  $c = \cos(\theta)$ ,  $s = \sin(\theta)$ ,  $w_1 = \cos(\alpha)\sin(\beta)$ ,  $w_2 = \sin(\alpha)\sin(\beta)$ ,  $w_3 = \cos(\beta)$ , tenemos:

$$\begin{aligned}
R(\theta, \hat{w}) &= R_z(\alpha)R_y(\beta)R_z(\theta)R_y^t(\beta)R_z^t(\alpha) = \\
&= \begin{pmatrix} \cos^2(\alpha)w_3^2c - \sin(\alpha)s w_3 \cos(\alpha) + & \cos(\alpha)w_3^2c \sin(\alpha) - \sin^2(\alpha)s w_3 + & -w_1w_3c + w_2s + \\ +w_1^2 + \cos(\alpha)w_3s \sin(\alpha) + & +w_1w_2 - \cos^2(\alpha)w_3s - & +w_1w_3 \\ +\sin^2(\alpha)c & -\sin(\alpha)c \cos(\alpha) & \\ \\ \sin^2(\alpha)w_3^2c \cos(\alpha) + \cos^2(\alpha)s w_3 + & \sin^2(\alpha)w_3^2c + \cos(\alpha)s w_3 \sin(\alpha) + & -w_2w_3c - w_1s + \\ +w_1w_2 + \sin^2(\alpha)s w_3 - & +w_2^2 - \sin(\alpha)w_3s \cos(\alpha) + & +w_2w_3 \\ -\cos(\alpha)c \sin(\alpha) & +\cos^2(\alpha)c & \\ \\ -cw_1w_3 + w_1w_3 - sw_2 & -w_2w_3c + w_2w_3 + sw_1 & \sin^2(\beta)c + w_3^2 \end{pmatrix} = \\
&= \begin{pmatrix} \cos^2(\alpha)w_3^2c + w_1^2 + \sin^2(\alpha)c & \cos(\alpha)w_3^2c \sin(\alpha) - sw_3 + & w_1w_3(1 - c) + sw_2 \\ & +w_1w_2 - \sin(\alpha)c \cos(\alpha) & \\ \\ \sin(\alpha)w_3^2c \cos(\alpha) + w_1w_2 + & \sin^2(\alpha)w_3^2c + w_2^2 + \cos^2(\alpha)c & w_2w_3(1 - c) - sw_1 \\ +w_3s - \cos(\alpha)c \sin(\alpha) & & \\ \\ w_1w_3(1 - c) - sw_2 & w_2w_3(1 - c) + sw_1 & \sin^2(\beta)c + w_3^2 \end{pmatrix}
\end{aligned}$$

Reescribamos ahora cada uno de los términos de esta matriz en función de  $c, s, w_1, w_2, w_3$ :

$$\begin{aligned}
&\cos^2(\alpha)w_3^2c + w_1^2 + \sin^2(\alpha)c = w_1^2 + c(w_3^2 \cos^2(\alpha) + \sin^2(\alpha)) = \\
&= w_1^2 + c(\cos^2(\beta) \cos^2(\alpha) + 1 - \cos^2(\alpha)) = w_1^2 + c(\cos^2(\alpha)(1 - \sin^2(\beta) - 1) + 1) = \\
&= w_1^2 + c(1 - \cos^2(\alpha)\sin^2(\beta)) = w_1^2 + c - cw_1^2 = c + w_1^2(1 - c)
\end{aligned}$$

$$\begin{aligned}
&\cos(\alpha)w_3^2c \sin(\alpha) - sw_3 + w_1w_2 - \sin(\alpha)c \cos(\alpha) = w_1w_2 + \sin(\alpha)\cos(\alpha)(w_3^2 - 1)c - sw_3 = \\
&= w_1w_2 + \sin(\alpha)\cos(\alpha)(1 - \sin^2(\beta) - 1)c - sw_3 = w_1w_2 - \sin(\alpha)\cos(\alpha)\sin^2(\beta)c - sw_3 = \\
&= w_1w_2 - w_1w_2c - sw_3 = w_1w_2(1 - c) - sw_3
\end{aligned}$$

$$\begin{aligned}
&\sin(\alpha)w_3^2c \cos(\alpha) + w_1w_2 + w_3s - \cos(\alpha)c \sin(\alpha) = \sin(\alpha)\cos(\alpha)(w_3^2 - 1)c + w_1w_2 + w_3s = \\
&= -\sin(\alpha)\cos(\alpha)\sin^2(\beta)c + w_1w_2 + sw_3 = w_1w_2(1 - c) + sw_3
\end{aligned}$$

$$\begin{aligned}
&\sin^2(\alpha)w_3^2c + w_2^2 + \cos^2(\alpha)c = w_2^2 + c(\sin^2(\alpha)w_3^2 + \cos^2(\alpha)) = \\
&= w_2^2 + c(\sin^2(\alpha)(1 - \sin^2(\beta)) + 1 - \sin^2(\alpha)) = w_2^2 + c(-w_2^2 + 1) = c + w_2^2(1 - c)
\end{aligned}$$

$$\sin^2(\beta)c + w_3^2 = (1 - \cos^2(\beta))c + w_3^2 = c + w_3^2(1 - c)$$

Sustituyendo esto en la matriz  $R(\theta, \hat{w})$  se obtiene:

$$R(\theta, \hat{w}) = \begin{pmatrix} c + w_1^2(1 - c) & w_1 w_2(1 - c) - sw_3 & w_1 w_3(1 - c) + sw_2 \\ w_1 w_2(1 - c) + sw_3 & c + w_2^2(1 - c) & w_2 w_3(1 - c) - sw_1 \\ w_1 w_3(1 - c) - sw_2 & w_2 w_3(1 - c) + sw_1 & c + w_3^2(1 - c) \end{pmatrix}$$

Ahora es sencillo comprobar que el vector  $\hat{w}$  es vector propio de la matriz  $R(\theta, \hat{w})$ :

$$\begin{aligned} R(\theta, \hat{w}) \cdot \hat{w} &= \begin{pmatrix} c + w_1^2(1 - c) & w_1 w_2(1 - c) - sw_3 & w_1 w_3(1 - c) + sw_2 \\ w_1 w_2(1 - c) + sw_3 & c + w_2^2(1 - c) & w_2 w_3(1 - c) - sw_1 \\ w_1 w_3(1 - c) - sw_2 & w_2 w_3(1 - c) + sw_1 & c + w_3^2(1 - c) \end{pmatrix} \cdot \begin{pmatrix} w_1 \\ w_2 \\ w_3 \end{pmatrix} = \\ &= \begin{pmatrix} (c + w_1^2(1 - c))w_1 + (w_1 w_2(1 - c) - sw_3)w_2 + (w_1 w_3(1 - c) + sw_2)w_3 \\ (w_1 w_2(1 - c) + sw_3)w_1 + (c + w_2^2(1 - c))w_2 + (w_2 w_3(1 - c) - sw_1)w_3 \\ (w_1 w_3(1 - c) - sw_2)w_1 + (w_2 w_3(1 - c) + sw_1)w_2 + (c + w_3^2(1 - c))w_3 \end{pmatrix} = \\ &= \begin{pmatrix} cw_1 + w_1^3(1 - c) + w_1 w_2^2(1 - c) - sw_3 w_2 + w_1 w_3^2(1 - c) + sw_2 w_3 \\ w_1^2 w_2(1 - c) + sw_3 w_1 + cw_2 + w_2^3(1 - c) + w_2 w_3^2(1 - c) - sw_1 w_3 \\ w_1^2 w_3(1 - c) - sw_2 w_1 + w_2^2 w_3(1 - c) + sw_1 w_2 + cw_3 + w_3^3(1 - c) \end{pmatrix} = \\ &= \begin{pmatrix} w_1(w_1^2 + w_2^2 + w_3^2 + c(1 - w_1^2 - w_2^2 - w_3^2)) \\ w_2(w_1^2 + w_2^2 + w_3^2 + c(1 - w_1^2 - w_2^2 - w_3^2)) \\ w_3(w_1^2 + w_2^2 + w_3^2 + c(1 - w_1^2 - w_2^2 - w_3^2)) \end{pmatrix} \end{aligned}$$

Teniendo en cuenta que:

$$w_1^2 + w_2^2 + w_3^2 = \cos^2(\alpha)\sin^2(\beta) + \sin^2(\alpha)\sin^2(\beta) + \cos^2(\beta) = \sin^2(\beta) + \cos^2(\beta) = 1$$

Se tiene que:

$$R(\theta, \hat{w}) \cdot \hat{w} = \begin{pmatrix} w_1(1 + c(1 - 1)) \\ w_2(1 + c(1 - 1)) \\ w_3(1 + c(1 - 1)) \end{pmatrix} = \begin{pmatrix} w_1 \\ w_2 \\ w_3 \end{pmatrix} = \hat{w}$$

□

Pero, ¿cuál es la relación entre las matrices ortogonales y las isometrías lineales? Justo esto es lo que explican los siguientes resultados.

**Definición 3.2.2.3.** Sea la base  $\{\vec{e}_i\}_{i=1}^n$  del espacio vectorial  $V$ , dicha base es una base ortogonal de  $V$  si los vectores que la forman son ortogonales entre sí. En particular si, además, son vectores unitarios, se tiene una base ortonormal de  $V$ .

**Teorema 3.2.2.1.** Sea  $f : V^n \rightarrow V^n$  una aplicación lineal. Entonces  $f$  es una isometría lineal si y solo si, si  $\{\vec{e}_i\}_{i=1}^n$  es una base ortonormal de  $V$ ,  $\{f(\vec{e}_i)\}_{i=1}^n$  es una base ortonormal de  $V$ .

Demostración.

Veamos primero que si  $f$  es una isometría lineal, entonces dada  $\{\vec{e}_i\}_{i=1}^n$  una base ortonormal de  $V$ ,  $\{f(\vec{e}_i)\}_{i=1}^n$  es una base ortonormal de  $V$ .

Sea  $f$  una aplicación lineal, entonces  $f : V \rightarrow V$  es un isomorfismo por ser  $f$  lineal y biyectiva. Por lo tanto, si  $\{\vec{e}_i\}_{i=1}^n$  es una base de  $V$ , entonces  $\{f(\vec{e}_i)\}_{i=1}^n$  es una base de  $V$ . Además,  $\langle f(\vec{e}_i), f(\vec{e}_j) \rangle = \langle \vec{e}_i, \vec{e}_j \rangle = \delta_{ij} \forall i, j \in 1, \dots, n$ . Luego  $\{f(\vec{e}_i)\}_{i=1}^n$  es una base ortonormal.

Veamos ahora la afirmación recíproca.

Sea  $\{\vec{e}_i\}_{i=1}^n$  una base ortonormal de  $V$ , sabemos que  $\{f(\vec{e}_i)\}_{i=1}^n$  es una base ortonormal. Sean también  $\vec{u}, \vec{v} \in V$ ,  $\vec{u} = \sum_{i=1}^n u_i \vec{e}_i$ ,  $\vec{v} = \sum_{i=1}^n v_i \vec{e}_i$ . Entonces:

$$\langle f(\vec{u}), f(\vec{v}) \rangle = \langle f\left(\sum_{i=1}^n u_i \vec{e}_i\right), f\left(\sum_{i=1}^n v_i \vec{e}_i\right) \rangle = \sum_{i,j=1}^n u_i v_j \langle f(\vec{e}_i), f(\vec{e}_j) \rangle = \sum_{i=1}^n u_i v_i \delta_{ij} = \langle \vec{u}, \vec{v} \rangle$$

Luego  $f$  es una isometría lineal.

□

Estudiaremos ahora dos propiedades interesantes sobre las isometrías lineales actuando en el espacio vectorial euclídeo, pero, antes, es necesario recordar la definición del *ángulo entre dos vectores*.

**Definición 3.2.2.4.** Sea el espacio afín  $(\mathcal{A}, V, \delta)$  sobre  $\mathbb{R}$  y sea la métrica  $g : V \times V \rightarrow \mathbb{R}$ . Sean  $\vec{v}, \vec{w} \in V$ , entonces:

$$|g(\vec{v}, \vec{w})| \leq \|\vec{v}\| \cdot \|\vec{w}\|$$

Así, se tiene que:

$$-1 \leq \frac{g(\vec{v}, \vec{w})}{\|\vec{v}\| \cdot \|\vec{w}\|} \leq 1$$

Por otra parte, la aplicación  $f : [0, \pi[ \rightarrow [-1, 1]$  tal que  $f(x) = \cos(x)$  con  $x \in [0, \pi[$  es biyectiva.

Entonces, dados  $\vec{v}, \vec{w} \in V$ , existe un único  $\alpha \in [0, \pi]$  tal que:

$$\cos(\alpha) = \frac{g(\vec{v}, \vec{w})}{\|\vec{v}\| \cdot \|\vec{w}\|}$$

A  $\alpha$  se le llama ángulo entre  $\vec{v}$  y  $\vec{w}$ . Nótese que este ángulo  $\alpha$  depende de  $g$ .

**Proposición 3.2.2.4.** Si  $f : V \rightarrow V$  es una isometría lineal, entonces:

i) Conserva normas, distancias y ángulos.

ii) Si  $f(\vec{v}) = \lambda \vec{v}$ , entonces  $\lambda = \pm 1$ .

Demostración.

Demostremos i) en primer lugar.

Veamos en primer lugar que se conservan las normas:

$$\|f(\vec{u})\| = \sqrt{\langle f(\vec{u}), f(\vec{u}) \rangle} = +\sqrt{\langle \vec{u}, \vec{u} \rangle} = \|\vec{u}\|$$

Veamos ahora que se conservan las distancias:

$$\begin{aligned} d_g(\vec{u}, \vec{v}) &= \|\vec{v} - \vec{u}\| = +\sqrt{\langle \vec{v} - \vec{u}, \vec{v} - \vec{u} \rangle} = \sqrt{\langle f(\vec{v} - \vec{u}), f(\vec{v} - \vec{u}) \rangle} = \\ &= \sqrt{\langle f(\vec{u}) - f(\vec{v}), f(\vec{u}) - f(\vec{v}) \rangle} = \|f(\vec{u}) - f(\vec{v})\| = d_g(f(\vec{u}), f(\vec{v})) \end{aligned}$$

Por último, veamos la conservación de ángulos, teniendo en cuenta que se está considerando  $V$  espacio afín con  $V$  como espacio vectorial asociado.

$$\angle(\vec{u}, \vec{v}) = \alpha \text{ tal que } \cos(\alpha) = \frac{\langle \vec{u}, \vec{v} \rangle}{\|\vec{u}\| \cdot \|\vec{v}\|}$$

$$\angle(f(\vec{u}), f(\vec{v})) = \beta \text{ tal que } \cos(\beta) = \frac{\langle f(\vec{u}), f(\vec{v}) \rangle}{\|f(\vec{u})\| \cdot \|f(\vec{v})\|}$$

Por lo tanto,  $\cos(\alpha) = \cos(\beta)$ , con  $\alpha, \beta \in (0, \pi]$ , luego  $\alpha = \beta$ .

Demostremos ahora ii).

Sea  $\vec{v}$  tal que  $f(\vec{v}) = \lambda\vec{v}$ , entonces  $\langle \vec{v}, \vec{v} \rangle = \langle f(\vec{v}), f(\vec{v}) \rangle = \langle \lambda\vec{v}, \lambda\vec{v} \rangle = \lambda^2 \langle \vec{v}, \vec{v} \rangle$ , por tanto  $\lambda^2 = 1$ , luego  $\lambda = \pm 1$ .

□

En el Teorema 3.2.2.1. se ha demostrado que  $f$  es una isometría lineal si y solo si la imagen de toda base ortonormal es también una base ortonormal. Veamos ahora qué ocurre con la representación matricial de la imagen por  $f$  de una base del espacio vectorial. No obstante, primero incluiré un breve repaso sobre la representación de la métrica con coordenadas.

**Definición 3.2.2.5.** Sea el espacio vectorial euclídeo  $(V, \langle \cdot, \cdot \rangle)$  y sea la métrica  $\langle \cdot, \cdot \rangle : V \times V \rightarrow \mathbb{R}$ . Sea, además, la base  $\beta = \{\vec{e}_i\}_{i=1}^n$  de  $V$ . Entonces:

i) Si  $\vec{x} = \sum_{i=1}^n x_i \vec{e}_i$ ,  $\vec{y} = \sum_{i=1}^n y_i \vec{e}_i$ , se tiene:

$$\begin{aligned} \langle \vec{x}, \vec{y} \rangle &= \left\langle \sum_{i=1}^n x_i \vec{e}_i, \sum_{i=1}^n y_i \vec{e}_i \right\rangle = \sum_{i,j=1}^n x_i y_j \langle \vec{e}_i, \vec{e}_j \rangle = \\ &= (x_1, \dots, x_n) \cdot \begin{pmatrix} g_{11} & \cdots & g_{1n} \\ \vdots & & \vdots \\ g_{n1} & \cdots & g_{nn} \end{pmatrix} \cdot \begin{pmatrix} y_1 \\ \vdots \\ y_n \end{pmatrix} = \vec{x}_\beta^t \cdot G_\beta \cdot \vec{y}_\beta \end{aligned}$$

Con  $g_{ij} = \langle \vec{e}_i, \vec{e}_j \rangle \quad \forall i, \forall j$ .

ii) La matriz de la métrica respecto de  $\beta$  es:

$$G_\beta := \begin{pmatrix} g_{11} & \cdots & g_{1n} \\ \vdots & & \vdots \\ g_{n1} & \cdots & g_{nn} \end{pmatrix} = \begin{pmatrix} \langle e_1, e_1 \rangle & \cdots & \langle e_1, e_n \rangle \\ \vdots & & \vdots \\ \langle e_n, e_1 \rangle & \cdots & \langle e_n, e_n \rangle \end{pmatrix}$$

**Nota 3.2.2.3.** La métrica  $\langle \cdot, \cdot \rangle$  no depende de la base  $\beta$  escogida.

**Definición 3.2.2.6.** Sea el espacio afín real  $(\mathcal{A}, V, \delta)$  y sea la métrica  $\langle \cdot, \cdot \rangle : V \times V \rightarrow \mathbb{R}$ . La base  $\beta = \{\vec{e}_i\}_{i=1}^n$  es una base ortonormal si y solo si  $G_\beta = Id_n$ , si y solo si  $\langle e_i, e_j \rangle = \delta_{ij} \quad \forall i, j \in \{1, \dots, n\}$ . Si  $\vec{x}, \vec{y} \in V$  son tales que  $\vec{x}_\beta = (x_1, \dots, x_n)$ ,  $\vec{y}_\beta = (y_1, \dots, y_n)$  y  $\beta = \{e_i\}_{i=1}^n$  es una base ortonormal, entonces:

$$\langle \vec{x}, \vec{y} \rangle = (x_1, \dots, x_n) \cdot \begin{pmatrix} 1 & 0 & \cdots & 0 \\ \vdots & & & \vdots \\ 0 & \cdots & 0 & 1 \end{pmatrix} \cdot \begin{pmatrix} y_1 \\ \vdots \\ y_n \end{pmatrix} = x_1 y_1 + \dots + x_n y_n$$

**Nota 3.2.2.4.** Si la base canónica  $\{(1, 0, \dots, 0), \dots, (0, \dots, 0, 1)\}$  es una base ortonormal para la métrica  $g$ , entonces  $g(\vec{x}, \vec{y}) = x_1 y_1 + \dots + x_n y_n$  es la métrica euclídea (y viceversa).

#### Demostración.

Veamos primero que si la base canónica  $\{(1, 0, \dots, 0), \dots, (0, \dots, 0, 1)\}$  es una base ortonormal para la métrica  $g$ , entonces  $g(\vec{x}, \vec{y}) = x_1 y_1 + \dots + x_n y_n$  es la métrica euclídea.

Supongamos que  $[g]_\infty = Id_n$ , y sea  $\mathcal{C}$  la base canónica.

Entonces, dados  $\vec{x}, \vec{y} \in V$ ,  $g(\vec{x}, \vec{y}) = \vec{x}_\mathcal{C}^t \cdot Id_n \cdot \vec{y}_\mathcal{C}^t = g_u(\vec{x}, \vec{y})$ .

Veamos primero que la base canónica  $\{(1, 0, \dots, 0), \dots, (0, \dots, 0, 1)\}$  es una base ortonormal para la métrica  $g$  si  $g(\vec{x}, \vec{y}) = x_1 y_1 + \dots + x_n y_n$  es la métrica euclídea.

Supongamos que  $g = g_u$  la métrica euclídea. Entonces  $[g]_\mathcal{C} = Id_n$  trivialmente. □

**Nota 3.2.2.5.** Sean las bases  $\beta = \{e_i\}_{i=1}^n$ ,  $\beta' = \{e'_j\}_{j=1}^n$  de  $V$  y sea también la matriz  $A$  del cambio de base de  $\beta'$  a  $\beta$ , es decir,  $\vec{x}_\beta = A \cdot \vec{x}_{\beta'}$ . Entonces  $G_{\beta'} = A^t \cdot G_\beta \cdot A$ , siendo  $G_{\beta'}$  y  $G_\beta$  las matrices de la métrica en  $G_{\beta'}$  y  $G_\beta$  respectivamente.

Ahora que ya se ha recordado la representación de una métrica con coordenadas, retomemos las explicaciones teóricas sobre las isometrías lineales y el grupo ortogonal con el siguiente Teorema, que explica la relación entre las isometrías lineales y las matrices ortogonales.

**Teorema 3.2.2.2.** Sea  $f : V^n \rightarrow V^n$  una aplicación lineal. Entonces  $f$  es una isometría lineal si y solo si  $A = [f]_{\{\vec{e}_i\}_{i=1}^n} \in O(n)$ , i.e. es ortogonal,  $\forall \{\vec{e}_i\}_{i=1}^n$  base ortonormal.

#### Demostración.

Sea la base ortonormal  $\{\vec{e}_i\}_{i=1}^n$  de  $V$  y sean  $\vec{x}, \vec{y} \in V$  de la forma  $\vec{x} = \sum_{i=1}^n x_i \vec{e}_i$ ,  $\vec{y} = \sum_{i=1}^n y_i \vec{e}_i$ .

Por otra parte, sea la aplicación lineal  $f(\vec{x}) = \sum_{i=1}^n x_i A(\vec{e}_i) = A \cdot \vec{x}$ .

Entonces, llamando  $B = \{\vec{e}_i\}_{i=1}^n$  y  $G_B \equiv$  matriz de  $\langle , \rangle$  en  $B$ , se tiene:

$$g(f(\vec{x}), f(\vec{y})) \equiv g(A\vec{x}, A\vec{y}) = (A\vec{x})^t \cdot G_B \cdot A\vec{y}$$

Y también:

$$g(\vec{x}, \vec{y}) = \vec{x}^t \cdot G_B \cdot \vec{y}$$

Veamos, en primer lugar, que si  $f$  es una isometría lineal, entonces  $A$  es ortogonal.

Como  $B$  es ortonormal,  $G_B = Id$  y, por tanto:

$$g(f(\vec{x}), f(\vec{y})) = G(A\vec{x}, A\vec{y}) = (A\vec{x})^t G_B A\vec{y} = \vec{x}^t A^t Id_n A\vec{y} = \vec{x}^t A^t A\vec{y}$$

Y, además, se tiene que:

$$g(\vec{x}, \vec{y}) = \vec{x}^t G_B \vec{y} = \vec{x}^t \vec{y}$$

Por ser  $f$  isometría lineal,  $g(f(\vec{x}), f(\vec{y})) = g(\vec{x}, \vec{y})$ , entonces se tiene que:

$$\vec{x}^t A^t A\vec{y} = \vec{x}^t \vec{y} \quad \forall \vec{x}, \vec{y} \in V$$

Esto implica que  $A^t A = Id_n$  y, por tanto, puede afirmarse que  $A$  es ortogonal.

Veamos ahora que, si  $A = [f]_B$  es una matriz ortogonal, siendo  $B$  una base ortonormal de  $V$ , entonces  $f$  es una isometría lineal.

Sea  $A = [f]_B$  una matriz ortogonal,  $B$  una base ortonormal de  $V$ , i.e.  $G_B = Id$ , entonces,  $A^t = A^{-1}$ . Por tanto:

$$g(f(\vec{x}), f(\vec{y})) = g(A\vec{x}, A\vec{y}) = (A\vec{x})^t G_B A\vec{y} = \vec{x}^t A^t A\vec{y} = \vec{x}^t \vec{y} = \vec{x}^t G_B \vec{y} = g(\vec{x}, \vec{y})$$

□

Debido a esta relación entre isometrías y matrices ortogonales, las isometrías lineales también se denominan transformaciones ortogonales. Sin embargo hay que destacar que la matriz asociada es ortogonal si y solo si está referida a una base ortonormal.

**Nota 3.2.2.6.** Sea  $(V, \langle , \rangle)$  un espacio vectorial euclídeo sobre  $\mathbb{R}$ . Si  $O(n, \mathbb{R}) = \{A \in M_{n \times n}(\mathbb{R}) / A^t = A^{-1}\}$ , entonces  $O(V) = \{f : V \rightarrow V / f \text{ es una isometría lineal}\} \simeq O(n, \mathbb{R})$ .

### 3.2.3. Isometrías en $\mathbb{R}^2$ y $\mathbb{R}^3$ : resultados generales y clasificación.

Una característica interesante de las isometrías afines es que, para cualquiera de ellas en  $\mathbb{R}^n$ , existirá una única traslación y un único isomorfismo ortogonal que verificarán ciertas propiedades como, por ejemplo, que de su composición resultará la propia isometría afín.

**Definición 3.2.3.1.** Sea  $K$  un cuerpo. Sea  $E = E(V)$  un espacio afín definido sobre  $K$ . Se dice que  $\mathcal{F} \subset E$  es una variedad lineal si existen un subespacio vectorial  $S$  de  $V$  y  $p \in E$  de manera que  $\mathcal{F} = p + S = \{p + \vec{v} : \vec{v} \in S\}$ .

**Proposición 3.2.3.1.** Sea  $\varphi : \mathbb{R}^n \rightarrow \mathbb{R}^n$  una aplicación afín. Sea  $\mathcal{F}_\varphi$  la variedad lineal tal que  $\mathcal{F}_\varphi = \{p \in \mathbb{R}^n / \varphi(p) = p\} = p_0 + \mathcal{F}_{\bar{\varphi}}$  con  $p_0 \in \mathcal{F}_\varphi$ . Sea el subconjunto  $\mathcal{F}_{\bar{\varphi}} = \{v \in V / \bar{\varphi}(v) = v\} \subset V$ . Entonces se tiene que:

- i)  $\mathcal{F}_{\bar{\varphi}} = \{\vec{x} \in \mathbb{R}^n / \bar{\varphi}(\vec{x}) = \vec{x}\} \hookrightarrow \mathbb{R}^n$ .
- ii) Si existe  $p \in \mathbb{R}^n / \varphi(p) = p$ , entonces  $\mathcal{F}_\varphi = p + \mathcal{F}_{\bar{\varphi}}$ .
- iii) Si  $\mathcal{F}_{\bar{\varphi}} = \{\vec{0}\}$  y  $\mathcal{F}_\varphi \neq \emptyset$ , entonces existe un único  $p$  punto fijo de  $\varphi$ .

**Teorema 3.2.3.1.** Sea  $\varphi : \mathbb{R}^n \rightarrow \mathbb{R}^n$  una isometría afín. Entonces existe un único isomorfismo ortogonal,  $\psi : \mathbb{R}^n \rightarrow \mathbb{R}^n$ , y una única traslación,  $t_{\vec{v}} : \mathbb{R}^n \rightarrow \mathbb{R}^n$ , tales que:

- i)  $\varphi = t_{\vec{v}} \circ \psi$
- ii)  $\mathcal{F}_\psi = \{\vec{x} \in \mathbb{R}^n / \psi(\vec{x}) = \vec{x}\} \neq \emptyset$ .
- iii)  $\mathcal{F}_\psi = p + F$  con  $p \in \mathcal{F}_\psi$ ,  $F = \mathcal{F}_{\bar{\varphi}} = \text{Ker}\{\bar{\varphi} - Id_{\mathbb{R}^n}\} = \text{Ker}\{\psi - Id_{\mathbb{R}^n}\}$ .

Notar que  $\text{Ker}(\psi - Id_{\mathbb{R}^n}) \equiv$  subespacio director de la variedad lineal de los puntos fijos de  $\varphi$ ; también que  $\psi = \bar{\varphi}$  es la aplicación lineal asociada y que si  $\varphi$  tiene puntos fijos, entonces  $v = 0$  y  $\varphi = \bar{\varphi} = \psi$ .

#### Demostración.

Demostremos i) en primer lugar.

Supongamos que  $\varphi : \mathbb{R}^n \rightarrow \mathbb{R}^n / \varphi(\vec{0}) = \vec{0}$  es una isometría afín.

Entonces se tiene que:

$$\bar{\varphi}(\vec{x}) = \bar{\varphi}(\vec{x} - \vec{0}) = \bar{\varphi}(\overline{\vec{0}\vec{x}}) = \overline{\varphi(\vec{0})\varphi(\vec{x})} = \overline{\vec{0}\varphi(\vec{x})} = \varphi(\vec{x}) - \vec{0} = \varphi(\vec{x}) \quad (3.7)$$

Acabamos de ver, pues, que  $\varphi = \bar{\varphi}$ , su aplicación lineal asociada. Por tanto,  $\varphi$  es lineal y, además,  $\varphi = \bar{\varphi} = t_{\vec{0}} \circ \bar{\varphi}$ .

Por otro lado, supongamos que  $\varphi : \mathbb{R}^n \rightarrow \mathbb{R}^n / \varphi(\vec{0}) \neq \vec{0}$  es una isometría afín y sea la aplicación  $\psi : \mathbb{R}^n \rightarrow \mathbb{R}^n / \psi(\vec{x}) := \varphi(\vec{x}) - \varphi(\vec{0})$ . Entonces  $\psi$  es afín con la aplicación lineal asociada  $\bar{\varphi} : \mathbb{R}^n \rightarrow \mathbb{R}^n$ , es decir,  $\bar{\psi} = \bar{\varphi}$ , porque, como  $\bar{\varphi}$  es la lineal asociada a  $\varphi$ , entonces  $\bar{\varphi}(\overline{\vec{o}\vec{x}}) = \overline{\varphi(\vec{0})\varphi(\vec{x})}$ , luego:

$$\bar{\varphi}(\overline{\vec{o}\vec{x}}) = \overline{\varphi(\vec{0})\varphi(\vec{x})} = \varphi(\vec{x}) - \varphi(\vec{0}) = \psi(\vec{x}) = \psi(\vec{x}) - \psi(\vec{0}) = \overline{\psi(\vec{0})\psi(\vec{x})} \quad (3.8)$$

También es cierto que, como  $\varphi$  es una isometría, entonces  $\bar{\varphi}$  es una isometría lineal (isomorfismo ortogonal) y, por lo tanto,  $\psi$  es una isometría afín.

Por lo que se ha visto en (3.7), como  $\psi(\vec{0}) = \vec{0}$ , entonces  $\psi = \bar{\psi} = \bar{\varphi}$  es un isomorfismo ortogonal.

Así, puede concluirse que, por la definición de  $\psi$ ,  $\psi(\vec{x}) = \varphi(\vec{x}) - \varphi(\vec{0})$ , tenemos:

$$\varphi(\vec{x}) = \psi(\vec{x}) + \varphi(\vec{0}) = t_{\varphi(\vec{0})} \circ \psi(\vec{x}) \quad (3.9)$$

Además, si  $x_0$  es un punto fijo de  $\varphi$ , entonces  $x_0 = \varphi(x_0) = \psi(x_0) + \varphi(0)$ .

Cabe señalar que  $t_{\vec{v}} = t_{\varphi(\vec{0})}$  es única y  $\psi(\vec{x}) = \varphi(\vec{x}) - \varphi(\vec{0})$  también. Veamos esto.

Si existe  $\psi_2 / \varphi(\vec{x}) = t_{\varphi(\vec{0})} \circ \psi_2(\vec{x}) = \psi_2(\vec{x}) + \varphi(\vec{x})$  y  $\varphi(\vec{x}) = \psi(\vec{x}) + \varphi(\vec{0})$ , entonces  $\psi_2 = \psi$  necesariamente.

Si existe  $\vec{v} / \varphi(\vec{x}) = t_{\vec{v}} \circ \psi(\vec{x}) = \psi(\vec{x}) + \vec{v}$  y  $\varphi(\vec{x}) = \psi(\vec{x}) + \varphi(\vec{0})$ , entonces  $\psi(\vec{0}) + \vec{v} = \psi(\vec{0}) + \varphi(\vec{0})$ , por tanto  $\vec{v} = \varphi(\vec{0})$ .

Hemos demostrado que, tanto si  $\varphi(\vec{0}) = \vec{0}$  como si  $\varphi(\vec{0}) \neq \vec{0}$ , existen un único  $\vec{v} = \varphi(\vec{0})$  y un único isomorfismo ortogonal  $\psi$  tales que  $\varphi = t_{\vec{v}} \circ \psi$ . Además,  $\bar{\varphi} = \psi$ .

Demostremos ahora ii).

Como  $\psi(\vec{0}) = \varphi(\vec{0}) - \varphi(\vec{0}) = \vec{0}$ , entonces:

$$\mathcal{F}_\psi = \{\vec{x} \in \mathbb{R}^n / \psi(\vec{x}) = \vec{x}\} \neq \emptyset \quad (3.10)$$

Por último, demostremos iii).

Sea la variedad lineal  $\mathcal{F}_\psi$  y sea  $\vec{p} \in \mathcal{F}_\psi$ . Veamos que  $\mathcal{F}_\psi = \vec{p} + \text{Ker}(\psi - Id_{\mathbb{R}^n})$ .

Veamos primero que  $\mathcal{F}_\psi \subseteq \vec{p} + \text{Ker}(\psi - Id_{\mathbb{R}^n})$ .

Esto puede verse teniendo en cuenta que, dado  $p \in \mathcal{F}_\psi$  y  $\vec{x} \in \mathcal{F}_\psi$ , entonces  $\psi(\vec{x} - \vec{p}) = \psi(\vec{x}) - \psi(\vec{p}) = \vec{x} - \vec{p}$ , luego  $\vec{x} = \vec{p} + \vec{x} - \vec{p} \in p + \text{Ker}(\psi - Id)$ .

Veamos ahora que  $\mathcal{F}_\psi \supseteq \vec{p} + \text{Ker}(\psi - Id_{\mathbb{R}^n})$ , con  $p \in \mathcal{F}_\psi$ .

Sea  $\vec{x} \in \vec{p} + \text{Ker}(\psi - Id_{\mathbb{R}^n})$ , entonces  $\vec{x} = \vec{p} + \vec{y}$  con  $\vec{y} / \psi(\vec{y}) = \vec{y}$ . Así, teniendo en cuenta que  $\psi$  es lineal, se tiene que:

$$\psi(\vec{x}) = \psi(\vec{p} + \vec{y}) = \psi(\vec{p}) + \psi(\vec{y}) = \vec{p} + \vec{y} = \vec{x}$$

Luego  $\vec{x} \in \mathcal{F}_\psi$ .

Además, como  $\bar{\psi} = \bar{\varphi} = \psi$ , entonces  $\text{Ker}(\psi - Id_{\mathbb{R}^n}) = \text{Ker}(\bar{\varphi} - Id_{\mathbb{R}^n})$ .

□

El Teorema 3.2.3.2. que sigue, clasifica las isometrías lineales. En virtud del Teorema 3.2.3.1., esta clasificación se traslada a las isometrías afines salvo traslación.

**Teorema 3.2.3.2.** *Sea  $T : \mathbb{R}^3 \rightarrow \mathbb{R}^3$  una isometría afín y sea  $\bar{T} : \mathbb{R}^3 \rightarrow \mathbb{R}^3$  la isometría lineal asociada;  $\bar{T}$  es un isomorfismo ortogonal. Entonces:*

i) Si  $\dim(\text{Ker}(\bar{T} - Id_{\mathbb{R}^3})) = 3$ , entonces la isometría  $\bar{T}$  es la identidad, es decir,  $\bar{T} = Id_{\mathbb{R}^3} = T$ .

ii) Si  $\dim(\text{Ker}(\bar{T} - \text{Id}_{\mathbb{R}^3})) = 2$ , entonces la isometría  $\bar{T}$  es simétrica ortogonal lineal respecto de  $\Pi = \text{Ker}(\bar{T} - \text{Id}_{\mathbb{R}^3})$ , lo cual implica que  $T$  es una simetría ortogonal.

iii) Si  $\dim(\text{Ker}(\bar{T} - \text{Id}_{\mathbb{R}^3})) = 1$ , entonces la isometría  $\bar{T}$  es una rotación (giro) alrededor del eje  $\text{Ker}(\bar{T} - \text{Id}_{\mathbb{R}^3})$ .

iv) Si  $\dim(\text{Ker}(\bar{T} - \text{Id}_{\mathbb{R}^3})) = 0$ , entonces la isometría  $\bar{T}$  es una simetría rotacional; una rotación (giro) alrededor de  $\text{Ker}(\bar{T} - \text{Id}_{\mathbb{R}^3})$  compuesta con una simetría ortogonal respecto de  $\text{Ker}(\bar{T} - \text{Id}_{\mathbb{R}^3})^\perp$ .

### Demostración.

i) es obvio. Veamos ii)

Sea  $\Pi = \text{Ker}(\bar{T} - \text{Id}_{\mathbb{R}^3}) = \langle \{\vec{v}_1, \vec{v}_2\} \rangle$  una base ortonormal. Sea  $\vec{v}_3$  unitario,  $\vec{v}_3 \in \Pi^\perp$ . Entonces  $\{\vec{v}_1, \vec{v}_2, \vec{v}_3\}$  una base ortonormal de  $\mathbb{R}^3$ .

Como  $\bar{T}$  es una isometría ortogonal, entonces  $\{T(\vec{v}_i)\}_{i=1}^3$  es una base ortonormal de  $\mathbb{R}^3$ . Así, se tiene que, como  $\bar{T}(\vec{v}_1) = \vec{v}_1$ ,  $\bar{T}(\vec{v}_2) = \vec{v}_2$ :

$$\begin{aligned}\bar{T}(\vec{v}_3) &= \langle \bar{T}(\vec{v}_3), \vec{v}_1 \rangle \vec{v}_1 + \langle \bar{T}(\vec{v}_3), \vec{v}_2 \rangle \vec{v}_2 + \langle \bar{T}(\vec{v}_3), \vec{v}_3 \rangle \vec{v}_3 = \\ &= \langle \bar{T}(\vec{v}_3), \bar{T}(\vec{v}_1) \rangle \vec{v}_1 + \langle \bar{T}(\vec{v}_3), \bar{T}(\vec{v}_2) \rangle \vec{v}_2 + \langle \bar{T}(\vec{v}_3), \vec{v}_3 \rangle \vec{v}_3 = \\ &= \langle \vec{v}_3, \vec{v}_1 \rangle \vec{v}_1 + \langle \vec{v}_3, \vec{v}_2 \rangle \vec{v}_2 + \langle \bar{T}(\vec{v}_3), \vec{v}_3 \rangle \vec{v}_3 = 0 + 0 + \langle \bar{T}(\vec{v}_3), \vec{v}_3 \rangle \vec{v}_3 = \lambda \vec{v}_3\end{aligned}$$

Como  $\bar{T}$  es ortogonal, y  $\bar{T}(\vec{v}_3) = \lambda \vec{v}_3$ , entonces  $\lambda = \pm 1$ . Pero  $T(\vec{v}_3) \neq \vec{v}_3$  porque si  $\bar{T}(\vec{v}_3) = \vec{v}_3$ , entonces  $\vec{v}_3 \in \text{Ker}(\bar{T} - \text{Id}_{\mathbb{R}^3})$ , y, por tanto,  $\vec{v}_3 = \vec{0}$ , pero esto es una contradicción, por lo tanto necesariamente  $T(\vec{v}_3) = -\vec{v}_3$ .

Entonces se tiene que:

$$[\bar{T}]_{\{\vec{v}_1, \vec{v}_2, \vec{v}_3\}} = \begin{bmatrix} 1 & 0 & 0 \\ 0 & 1 & 0 \\ 0 & 0 & -1 \end{bmatrix} \quad (3.11)$$

Si  $\vec{x} \in \mathbb{R}^3$ , siendo  $\vec{x} = \sum_{i=1}^n x_i \vec{v}_i$ , entonces:

$$\bar{T}(\vec{x}) = \bar{T}\left(\sum_{i=1}^3 x_i \vec{v}_i\right) = x_1 \vec{v}_1 + x_2 \vec{v}_2 + x_3 \vec{v}_3 - 2x_3 \vec{v}_3 = \vec{x} - 2 \frac{\langle \sum_{i=1}^3 x_i \vec{v}_i, \vec{v}_3 \rangle}{\|\vec{v}_3\|^2} \vec{v}_3 \quad (3.12)$$

Se puede demostrar que:

$$\bar{T}(\vec{x}) = \vec{x} - 2 \frac{\langle \sum_{i=1}^n x_i \vec{v}_i, \vec{v}_3 \rangle}{\|\vec{v}_3\|^2} \vec{v}_3 = S_\Pi(\vec{x})$$

Demostremos ahora iii)

Sea  $\text{Ker}(\bar{T} - Id_{\mathbb{R}^3}) = \langle \{\vec{v}_1\} \rangle$  con  $\vec{v}_1$  unitario y sea  $\Pi = \langle \{\vec{v}_1\} \rangle^\perp$  y  $\{\vec{v}_2, \vec{v}_3\}$  una base ortonormal de  $\Pi$ .

Entonces la base ortonormal  $\{\vec{v}_1, \vec{v}_2, \vec{v}_3\}$  de  $\mathbb{R}^3$  es  $\{\bar{T}(\vec{v}_1), \bar{T}(\vec{v}_2), \bar{T}(\vec{v}_3)\} = \{\vec{v}_1, \bar{T}(\vec{v}_2), \bar{T}(\vec{v}_3)\}$ . Como es una base ortonormal de  $\mathbb{R}^3$  entonces  $\bar{T}(\vec{v}_2) \perp \vec{v}_1$  y  $\bar{T}(\vec{v}_3) \perp \vec{v}_1$ , por lo tanto  $\bar{T}(\vec{v}_2), \bar{T}(\vec{v}_3) \in \langle \vec{v}_1 \rangle^\perp = \Pi$ . Así,  $\bar{T}|_\Pi : \Pi \rightarrow \Pi$  es una transformación ortogonal, porque  $\{T(v_i)\}_{i=2}^3$  es una base ortonormal.

Si  $\vec{v} \in \Pi = \langle \vec{v}_1 \rangle^\perp$  tal que  $\bar{T}(\vec{v}) = \vec{v}$  y, por tanto,  $\vec{v} \in \langle \vec{v}_1 \rangle$ , entonces  $\vec{v} = \vec{0}$ .

Aplicando el Teorema 3.2.3.2. de esta sección, puede afirmarse que  $\bar{T}|_\Pi$  es una transformación ortogonal sin vectores fijos (excepto el origen) y, por lo tanto, un giro, ya que, si no, sería una simetría axial y tendría vectores fijos no nulos. Este giro es, concretamente:

$$[\bar{T}]_\Pi = \begin{bmatrix} \cos(\theta) & -\sin(\theta) \\ \sin(\theta) & \cos(\theta) \end{bmatrix} \quad (3.13)$$

Con lo que la matriz de  $T$  en la base  $\{\vec{v}_1, \vec{v}_2, \vec{v}_3\}$  viene dada por:

$$[\bar{T}] = \begin{bmatrix} 1 & 0 & 0 \\ 0 & \cos(\theta) & -\sin(\theta) \\ 0 & \sin(\theta) & \cos(\theta) \end{bmatrix} \quad (3.14)$$

En esta segunda matriz las columnas representan, respectivamente,  $\bar{T}(\vec{v}_1), \bar{T}(\vec{v}_2)$  y  $\bar{T}(\vec{v}_3)$ .

Por último, demostremos iv)

Sea  $\dim(\text{Ker}(\bar{T} - \text{Id}_{\mathbb{R}^3})) = 0$ . Entonces  $\bar{T}(\vec{v}) = \vec{v}$  si y solo si  $\vec{v} = \vec{0}$ , luego  $\lambda = 1$  no es un valor propio de  $\bar{T}$ . Sin embargo,  $\bar{T}$  posee valores propios; estudiemos esto.

$\lambda$  será un valor propio de  $\bar{T}$  si y solo si  $\det[\bar{T} - \lambda \text{Id}_3] = 0$ . Veamos esto con detalle.

Por un lado, como  $\text{rg}(\bar{T} - \lambda \text{Id}_3) \leq 2$ , entonces:

$$\text{Im}(\bar{T} - \lambda \text{Id}_3) + \dim(\text{Ker}(\bar{T} - \lambda \text{Id}_3)) = 3 \quad (3.15)$$

Por otro lado se tiene que:

$$\text{Im}(\bar{T} - \lambda \text{Id}_3) + \dim(\text{Ker}(\bar{T} - \lambda \text{Id}_3)) \leq 2 + \dim(\text{Ker}(\bar{T} - \lambda \text{Id}_3)) \quad (3.16)$$

Por lo tanto, teniendo en cuenta (3.15) y (3.16), puede afirmarse que:

$$\dim(\text{Ker}(\bar{T} - \lambda \text{Id}_3)) \geq 1 \quad (3.17)$$

Por lo tanto, existe  $\vec{v} \neq \vec{0}$  tal que  $\bar{T}(\vec{v}) - \lambda \vec{v} = 0$ , luego  $\lambda$  es valor propio de  $\bar{T}$ .

Por otra parte,  $\det[\bar{T} - \lambda \text{Id}_3] = 0$  si y solo si existe  $\lambda / a\lambda^3 + b\lambda^2 + c\lambda + d = 0$  para ciertos valores  $a, b, c, d$  y esto es cierto porque el polinomio es continuo y, además:

$$\begin{cases} \lim_{\lambda \rightarrow \infty} a\lambda^3 + b\lambda^2 + c\lambda + d = \infty \\ \lim_{\lambda \rightarrow -\infty} a\lambda^3 + b\lambda^2 + c\lambda + d = -\infty \end{cases} \quad (3.18)$$

Como  $\bar{T}$  es una isometría ortogonal, las raíces valores propios de  $T$  pueden ser  $\lambda = +1$  o  $\lambda = -1$ , pero  $\lambda = +1$  no lo es, y el valor propio es  $\lambda = -1$ .

Sea  $\vec{v}_1$  unitario tal que  $\bar{T}(\vec{v}_1) = -\vec{v}_1$ . Sea  $\Pi = \langle \vec{v}_1 \rangle^\perp$  y sean  $\vec{v}_2, \vec{v}_3$  vectores de la base ortonormal de  $\Pi$ , entonces  $\{\vec{v}_1, \vec{v}_2, \vec{v}_3\}$  es una base ortonormal de  $\mathbb{R}^3$ .

Como, por un lado, se tiene que  $\langle \bar{T}(\vec{v}_2), \vec{v}_1 \rangle = \langle \bar{T}(\vec{v}_2), -\bar{T}(\vec{v}_1) \rangle = -\langle \vec{v}_2, \vec{v}_1 \rangle = 0$  y, por otro lado, que  $\langle \bar{T}(\vec{v}_3), \vec{v}_1 \rangle = \langle \bar{T}(\vec{v}_3), -\bar{T}(\vec{v}_1) \rangle = -\langle \vec{v}_3, \vec{v}_1 \rangle = 0$ , entonces  $\bar{T}(\vec{v}_2), \bar{T}(\vec{v}_3) \in \Pi$ .

Así,  $\bar{T}|_\Pi : \Pi \rightarrow \Pi$  es una aplicación lineal, ortogonal y sin puntos fijos: si  $\vec{w} \neq \vec{0}$  con  $w \in \Pi$  verifícase  $\bar{T}(\vec{w}) = \vec{w}$ , entonces  $\vec{w} \in \text{Ker}(\bar{T} - \text{Id}_{\mathbb{R}^3}) = \{\vec{0}\}$ , lo cual es contradictorio. Entonces  $T|_\Pi$  es un giro y

existe  $\theta \in [0, 2\pi)$  tal que:

$$[\bar{T}]_{|\Pi}] = \begin{bmatrix} \cos(\theta) & -\sin(\theta) \\ \sin(\theta) & \cos(\theta) \end{bmatrix} \quad (3.19)$$

Luego:

$$[\bar{T}] = \begin{bmatrix} -1 & 0 & 0 \\ 0 & \cos(\theta) & -\sin(\theta) \\ 0 & \sin(\theta) & \cos(\theta) \end{bmatrix} \quad (3.20)$$

□

Veamos, para terminar esta sección, la relación entre las matrices del grupo ortogonal y las rotaciones.

**Corolario 3.2.3.1.** *Sea  $A \in SO(3)$  una matriz de dimensión  $3 \times 3$ . Entonces, existen una matriz  $P \in SO(3)$  y un ángulo  $\theta \in [0, 2\pi)$  tales que  $P^{-1}AP = R_\theta$ , donde  $R_\theta$  es una matriz cuya transformación representa una rotación de ángulo  $\theta$ .*

#### Demostración.

Veamos primero que  $\det(A - I_3) = 0$ :

$$\det(A - I_3) = \det(A - AA^T) = \det(A(I_3 - A)^T) = (\det(A))\det((I_3 - A)^T) = -\det(A - I_3)$$

Ahora, como  $A - I_3$  es singular, entonces existe un vector columna distinto de cero,  $w$ , tal que  $Aw = w$ , y es justamente el vector propio que determinará el eje de rotación. Veámoslo con detalle.

Como  $\det(A - I_3) = 0$ , entonces  $\text{rg}(A - I_3) \leq 2$  y, por lo tanto,  $\dim(\text{Im}(A - I_3)) \leq 2$ .

Pero sabemos que  $3 = \dim(\text{Ker}(A - I_3)) + \dim(\text{Im}(A - I_3)) \leq \dim(\text{Ker}(A - I_3)) + 2$ , luego  $1 \leq \dim(\text{Ker}(A - I_3))$  y, consecuentemente, existe  $\vec{w} \in \text{Ker}(A - I_3)$ ,  $\vec{w} \neq \vec{0}$  tal que  $(A - I_3)\vec{w} = \vec{0}$ , y, por lo tanto, existe  $\vec{w} \in \text{Ker}(A - I_3)$ ,  $\vec{w} \neq \vec{0}$  tal que  $A\vec{w} = \vec{w}$ .

Sea  $\vec{w}_3 = \frac{\vec{w}}{\|\vec{w}\|}$  y sea  $\Pi = \langle \vec{w}_3 \rangle^\perp$ . Sea también la base ortonormal  $\{\vec{w}_1, \vec{w}_2\}$  de  $\Pi$ .

Como  $A\vec{w}_1, A\vec{w}_2 \in \Pi = \langle \vec{w}_3 \rangle$ , entonces  $A|_{\Pi} : \Pi \rightarrow \Pi$  es una transformación ortogonal porque  $\{A|_{\Pi}(w_i)\}$  es una base ortonormal de  $\Pi$ . Así, como  $A|_{\Pi} \in O(2)$ , se tiene que  $\det(A|_{\Pi}) = \pm 1$ , pero

como además  $A \in SO(3)$ , entonces  $\det(A) = 1$ . En consecuencia, como  $\det(A) = (-1)^6 \det(A|_\pi)$ , necesariamente  $\det(A|_\pi) = 1$ , y así  $A|_\Pi \in SO(2)$ , por lo que  $A|_\Pi$  es un giro cuya matriz es:

$$\begin{pmatrix} \cos(\theta) & -\sin(\theta) \\ \sin(\theta) & \cos(\theta) \end{pmatrix}$$

□

Justo este resultado es el que se obtuvo en la afirmación iii) del Teorema 3.2.3.2.

Ahora que hemos recordado los conceptos más importantes sobre los espacios vectoriales y afines euclídeos y las isometrías sobre ellos, es momento de presentar a los cuaterniones.

### 3.3. Los cuaterniones y su importancia en gráficos por ordenador.

#### 3.3.1. El nacimiento de los cuaterniones y su creciente popularidad.

*"Mañana será el decimoquinto cumpleaños de los cuaterniones. Surgieron a la vida, o a la luz, ya crecidos, el 16 de octubre de 1843, cuando me encontraba caminando con la Sra. Hamilton hacia Dublín, y llegamos al Puente de Broughman. Es decir, entonces y ahí, cerré el circuito galvánico del pensamiento y las chispas que cayeron fueron las ecuaciones fundamentales entre  $i, j, k$ ; exactamente como las he usado desde entonces. Saqué, en ese momento, una libreta de bolsillo, que todavía existe, e hice una anotación, sobre la cual, en ese mismo preciso momento, sentí que posiblemente sería valioso el extender mi labor por al menos los diez (o podían ser quince) años por venir. Es justo decir que esto sucedía porque sentí, en ese momento, que un problema había sido resuelto, un deseo intelectual aliviado, deseo que me había perseguido por lo menos los quince años anteriores. No pude resistir el impulso de coger mi navaja y grabar en una piedra del Puente Brougham la fórmula fundamental con los símbolos  $i, j, k$ :*

$$i^2 = j^2 = k^2 = ijk = -1$$

*que contenían la solución del Problema, que desde entonces sobrevive como inscripción."*

Es esto lo que quince años después del 16 de octubre de 1843, Hamilton escribía en una carta a uno de sus hijos. Su interés por estudiar lo que acabaría motivando la creación de los cuaterniones surgió cuando leyó, en 1828, por recomendación de Graves, el recién publicado *"Tratado sobre la representación geométrica de las raíces cuadradas de cantidades negativas"*, del matemático John Warren. En este trabajo se describía la representación de los números complejos de Argand. Hamilton se sintió atraído por la idea de que, si se consideraban los números complejos como vectores del plano, entonces las operaciones aritméticas elementales adquirían una interpretación geométrica natural, de modo que la suma

compleja resultaba equivalente a la suma vectorial, y la multiplicación compleja equivalente al producto de un vector por un escalar más la rotación de dicho vector. Fue entonces cuando en Hamilton surgió la idea de intentar generalizar los números complejos con el fin de representar rotaciones y movimientos de vectores en el espacio tridimensional. Si esta generalización funcionaba, sin lugar a dudas los números complejos resultarían una herramienta potentísima para la formulación de las leyes básicas de la física con el fin de describir el movimiento de cuerpos rígidos en el espacio.

Desconocía el “*atecnológico*” Hamilton del siglo diecinueve la importancia que en la actualidad tendría su “*creación*”, utilizada en los siglos posteriores para describir dinámicas en tres dimensiones. Por ejemplo, destaca especialmente el uso de los cuaterniones en el software de vuelo del Space Shuttle <sup>1</sup>, que los utilizaba para el control de navegación y vuelo, en software actual con utilidades similares, o en los gráficos por computadora.

Entre las ventajas que motivan el uso de los cuaterniones destacan las relativas al código en el que se utilizan, pues consiguen hacerlo más compacto y aumentar la velocidad de cómputo eliminando singularidades en los cálculos. Como se explicará en la sección 3.3.4., comparados con los ángulos de Euler, ofrecen una representación de la orientación de un objeto tridimensional no singular, más compacta y más rápida que las matrices a nivel de cálculos computacionales.

Cabe señalar que los cuaterniones también cobraron importancia por el uso que se les dio en la representación de fractales, tanto para las técnicas de modelaje de computación gráfica como para la formación de algoritmos para abstraer y codificar los detalles de un modelo, evitando así almacenar explícitamente muchas primitivas de bajo nivel para lograr el modelo. Un claro ejemplo del uso de los cuaterniones en este ámbito es el que permitía el almacenamiento de las imágenes de la enciclopedia Encarta <sup>2</sup> en un espacio reducido.

Por su parte, los motores de programación de videojuegos como Unity o Unreal Engine (el que utilicé durante mis prácticas), hacen uso de los cuaterniones también para las representaciones gráficas.

Si bien la anterior sección de este capítulo estuvo dedicada al estudio de las isometrías en los espacios afines euclídeos, en esta sección profundizaremos en el estudio de los cuaterniones.

Muchas de las aplicaciones de los números complejos a la geometría pueden generalizarse utilizando cuaterniones, en los que la parte imaginaria la forma un vector de  $\mathbb{R}^3$ . Dado que el campo de aplicación de los cuaterniones es muy amplio, nos centraremos en el estudio de su relación con las isometrías en espacios afines euclídeos y, concretamente, en su utilidad a la hora de representar rotaciones en el espacio de tres dimensiones.

---

<sup>1</sup> Transbordador espacial gestionado por la Administración Aeronáutica y Espacial Nacional de Estados Unidos (NASA) cuyo primer vuelo de prueba orbital se produjo en 1981.

<sup>2</sup> Microsoft Encarta fue una enciclopedia multimedia digital publicada por Microsoft Corporation desde 1993 hasta 2009.

En la sección 3.3.2. que sigue se presentan las definiciones tanto de los cuaterniones como de algunas de sus operaciones, así como algunas de sus propiedades básicas. A continuación, presento otra sección donde se estudiarán las rotaciones representadas con cuaterniones; con los cuaterniones ya suficientemente trabajados, podrá entenderse el *puente* entre ellos y las isometrías en espacios afines que se han presentado en la sección 3.2. Finalmente, presento una reflexión sobre porqué utilizar los cuaterniones pese a su patente complejidad frente a otras representaciones de rotaciones como los ángulos de Euler.

### 3.3.2. El álgebra de los cuaterniones.

Los cuaterniones pueden interpretarse como vectores de cuatro componentes y, por tanto, como elementos que pertenecen a un espacio de cuatro dimensiones. La presente sección está dedicada al estudio del álgebra de los cuaterniones partiendo de la definición de cuaternion y explicando a partir de ella algunas de sus propiedades y operaciones.

**Definición 3.3.2.1.** *Se definen los cuaterniones como elementos de la forma:*

$$q = a + bi + cj + dk, \quad \text{con } a, b, c, d \in \mathbb{R}, \quad i, j, k \text{ los elementos de la base canónica de } \mathbb{R}^3.$$

*El conjunto de cuaterniones se representa con la letra  $\mathbb{H}$ , en honor a su creador Sir William Rowan Hamilton.*

Además, como cada cuaternion  $q$  vendrá definido por los coeficientes  $a, b, c, d$  que forman el vector  $(a, b, c, d)$ , puede identificarse  $\mathbb{H}$  con  $\mathbb{R}^4$  considerado como espacio vectorial, con la suma y la ley externa definidas de forma natural a partir de las de  $\mathbb{R}^4$ . Dado  $a \in \mathbb{H}$ , también se representa  $q = a + \vec{v}$  con  $\vec{v} = (b, c, d) = bi + cj + dk$ .

Es natural observar que puede dividirse el cuaternion en dos partes, una real y una imaginaria, de la forma  $\Re(q) = a$ ,  $\Im(q) = bi + cj + dk$ , que respectivamente pueden considerarse como un número real y un vector de  $\mathbb{R}^3$ . Así, cualquier cuaternion  $q \in \mathbb{H}$  puede escribirse como  $q = a + v$ , con  $\Re(q) = a \in \mathbb{R}$ ,  $\Im(q) = v \in \mathbb{R}^3$ .

Veamos mediante la siguiente definición cómo es el producto de cuaterniones.

**Definición 3.3.2.2.** *Sean  $q_1, q_2 \in \mathbb{H}$ ,  $q_1 = a_1 + b_1i + c_1j + d_1k$ ,  $q_2 = a_2 + b_2i + c_2j + d_2k$ . Se define el producto de cuaterniones como:*

$$\begin{aligned} q_1 \cdot q_2 &= (a_1a_2 - b_1b_2 - c_1c_2 - d_1d_2) + (a_1b_2 + b_1a_2 + c_1d_2 - d_1c_2)i + \\ &\quad + (a_1c_2 - b_1d_2 + c_1a_2 + d_1b_2)j + (a_1d_2 + b_1c_2 - c_1b_2 + d_1a_2)k \end{aligned} \tag{3.21}$$

¿De dónde sale esta expresión de apariencia tan *artificial*? Recordemos, para justificarla, la cita que daba comienzo a la sección 3.3., en la que Hamilton explicaba a uno de sus hijos cómo fue aquel momento en el que, años atrás, *descubrió* la expresión  $i^2 = j^2 = k^2 = ijk = -1$ . Esta expresión se convertiría

en la fórmula fundamental de los cuaterniones y permite el desarrollo del álgebra de cuaterniones que estamos introduciendo.

**Nota 3.3.2.1.** De la expresión  $i^2 = j^2 = k^2 = ijk = -1$  pueden obtenerse las siguientes Reglas:

$$\left\{ \begin{array}{l} ij = ij(-k^2) = -ijk \cdot k = k \\ ik = -j \\ ji = -k \\ jk = (-i^2)jk = -i(ijk) = i \\ ki = -(ji)i = -ji^2 = j \\ kj = (ij)j = ij^2 = -i \end{array} \right. \quad (3.22)$$

De las Reglas anteriores se deduce que la definición del producto, como se ve en la siguiente Proposición.

**Proposición 3.3.2.1.** Utilizando las Reglas que se derivan de la expresión  $i^2 = j^2 = k^2 = ijk = -1$ , detalladas en (3.22), se deriva que el producto de cuaterniones se expresa como:

$$q_1 \cdot q_2 = (a_1a_2 - b_1b_2 - c_1c_2 - d_1d_2) + (a_1b_2 + b_1a_2 + c_1d_2 - d_1c_2)i + (a_1c_2 - b_1d_2 + c_1a_2 + d_1b_2)j + (a_1d_2 + b_1c_2 - c_1b_2 + d_1a_2)k \quad (3.23)$$

Demostración.

Desarrollando parcialmente el producto  $q_1q_2$  y usando las identidades obtenidas en (3.22) se tiene:

$$\begin{aligned} q_1q_2 &= (a_1 + b_1i + c_1j + d_1k)(a_2 + b_2i + c_2j + d_2k) = \\ &= a_1a_2 + a_1b_2i + a_1c_2j + a_1d_2k + b_1a_2i + b_1b_2i^2 + b_1c_2ij + b_1d_2ik + \\ &\quad + c_1a_2j + c_1b_2ij + c_1c_2j^2 + c_1d_2jk + d_1a_2k + d_1b_2ki + d_1c_2kj + d_1d_2k^2 = \\ &= (a_1a_2 - b_1b_2 - c_1c_2 - d_1d_2) + (a_1b_2 + b_1a_2 + c_1d_2 - d_1c_2)i + \\ &\quad + (a_1c_2 - b_1d_2 + c_1a_2 + d_1b_2)j + (a_1d_2 + b_1c_2 - c_1b_2 + d_1a_2)k \end{aligned}$$

□

**Definición 3.3.2.3.** Si  $q \in \mathbb{H}$  verifica que  $\Re(q) = 0$ , entonces se le denomina cuaternión imaginario.

**Lema 3.3.2.1.** Sean  $q_1 = a_1 + v_1 \in \mathbb{H}$ ,  $q_2 = a_2 + v_2 \in \mathbb{H}$ , entonces:

$$q_1q_2 = a_1a_2 - \langle v_1v_2 \rangle + a_1v_2 + a_2v_1 + v_1 \times v_2 \quad (3.24)$$

De donde se deduce que  $\Re(q_1 \cdot q_2) = a_1a_2 - \langle v_1v_2 \rangle$ ,  $\Im(q_1 \cdot q_2) = a_1v_2 + a_2v_1 + v_1 \times v_2$ .

En particular, si tanto  $q_1$  como  $q_2$  son cuaterniones imaginarios, i.e.  $q_1 = v_1$  y  $q_2 = v_2$ , entonces:

$$q_1 \cdot q_2 = -v_1 v_2 + v_1 \times v_2 \quad (3.25)$$

Demostración.

Sean  $q_1 = a_1 + v_1 = a_1 + (b_1, c_1, d_1) \in \mathbb{H}$ ,  $q_2 = a_2 + v_2 = a_2 + (b_2, c_2, d_2) \in \mathbb{H}$ .

El producto de cuaterniones se expresa:

$$\begin{aligned} q_1 q_2 &= (a_1 + b_1 i + c_1 j + d_1 k)(a_2 + b_2 i + c_2 j + d_2 k) = \\ &= a_1 a_2 + a_1 b_2 i + a_1 c_2 j + a_1 d_2 k + b_1 a_2 i + b_1 b_2 i^2 + b_1 c_2 i j + b_1 d_2 i k + \\ &\quad + c_1 a_2 j + c_1 b_2 i j + c_1 c_2 j^2 + c_1 d_2 j k + d_1 a_2 k + d_1 b_2 k i + d_1 c_2 k j + d_1 d_2 k^2 = \\ &= a_1 a_2 - b_1 b_2 - d_1 d_2 - c_1 c_2 + (a_1 b_2 + b_1 a_2) i + (a_1 c_2 + c_1 a_2) j + \\ &\quad + (a_1 d_2 + d_1 a_2) k + b_1 c_2 k - b_1 d_2 j - c_1 b_2 k + c_1 d_2 i + d_1 b_2 j - d_1 c_2 i = \\ &= a_1 a_2 - \langle v_1, v_2 \rangle + a_1 (b_2 i + c_2 j + d_2 k) + a_2 (b_1 i + a_1 j + d_1 k) + \\ &\quad + (c_1 d_2 - d_1 c_2) i + (d_1 b_2 - b_1 d_2) j + (b_1 c_2 - c_1 b_2) k = \\ &= a_1 a_2 - \langle (b_1, c_1, d_1), (b_2, c_2, d_2) \rangle + a_1 v_2 + a_2 v_1 + \det \begin{bmatrix} i & j & k \\ b_1 & c_1 & d_1 \\ b_2 & c_2 & d_2 \end{bmatrix} = \\ &= a_1 a_2 - \langle v_1, v_2 \rangle + a_1 v_2 + a_2 v_1 + v_1 \times v_2 \end{aligned}$$

Donde  $\Re(q_1 q_2) = a_1 a_2 - \langle v_1, v_2 \rangle$ ,  $\Im(q_1 q_2) = a_1 v_2 + a_2 v_1 + v_1 \times v_2$ .

□

**Corolario 3.3.2.1.** La multiplicación de cuaterniones es asociativa, es decir:

$$(q_1 q_2) q_3 = q_1 (q_2 q_3) \quad \forall q_1, q_2, q_3 \in \mathbb{H}$$

Demostración.

Sean  $q_1, q_2, q_3 \in \mathbb{H}$ ,  $q_1 = a_1 + v_1$ ,  $q_2 = a_2 + v_2$ ,  $q_3 = a_3 + v_3$ . Entonces los productos  $(q_1 q_2) q_3$  y  $q_1 (q_2 q_3)$  son, respectivamente:

$$\begin{aligned}
(q_1 q_2) q_3 &= (a_1 a_2 - \langle v_1, v_2 \rangle + a_1 v_2 + a_2 v_1 + v_1 \times v_2) q_3 = \\
&= (a_1 a_2 - \langle v_1, v_2 \rangle) a_3 - \langle a_1 v_2 + a_2 v_1 + v_1 \times v_2, v_3 \rangle + (a_1 a_2 - \langle v_1, v_2 \rangle) v_3 + \\
&\quad + a_3 (a_1 v_2 + a_2 v_1 + v_1 \times v_2) + (a_1 v_2 + a_2 v_1 + v_1 \times v_2) \times v_3 = \\
&= a_1 a_2 a_3 - a_3 \langle v_1, v_2 \rangle - a_1 \langle v_2, v_3 \rangle - a_2 \langle v_1, v_3 \rangle + \langle v_1 \times v_2, v_3 \rangle + a_1 a_2 v_3 - \langle v_1, v_2 \rangle v_3 + \\
&\quad + a_3 a_1 v_2 + a_3 a_2 v_1 + a_3 (v_1 \times v_2) + a_1 v_2 \times v_3 + a_2 v_1 \times v_3 + (v_1 \times v_2) \times v_3 \\
q_1 (q_2 q_3) &= q_1 (a_2 a_3 - \langle v_2, v_3 \rangle + a_2 v_3 + a_3 v_2 + v_2 \times v_3) = \\
&= a_1 (a_2 a_3 - \langle v_2, v_3 \rangle) - \langle v_1, a_2 v_3 + a_3 v_2 + v_2 \times v_3 \rangle + a_1 (a_2 v_3 + a_3 v_2 + v_2 \times v_3) + \\
&\quad + (a_2 a_3 - \langle v_2, v_3 \rangle) v_1 + v_1 \times (a_2 v_3 + a_3 v_2 + v_2 \times v_3) = \\
&= a_1 a_2 a_3 - a_1 \langle v_2, v_3 \rangle - a_2 \langle v_1, v_3 \rangle - a_3 \langle v_1, v_2 \rangle + \langle v_1, v_2 \times v_3 \rangle + a_1 a_2 v_3 + a_1 a_3 v_2 + \\
&\quad + a_1 (v_2 \times v_3) + a_2 a_3 v_1 - \langle v_2, v_3 \rangle v_1 - a_2 v_3 \times v_1 - a_3 v_2 \times v_1 - (v_2 \times v_3) \times v_1
\end{aligned}$$

Ambos productos son iguales, lo que demuestra que el producto de cuaterniones verifica la propiedad asociativa.

□

**Proposición 3.3.2.2.** *La multiplicación de cuaterniones no es conmutativa.*

Demostración.

Veamos esto con un contraejemplo.

Sean  $q_1 = 2 + (1, 0, 1)$ ,  $q_2 = 3 + (1, 2, 3)$ ,  $q_1, q_2 \in \mathbb{H}$ . Los respectivos productos  $q_1 q_2$  y  $q_2 q_1$  son:

$$q_1 q_2 = 2(1, 2, 3) + 3(1, 0, 1) + (1, 0, 1) \times (1, 2, 3) = (5, 4, 9) + (-2, -2, 2) = (3, 2, 11)$$

$$q_2 q_1 = 3(1, 0, 1) + 2(1, 2, 3) + (1, 2, 3) \times (1, 0, 1) = (5, 4, 9) + (2, 2, -2) = (7, 6, 7)$$

Luego  $q_1 q_2 \neq q_2 q_1$  y, por lo tanto, queda demostrado que la multiplicación de cuaterniones no es conmutativa.

□

Una vez estudiado el producto de cuaterniones, es momento de definir la norma y los conceptos de cuaternion unitario y conjugado, los cuales dejarán entrever similitudes entre  $\mathbb{H}$  y  $\mathbb{C}$ .

**Definición 3.3.2.4.** Sea el cuaternion  $q = a + bi + cj + dk = a + v \in \mathbb{H}$ . Se define:

i) El módulo o norma del cuaternion  $q$  como  $|q|^2 = a^2 + b^2 + c^2 + d^2 = a^2 + \|v\|^2$  que, por abuso de notación, con frecuencia se identificarán  $\|v\| = |v|$ .

ii) Si  $q \in \mathbb{H}$  verifica que  $|q| = 1$ , entonces se le denomina cuaternion unitario. Se denota el conjunto de cuaterniones unitarios como  $\mathcal{U} = \{q \in \mathbb{H} / |q| = 1\} \subset \mathbb{H}$ .

iii) El conjugado  $\bar{q}$  de un cuaternion  $q$  se define como  $\bar{q} = a - bi - cj - dk = a - v$ , es decir, se consigue invirtiendo el signo de la parte imaginaria.

iv) Se representa el espacio de los cuaterniones imaginarios de la forma:  $\text{Im } \mathbb{H} = \{q \in \mathbb{H} / \bar{q} = -q\}$ , que es justamente  $\mathbb{R}^3$  considerado como espacio vectorial. Cabe señalar, además, que si  $q$  es un cuaternion imaginario, i.e.  $q = v \in \mathbb{H}$ , entonces  $q^2 = v^2 = -v \cdot v = -|v|^2$ , que es un número real.

Detengámonos un momento a estudiar algunas de las propiedades de la norma y los conjugados de los cuaterniones.

**Lema 3.3.2.2.** Sean los cuaterniones  $q_1, q_2, q_3 \in \mathbb{H}$ . Entonces:

$$i) q\bar{q} = |q|^2.$$

$$ii) \overline{q_1 q_2} = \overline{q_2} \cdot \overline{q_1}.$$

$$iii) |q_1 q_2| = |q_1| \cdot |q_2|.$$

Demostración.

Veamos en primer lugar la demostración de i).

Sea  $q = a + v \in \mathbb{H}$ , entonces  $\bar{q} = a - v$ , luego  $q\bar{q} = a^2 - v(-v) + a(-v) + av + v \times (-v) = a^2 + v^2 = |q|^2$ .

Demostremos ahora ii).

Sean  $q_1 = a_1 + v_1 \in \mathbb{H}$ ,  $q_2 = a_2 + v_2 \in \mathbb{H}$ , entonces  $\overline{q_1} = a_1 - v_1$ ,  $\overline{q_2} = a_2 - v_2$ . Sabemos que

$q_1 q_2 = a_1 a_2 - v_1 v_2 + a_1 v_2 + a_2 v_1 + v_1 \times v_2$ , por lo tanto,  $\overline{q_1 q_2} = a_1 a_2 - v_1 v_2 - a_1 v_2 - a_2 v_1 - v_1 \times v_2$ .

Por otro lado:

$$\begin{aligned}\overline{q_2} \cdot \overline{q_1} &= a_2 a_1 - (-v_2)(-v_1) + a_2(-v_1) + a_1(-v_2) + (-v_2) \times (-v_1) = \\ &= a_1 a_2 - v_1 v_2 - a_2 v_1 - a_1 v_2 - (v_2 \times v_1)\end{aligned}$$

Como por propiedades del producto vectorial es cierto que  $v_1 \times v_2 = -(v_2 \times v_1)$ , acabamos de comprobar que se verifica que  $\overline{q_1 q_2} = \overline{q_2} \cdot \overline{q_1}$ .

Por último, demostremos iii).

Por i) podemos afirmar que  $|q_1 q_2|^2 = q_1 q_2 \overline{q_1 q_2}$ .

Por ii) podemos añadir que  $|q_1 q_2|^2 = q_1 q_2 \overline{q_1 q_2} = q_1 q_2 \overline{q_2} \cdot \overline{q_1}$ .

Aplicando i) de nuevo tenemos que  $|q_1 q_2|^2 = q_1 q_2 \overline{q_1 q_2} = q_1 q_2 \overline{q_2} \cdot \overline{q_1} = q_1 |q_2|^2 \overline{q_1} = |q_1|^2 |q_2|^2$ .

□

**Nota 3.3.2.2.** Es interesante destacar los hechos que siguen.

i) Cabe añadir que de la afirmación i) del Lema anterior se desprende una propiedad interesante:  $q^{-1} = \frac{1}{|q|} \bar{q}$  con  $q \neq 0$ , que conlleva que  $\mathbb{H}$  es un anillo de división o cuerpo no commutativo.

ii) También es importante comentar que si  $v$  es un cuaternión unitario imaginario fijo, i.e.  $v \in \mathfrak{I} \cap \mathcal{U}$ , entonces se puede identificar el subespacio bidimensional  $\langle 1, v \rangle = \{a + bv / a, b \in \mathbb{R}\} \subseteq \mathbb{H}$  con  $\mathbb{C}$  por medio de la transformación siguiente:

$$\begin{aligned}\varphi_{\vec{v}} : \mathbb{C} &\rightarrow \langle 1, \vec{v} \rangle \subseteq \mathbb{H} \\ a + ib &\mapsto a + b\vec{v}\end{aligned}$$

Así, las multiplicaciones son consistentes en ambos lados, pues:

$$(a_1 + b_1 v)(a_2 + b_2 v) = a_1 a_2 + (a_1 b_2 + b_1 a_2)v + b_1 b_2 v^2 = (a_1 a_2 - b_1 b_2) + (a_1 b_2 + b_1 a_2)v$$

$$(a_1 + b_1 i)(a_2 + b_2 i) = a_1 a_2 + (a_1 b_2 + b_1 a_2)i - b_1 b_2 = (a_1 a_2 - b_1 b_2) + (a_1 b_2 + b_1 a_2)v$$

iii) Es interesante resaltar que el conjunto de cuaterniones imaginarios está parametrizado por la esfera unitaria  $S^2(1)$ , ya que, dado  $\vec{v} \in \text{Im}(\mathbb{H})$ ,  $|\vec{v}|^2 = 1$  si y solo si  $\vec{v} \in S^2(1)$ . Como  $\forall \vec{v} \in \text{Im}(\mathbb{H}) \cap S^2(1)$ , entonces  $\varphi_{\vec{v}} : \mathbb{C} \rightarrow \langle 1, \vec{v} \rangle$ , y así tenemos que hay una esfera de planos complejos dentro de  $\mathbb{H}$ . Esta forma en que  $\mathbb{H}$  extiende  $\mathbb{C}$  cuando se aplica a los cuaterniones, es lo que se denomina geometría hipercompleja.

En la sección que se presenta a continuación se explican algunas conclusiones obtenidas al trabajar con cuaterniones y se presentan las rotaciones expresadas mediante el uso de cuaterniones.

### 3.3.3. Los cuaterniones en las rotaciones.

A lo largo de esta sección presentaré cómo los cuaterniones juegan un papel vital en la representación de las rotaciones en los espacios tridimensionales.

Para poder relacionarlas correctamente, es necesario conocer primero el grupo de cuaterniones unitarios. Si bien el cuaternion 0 no tiene inverso para el producto y por lo tanto el conjunto  $\mathbb{H}$  no es grupo, sí lo es el conjunto  $\mathbb{H} \setminus \{0\}$  y, como se demuestra en la Proposición que sigue, también el grupo de cuaterniones unitarios.

**Proposición 3.3.3.1.** *El conjunto de cuaterniones unitarios  $\mathcal{U} = \{q \in \mathbb{H} / |q| = 1\}$  es un grupo.*

#### Demostración.

Por un lado, en la sección anterior se ha demostrado que los cuaterniones verifican la propiedad asociativa, aunque no la commutativa para el producto.

En el Lema 3 de la sección anterior se ha demostrado que dados  $q_1, q_2 \in \mathcal{U}$ , entonces  $|q_1 q_2| = |q_1||q_2| = 1$ , luego  $\mathcal{U}$  es un conjunto cerrado bajo el producto. Además, dado  $q \in \mathcal{U}$  entonces  $q^{-1} = \bar{q} \in \mathcal{U}$ , por lo que también será cerrado bajo la inversión.

□

**Nota 3.3.3.1.** *Dado que los cuaterniones unitarios son de la forma  $q = a + bi + cj + dk$ , con  $a^2 + b^2 + c^2 + d^2 = 1$ , el conjunto de cuaterniones unitarios puede denominarse también, para facilitar su interpretación, como  $\mathcal{U} = \{(a, b, c, d) \in \mathbb{R}^4 / a^2 + b^2 + c^2 + d^2 = 1\}$ , que coincide con la hiperesfera  $S^3(1)$ , formada por todos los vectores de cuatro dimensiones y con distancia unitaria al origen.*

**Proposición 3.3.3.2.** *Sea  $q \in \mathcal{U}$ . Si  $w \in \text{Im} \mathbb{H}$ , entonces  $qw\bar{q}$  es un cuaternion imaginario con la misma norma que  $w$ .*

Demostración.

Sea  $w \in \mathfrak{Im} \mathbb{H}$ , entonces  $\bar{w} = -w$  y  $w^2 = -|w|^2$ . Sea también  $p = qw\bar{q}$ .

Por un lado, por la propiedad de la conjugación, se tiene que  $\bar{p} = \bar{q}\bar{w}\bar{q} = q(-q)\bar{q} = -p$ , por lo que  $p = qw\bar{q}$  es también un cuaternión imaginario.

Por otro lado,  $|p|^2 = p\bar{p} = (qw\bar{q})(-qw\bar{q}) = q(-w^2)\bar{q} = q|w|^2\bar{q} = |w|^2$ . □

Esta Proposición motiva la siguiente definición.

**Definición 3.3.3.1.** Dado  $q = a + \vec{v} \in \mathcal{U}$ , se define la aplicación  $R[q] : \text{Im}(\mathbb{H}) \rightarrow \text{Im}(\mathbb{H})$  como:

$$R[q]w = qw\bar{q} = (a + v)w(a - v) = a^2w + a(vw - wv) - vwv \quad (3.26)$$

Con  $w \in \mathfrak{Im} \mathbb{H}$ .

Notar que, en virtud de la identificación  $\text{Im}(\mathbb{H}) \equiv \mathbb{R}^3$ ,  $R[q] : \mathbb{R}^3 \rightarrow \mathbb{R}^3$ .

**Teorema 3.3.3.1.** Sea  $q$  un cuaternión unitario. Entonces  $R[q]$  representa una rotación en sentido antihorario de ángulo  $2\arccos(\Re q)$ , comprendido entre  $0$  y  $2\pi$ , con los ejes apuntando en la dirección de  $\mathfrak{Im} q$ . Debe entenderse por sentido antihorario lo equivalente a la Regla del “sacacorchos” de la mano derecha que se utiliza comúnmente en física y que ilustra la figura 3.1 que sigue.

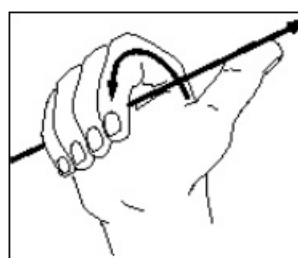


Figura 3.1: Regla de la mano derecha ilustrando el sentido antihorario.

Demostración.

Sean  $v = \mathfrak{Im} q$ ,  $q = a + \vec{v} \in \mathcal{U}$ . Entonces existe un único ángulo  $\theta \in [0, 2\pi]$  tal que  $a = \cos(\frac{\theta}{2})$  y  $|v| = \sin(\frac{\theta}{2}) \geq 0$ . Veamos esto con detalle.

Sea  $q \in \mathcal{U}$ , i.e.  $|q| = 1$ , luego  $|q|^2 = a^2 + |\vec{v}|^2 = 1$ . Entonces existe un único  $\alpha \in [0, 2\pi)$  tal que  $a = \cos(\alpha)$  y  $|\vec{v}| = \sin(\alpha)$ . Sea  $\theta = 2\alpha$ , entonces  $\alpha = \arccos(\alpha)$ , por tanto  $\theta = 2\alpha = 2\arccos(\alpha) = 2\arccos(\Re q)$ .

Ahora, si  $v = 0$ , entonces es evidente que  $q = \pm 1$  y o bien  $\theta = 0$  o bien  $\theta = 2\pi$ , lo que representa la rotación identidad y verifica el Teorema.

Cuando  $|v| \neq 0$ , entonces, según se ha definido la aplicación, tenemos que:

$$R[q]v = a^2v + a(vv - vv) - vvv = a^2v + |v|^2v = (a^2 + |v|^2)v = v$$

Sea el cuaternión unitario imaginario  $w_1 \in \mathfrak{Im} \mathbb{H} = \mathbb{R}^3$  perpendicular a  $v$ . Entonces  $w_1v = 0$  y  $vw_1 = -w_1v = v \times w_1$ . Si se define  $w_3 = \frac{1}{|v|}v$ ,  $w_2 = w_3w_1$ , entonces  $\{w_1, w_2, w_3\}$  es una base ortonormal de  $\mathbb{R}^3$  con  $w_1 \times w_2 = w_3$ . Además, utilizando la transformación  $R[q]v$  definida, se tiene que:

$$R[q]w_3 = R[q] \left( \frac{1}{|\vec{v}|} \vec{v} \right) = \frac{1}{|\vec{v}|} R[q] \vec{v} = \frac{\vec{v}}{|\vec{v}|} = w_3$$

$$R[q]w_1 = w_1 \cos^2\left(\frac{\theta}{2}\right) + 2vw_1 \cos\left(\frac{\theta}{2}\right) - w_1 \sin^2\left(\frac{\theta}{2}\right) = w_1 \cos(\theta) + w_2 \sin(\theta)$$

Y, del mismo modo, también:

$$R[q]w_2 = w_2 \cos^2\left(\frac{\theta}{2}\right) + 2vw_2 \cos\left(\frac{\theta}{2}\right) - w_2 \sin^2\left(\frac{\theta}{2}\right) = -w_1 \sin(\theta) + w_2 \cos(\theta)$$

Con esto se define el sistema de ecuaciones que sigue:

$$R[q]w = \begin{cases} R[q]w_1 = w_1 \cos(\theta) + w_2 \sin(\theta) \\ R[q]w_2 = -w_1 \sin(\theta) + w_2 \cos(\theta) \end{cases} \quad (3.27)$$

¿A qué resultado acabamos de llegar? La rotación  $R[q]$  definida mediante el sistema de ecuaciones (3.27) es equivalente a la matriz  $A$  definida en (3.4), la cual representa un giro de ángulo  $\theta$  en sentido horario. Así pues, la transformación lineal  $R[q]$  tiene una matriz relativa a la base ortonormal  $\{w_1, w_2, w_3\}$  de la forma:

$$[R[q]]_{\{w_1, w_2, w_3\}} = \begin{pmatrix} \cos(\theta) & -\sin(\theta) & 0 \\ \sin(\theta) & \cos(\theta) & 0 \\ 0 & 0 & 1 \end{pmatrix}$$

Y, por tanto es un giro, luego acabamos de demostrar que se verifica el enunciado del Teorema.

□

Es natural preguntarse, llegado este punto, si la matriz de rotación alrededor de un eje  $\vec{w}$  cualquiera tiene su equivalente en los cuaterniones, es decir, si utilizando los cuaterniones puede conseguirse una matriz que describa una rotación alrededor de un eje arbitrario. Para poder entender el papel que juegan los cuaterniones en la representación de rotaciones, partiremos de la siguiente Regla, que asumiremos sin demostración, la cual proviene de la interpretación física de *velocidad angular*.

**Regla 3.3.3.1.** *Cualquier rotación puede representarse mediante un vector  $\vec{x} \in \mathbb{R}^3$  con  $|\vec{x}| \leq \pi$ , siendo el eje de rotación la dirección dada por dicho vector y su norma los radianes que representan el ángulo de giro, en sentido antihorario.*

Definamos, además, la bola cerrada  $B^3(\pi) = \{\vec{x} \in \mathbb{R}^3 / |\vec{x}| \leq \pi\}$ , equivalente a la unión de la esfera  $S^2(\pi)$ , de radio  $\pi$ , y todos los puntos situados en su interior.

¿Dónde encajan aquí los cuaterniones? Para comprenderlo, representaremos la rotación definida por su eje-vector unitario  $\vec{x}$  y ángulo  $\theta$  de forma analítica. Veamos, mediante la siguiente Proposición, cómo se expresa la rotación  $R(\theta, \vec{x})$  con el cuaternion  $q = a + \vec{v}$  donde  $a = \cos(\frac{\theta}{2})$ ,  $\vec{v} = \sin(\frac{\theta}{2})\vec{x}$ .

**Proposición 3.3.3.3.** *Sea el cuaternion unitario  $q = (q_0, q_1, q_2, q_3)$ . Entonces la rotación  $R[q]$  puede representarse respecto de la base canónica mediante la matriz:*

$$R(q) = \begin{pmatrix} q_0^2 + q_1^2 - q_2^2 - q_3^2 & 2q_1q_2 - 2q_0q_3 & 2q_1q_3 + 2q_0q_2 \\ 2q_1q_2 + 2q_0q_3 & q_0^2 - q_1^2 + q_2^2 - q_3^2 & 2q_2q_3 - 2q_0q_1 \\ 2q_1q_3 - 2q_0q_2 & 2q_2q_3 + 2q_0q_1 & q_0^2 - q_1^2 - q_2^2 + q_3^2 \end{pmatrix} \quad (3.28)$$

Siendo  $q_0 = a = \cos(\frac{\theta}{2})$ ,  $q_1 = w_1b = w_1\sin(\frac{\theta}{2})$ ,  $q_2 = w_2b = w_2\sin(\frac{\theta}{2})$ ,  $q_3 = w_3b = w_3\sin(\frac{\theta}{2})$ , donde el vector  $\vec{w} = (w_1, w_2, w_3)$  representa el eje de rotación.

### Demostracion.

Sean  $q_0 = a = \cos(\frac{\theta}{2})$ ,  $q_1 = w_1b = w_1\sin(\frac{\theta}{2})$ ,  $q_2 = w_2b = w_2\sin(\frac{\theta}{2})$ ,  $q_3 = w_3b = w_3\sin(\frac{\theta}{2})$  las componentes del cuaternion  $q = (q_0, q_1, q_2, q_3)$ .

Lo primero que necesitamos es representar la matriz de rotaciones según el ángulo mitad. Llamaremos  $a = \cos(\frac{\theta}{2})$ ,  $b = \sin(\frac{\theta}{2})$ .

Sabemos, por lo estudiado en la sección 3.2., que, siendo  $c = \cos(\theta)$ ,  $s = \sin(\theta)$ ,  $\hat{w} = (w_1, w_2, w_3)$ , se tiene la matriz de rotación de la forma:

$$R(\theta, \hat{w}) = \begin{pmatrix} c + w_1^2(1 - c) & w_1 w_2(1 - c) - sw_3 & w_1 w_3(1 - c) + sw_2 \\ w_1 w_2(1 - c) + sw_3 & c + w_2^2(1 - c) & w_2 w_3(1 - c) - sw_1 \\ w_1 w_3(1 - c) - sw_2 & w_2 w_3(1 - c) + sw_1 & c + w_3^2(1 - c) \end{pmatrix}$$

Como nos interesa la representación mediante el ángulo mitad, utilizaremos las equivalencias que siguen.

Por un lado, como:

$$1 - c = 1 - \cos(\theta) = 2\sin^2\left(\frac{\theta}{2}\right) = 2b^2 \quad (3.29)$$

Entonces

$$c = 1 - 2b^2 \quad (3.30)$$

Por otro lado, como:

$$a^2 + b^2 = \cos^2\left(\frac{\theta}{2}\right) + \sin^2\left(\frac{\theta}{2}\right) = 1 \quad (3.31)$$

Es cierto que:

$$c = 1 - 2b^2 = a^2 + b^2 - 2b^2 = a^2 - b^2 \quad (3.32)$$

Además, como  $s = \sin(\theta)$  y se verifica que  $c^2 + s^2 = \cos^2(\theta) + \sin^2(\theta) = 1$ , entonces:

$$s^2 = 1 - c^2 = 1 - (1 - 2b^2) \quad (3.33)$$

Luego:

$$s = \sqrt{1 - (1 + 4b^4 - 4b^2)} = \sqrt{-4b^4 + 4b^2} = 2b\sqrt{1 - b^2} = 2b\sqrt{a^2} = 2ab \quad (3.34)$$

Luego, utilizando las equivalencias (3.30), (3.32), (3.34), la matriz  $R(\theta, \hat{w})$  queda de la forma:

$$\begin{pmatrix} a^2 - b^2 + 2b^2 w_1^2 & 2b^2 w_1 w_2 - 2ab w_3 & 2b^2 w_1 w_3 + 2ab w_2 \\ 2b^2 w_1 w_2 + 2ab w_3 & a^2 - b^2 + 2b^2 w_2^2 & 2b^2 - w_2 w_3 - 2ab w_1 \\ 2b^2 w_1 w_3 - 2ab w_2 & 2b^2 w_2 w_3 + 2ab w_1 & a^2 - b^2 + 2b^2 w_3^2 \end{pmatrix} \quad (3.35)$$

Si, además, tenemos en cuenta que  $w_1^2 + w_2^2 + w_3^2 = 1$ , entonces se tiene que:

$$a^2 - b^2 + 2b^2w_1^2 = a^2 - (w_1^2 + w_2^2 + w_3^2)b^2 + 2b^2w_1^2 = a^2 + b^2(w_1^2 - w_2^2 - w_3^2) \quad (3.36)$$

$$a^2 - b^2 + 2b^2w_2^2 = a^2 - (w_1^2 + w_2^2 + w_3^2)b^2 + 2b^2w_2^2 = a^2 + b^2(-w_1^2 + w_2^2 - w_3^2) \quad (3.37)$$

$$a^2 - b^2 + 2b^2w_3^2 = a^2 - (w_1^2 + w_2^2 + w_3^2)b^2 + 2b^2w_3^2 = a^2 + b^2(-w_1^2 - w_2^2 + w_3^2) \quad (3.38)$$

Sustituyendo (3.36), (3.37), (3.38) en la matriz (3.35) obtenemos:

$$\begin{pmatrix} a^2 + b^2(w_1^2 - w_2^2 - w_3^2) & 2b^2w_1w_2 - 2abw_3 & 2b^2w_1w_3 + 2abw_2 \\ 2b^2w_1w_2 + 2abw_3 & a^2 + b^2(-w_1^2 + w_2^2 - w_3^2) & 2b^2 - w_2w_3 - 2abw_1 \\ 2b^2w_1w_3 - 2abw_2 & 2b^2w_2w_3 + 2abw_1 & a^2 + b^2(-w_1^2 - w_2^2 + w_3^2) \end{pmatrix} \quad (3.39)$$

Si llamamos  $q_0 = a = \cos(\frac{\theta}{2})$ ,  $q_1 = bw_1 = w_1 \sin(\frac{\theta}{2})$ ,  $q_2 = bw_2 = w_2 \sin(\frac{\theta}{2})$ ,  $q_3 = bw_3 = w_3 \sin(\frac{\theta}{2})$ , la matriz anterior es equivalente a:

$$R[q] = \begin{pmatrix} q_0^2 + q_1^2 - q_2^2 - q_3^2 & 2q_1q_2 - 2q_0q_3 & 2q_1q_3 + 2q_0q_2 \\ 2q_1q_2 + 2q_0q_3 & q_0^2 - q_1^2 + q_2^2 - q_3^2 & 2q_2q_3 - 2q_0q_1 \\ 2q_1q_3 - 2q_0q_2 & 2q_2q_3 + 2q_0q_1 & q_0^2 - q_1^2 - q_2^2 + q_3^2 \end{pmatrix} \quad (3.40)$$

Por lo tanto, acabamos de demostrar que la rotación  $R(\theta, \vec{w})$  tiene su equivalente representación  $R[q]$  utilizando los cuaterniones.

□

Es conveniente remarcar que  $q$  y  $-q$  determinan la misma transformación, debido a las propiedades de los ángulos mitad. Veamos esto.

**Corolario 3.3.3.1.** *Sea el cuaternion  $q \in \mathbb{H}$  tal que  $q = (a, b, c, d)$ , entonces  $R[q] = R[-q]$ .*

Demostración.

Basándonos en la matriz de rotación (3.40) definida utilizando cuaterniones en la Proposición 3.3.3.3., si la rotación se hace sobre  $-q = (-a, -b, -c, -d)$ , entonces se tiene:

$$R[-q] = \begin{pmatrix} (-a)^2 + (-b)^2 - (-c)^2 - (-d)^2 & 2(-b)(-c) - 2(-a)(-d) & 2(-a)(-c) + 2(-b)(-d) \\ 2(-b)(-c) + 2(-a)(-d) & (-a)^2 - (-b)^2 + (-c)^2 - (-d)^2 & 2(-c)(-d) - 2(-a)(-b) \\ 2(-b)(-d) - 2(-a)(-c) & 2(-a)(-b) + 2(-c)(-d) & (-a)^2 - (-b)^2 - (-c)^2 + (-d)^2 \end{pmatrix} =$$

$$= \begin{pmatrix} a^2 + b^2 - c^2 - d^2 & 2bc - 2ad & 2ac + 2bd \\ 2bc + 2ad & a^2 - b^2 + c^2 - d^2 & 2cd - 2ab \\ 2bd - 2ac & 2ab + 2cd & a^2 - b^2 - c^2 + d^2 \end{pmatrix} = R[q]$$

□

Para terminar la sección, cabe añadir que resultaría natural plantearse si matriz puede estar completamente determinada por la parte imaginaria  $\Im q = (b, c, d)$ , definiendo  $a = \sqrt{1 - b^2 - c^2 - d^2}$ . No obstante, esta idea debe descartarse porque  $\Re q$  puede ser negativa y cambiar el signo de  $q$  para ajustar la definición de  $a$  en función de  $b, c, d$  a este hecho conlleva invertir el signo de  $v$  y del ángulo de rotación.

### 3.3.4. Ángulos de Euler, giroscopios y cuaterniones. Pese a su complejidad, ¿conviene utilizar los cuaterniones?

El modo tradicional de especificar una rotación es descomponiéndola en la composición de tres rotaciones, cada una alrededor de uno de los ejes cartesianos, y se utiliza en la actualidad en algunos sistemas de giroscopios o, por ejemplo, en las maquinarias de los parques de atracciones.

Para presentar los ángulos de Euler de modo que resulten comprensibles, empecemos imaginando tres ejes perpendiculares en el espacio de tres dimensiones, correspondiéndose con el esquema clásico conocido de los ejes X, Y, Z.

Si, teniendo esto anterior en mente, colocamos ahora un avión en el origen y nos imaginamos su trayectoria desde el despegue hasta que alcanza la altura durante la que desarrollará un vuelo horizontal prolongado hacia su destino, es obvio que durante este periodo realizará movimientos que se pueden representar como combinaciones de giros entorno a cada uno de los tres ejes.

Llamemos ahora a cada uno de los ángulos que representan las rotaciones alrededor de los ejes X, Y, Z, respectivamente  $\psi, \theta, \phi$ . La tripleta formada por estos ángulos,  $(\psi, \theta, \phi)$  será lo que denominaremos ángulos de Euler, equivalente a la notación  $(pitch, yaw, roll)$ , como se observa en la figura 3.2. Estos ángulos se utilizan con bastante frecuencia para representar rotaciones con vectores tridimensionales; de hecho, si bien a nivel interno Unreal Engine - el motor gráfico con el que programé durante mi estancia en prácticas - utiliza cuaterniones, en la interfaz de programador permite establecer las rotaciones de los elementos mediante ángulos de Euler.

Cada tripleta de vectores ortonormales definiendo los ejes en un movimiento determinado se denominará marco,  $F_i$ , y una sucesión de movimientos - representados como giros mediante ángulos de Euler en las tripletas - se obtendrá componiendo distintos marcos.

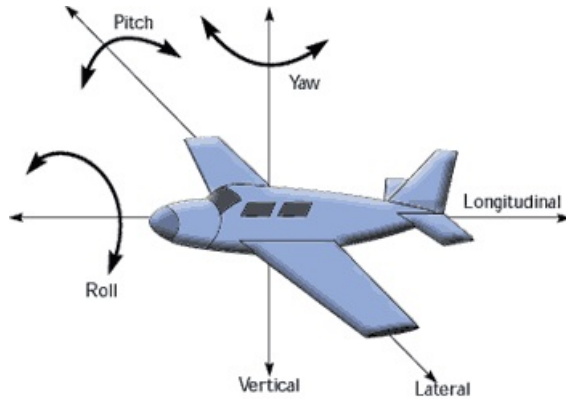


Figura 3.2: Esquema de las rotaciones (*pitch, yaw, roll*) que definen los ángulos de Euler en un avión.

El Teorema de Euler afirma que cualquier elemento de  $SO(3)$  puede descomponerse como composición de tres rotaciones alrededor de ejes ortogonales, en cualquier orden. Atendiendo a lo estudiado sobre cuaterniones unitarios, presentaremos ahora un Teorema que recoge esta idea.

Antes, no obstante, es necesario destacar que se considerará, en el desarrollo del Teorema, el círculo  $\mathcal{U}_v = \{a + bv / a^2 + b^2 = 1\}$  formado por la intersección del subespacio  $\langle 1, v \rangle$  con  $\mathcal{U}$ .

**Teorema 3.3.4.1.** *Sea  $q \in \mathcal{U}$ . Entonces existen:*

- i)  $q_1 \in \mathcal{U}_i, q_2 \in \mathcal{U}_j, q_3 \in \mathcal{U}_k$  tales que  $q = q_3q_2q_1$ .
- ii)  $p_1 \in \mathcal{U}_i, p_2 \in \mathcal{U}_j, p_3 \in \mathcal{U}_k$  tales que  $q = p_3p_2p_1$

Omitiremos la demostración de este Teorema, pero demostraríremos el Lema que sigue.

**Lema 3.3.4.1.** *Dado  $v \in \mathfrak{Im}\mathbb{H}$ , existen  $a, b, c \in \mathbb{R}$  tales que  $\mathfrak{Im}[(a+i)(b+j)(c+k)] = v$ .*

Demostración.

Sea  $v = ri + sj + tk$ . Sabemos (por hipótesis) que:

$$\begin{aligned}
 \mathfrak{Im}[(a+i)(b+j)(c+k)] &= \mathfrak{Im}[(ab + aj + ib + k)(c + k)] = \\
 &= \mathfrak{Im}[abc + abk + acj + ajk + icb + ikb + ck + k^2] = \\
 &= \mathfrak{Im}[abc + abk + acj + ai + icb - jb + ck + 1] = \\
 &= \mathfrak{m}[abc + (a+cb)i + (ac-b)j + (ab+c)k - 1] = v
 \end{aligned}$$

Por lo tanto debe verificarse que:

$$\begin{cases} r = (a + cb) \\ s = (ac - b) \\ t = (ab + c) \end{cases}$$

Luego:

$$\begin{cases} a(1 + c^2) = cs + r \\ c(1 + a^2) = as + t \end{cases}$$

De aquí se deduce que:  $a^5 - ra^4 + 2a^3 + (st - 2r)a^2 + (t^2 - s^2 + 1)a - r - st = 0$ .

Está claro que esta ecuación de quinto grado tiene al menos una raíz real, que es  $a$ . Con esto, el sistema inicial se reduce a dos ecuaciones lineales que se pueden resolver para  $b$  y  $c$ .

□

Se ha hablado a lo largo de este documento de las bondades de los cuaterniones, pero su uso parece más complejo que los ángulos de Euler. ¿Por qué no se utilizan en su lugar entonces? El motivo está justificado; por un lado los ángulos de Euler dependen de la elección de la secuencia de ejes que definen la rotación, pero lo que más les aleja de situarse como una herramienta mejor para representar las rotaciones es su propensión a sufrir lo que se denomina *Gimbal Lock*.

¿Cuándo ocurre esto? Si nos interesan hechos reales como respuesta, puede revisarse lo que ocurrió con el viaje del Apollo 11 a la Luna <sup>3</sup>, que al entrar en Gimbal Lock perdió toda estabilidad y empezó a dar bandazos sin sentido, hasta que mediante el control manual pudo salir de dicho estado. Si vamos un poco más allá, no es difícil detectar que cuando un ángulo de Euler se aproxime a  $\frac{\pi}{2}$ , su coseno lo hará a cero, y esto derivará en graves problemas si los cómputos los está llevando a cabo un ordenador, incapaz de dividir entre 0.

En los casos en los que se pierde uno de los grados de libertad por entrar en Gimbal Lock, los ángulos que definen la rotación respecto a los otros dos ejes dejan de ser independientes y desencadenan el caos en el sistema sobre el que están aplicando las rotaciones.

La ventaja de utilizar rotaciones basadas en cuaterniones imaginarios es que la aplicación  $B^3(\pi) \rightarrow SO(3)$  definida por  $\rho(x) = \exp(A[x]) = R[q]$  mantiene siempre las derivadas parciales linealmente independientes,  $\rho_x, \rho_y, \rho_z$ , evitando así perder un grado de libertad cayendo en Gimbal Lock. Esto no es así con la aplicación  $\sigma : R \rightarrow SO(3)$  siendo  $\sigma(\psi, \theta, \phi)$  el marco con las rotaciones,  $R = [0, 2\pi] \times [-\pi/2, \pi/2] \times [-\pi, \pi]$  el dominio usual sobre el que se definen los ángulos de Euler.

---

<sup>3</sup><https://www.hq.nasa.gov/alsj/gimbals.html>

# Capítulo 4

## Conclusiones.

Poco después de comenzar mi estancia en prácticas con el equipo Catness, detecté comportamientos extraños en la ejecución de las funciones programadas, especialmente en aquellas que incluían giros.

Una de las primeras cosas que hube de tener en cuenta fue que los ángulos no se expresaban en radianes sino en grados, pero pese a *retozar* mi código teniendo en cuenta esto, seguía sin obtener los resultados esperados. Fue entonces cuando detecté que Unreal Engine 4 utiliza los ángulos de Euler<sup>1</sup> para representar las coordenadas de los puntos desde el modo *programador*, y no su representación “tradicional” respecto al origen y el sistema de coordenadas cartesiano.

Con los ángulos de Euler, lo que representa cada una de las coordenadas es una rotación. En particular, en tres dimensiones las representaciones son de la forma (*pitch*, *yaw*, *roll*), las cuales corresponden, respectivamente, a rotaciones respecto de los ejes X, Y, Z. En otros sistemas donde se utilizan los ángulos de Euler, como los de los aeroplanos, los tres ángulos corresponden a la dirección (“heading” o *yaw*), elevación (*pitch*) y ángulo de alabeo (*roll*).

Esto, sumado al hecho de que, en una ocasión, la ejecución de una de mis funciones provocó *Gimbal Lock* y la consecuente pérdida de la posibilidad de rotación sobre uno de los ejes, despertó mi interés por estudiar la representación de las rotaciones en el espacio con métodos distintos a los que se me habían explicado a lo largo del grado. Tras explicárselo a mi tutor, coincidimos en que esta temática podría resultar interesante y nos pusimos a *investigar* sobre el tema, para descubrir cómo se tratan realmente las rotaciones en tres dimensiones más allá de las matrices de rotación explicadas en las asignaturas de geometría del grado.

Al iniciar el proceso de búsqueda de bibliografía relacionada con esta temática, pronto aparecieron los cuaterniones, que se presentaban como la herramienta más “estable” para la representación de isometrías en el espacio, especialmente de las rotaciones. Además, en la mayoría de fuentes consultadas se expli-

---

<sup>1</sup>Detalles sobre el uso de los ángulos de Euler en Unreal Engine 4 pueden encontrarse en: <https://docs.unrealengine.com/latest/INT/API/Runtime/Core/Math/FRotator/index.html>

caba que los motores gráficos - como por ejemplo Unity o Unreal Engine -, utilizan internamente en sus códigos fuente los cuaterniones para representaciones tridimensionales<sup>2</sup> o, al menos, los ofrecen al programador como herramienta para las rotaciones.

Dada la importancia que parecían presentar los cuaterniones, mi tutor y yo decidimos que resultaba interesante incluir en la sección matemática de mi PFG referencias a ellos. Así, decidimos que lo mejor era que, en primer lugar, recordara los conceptos sobre isometrías lineales y afines estudiados en el grado, lo cual queda reflejado en la sección 3.2. Tras esto, nos dedicamos a la comprensión de los cuaterniones y conseguimos encontrar su conexión con las isometrías que acababa de repasar. En la sección 3.3., tras presentar el álgebra de los cuaterniones, queda reflejado que es posible caracterizar las rotaciones en el espacio tridimensional mediante cuaterniones, apoyándonos para ello en la exponentiación de matrices ya conocida y, lo que es aún más importante, se ha evidenciado que hay una clara correspondencia entre las rotaciones representadas matricialmente en la Nota 2 de la sección 3.2. y la matriz  $R[q]$  de rotación expresada en función de los cuaterniones en la sección 3.3.

Además, en la sección 3.3.6. se ha visto que, pese a que los cuaterniones presentan mayor dificultad de comprensión que los ángulos de Euler, consiguen representaciones más estables - ya que las funciones que los manipulan no presentan singularidades -, que evitan incurrir en *Gimbal Lock* y perder así grados de libertad en las rotaciones, lo que justifica sobradamente su uso.

Ahora que han concluido tanto mi estancia en prácticas como mi estudio sobre los cuaterniones, puedo decir que ambos me han resultado muy interesantes.

La estancia en prácticas, por su parte, me dio la oportunidad de conocer un componente de los videojuegos antes desconocido para mí: su programación. Pese a que me hubiera gustado que el tiempo compartido con Catness hubiera sido mayor y así haber podido completar las funciones programadas, generalizarlas y dotarlas de mayor funcionalidad, me siento satisfecha con lo conseguido a lo largo de las doscientas noventa horas, no solo a nivel de objetivos conseguidos, sino también en lo que a aprendizaje personal se refiere. El ambiente de trabajo fue muy agradable y me permitió aprender que la programación de videojuegos tiene una dificultad añadida respecto al tipo de programación que ya conocía hasta el momento: el usuario final. Aprendí que al diseñar un videojuego no solamente ha de presentarse un “paquete” de funciones útiles de fácil aprendizaje, sino también tan robustas como sea posible, para evitar así los *bugs* que tanto detestan quienes juegan a videojuegos y que, además, pueden explotarse con fines de dudosa moralidad en contra del videojuego final presentado. Además, a nivel de programación, las prácticas sirvieron para mejorar mi capacidad de diseño de algoritmos, afianzar conceptos sobre programación orientada a objetos y aprender a programar en C++ utilizando Unreal Engine como motor gráfico, lo cual me enseñó a combinar la programación de código en C++ con las posibilidades de programación que presentan los *Blueprints* de su interfaz gráfica.

Respecto a la vertiente matemática de mi PFG, he de decir que me ha resultado muy interesante el estudio de los cuaterniones y, a la vez, motivador, puesto que la temática la planteé yo al descubrir en mi

---

<sup>2</sup>En el Anexo B se presenta un extracto de código fuente real de Unreal Engine, correspondiente a la clase FTransform, en el que puede comprobarse que efectivamente se utilizan los cuaterniones en los motores gráficos para las rotaciones.

estancia en prácticas los ángulos de Euler y enfrentarme a un *Gimbal Lock*. Debo añadir que la ayuda de mi tutor ha sido esencial en ciertos momentos de “frustración” y es pues necesario agradecerle que consiguiera mantenerme motivada.

Espero que este documento haya resultado interesante e ilustrativo al lector, tanto como para mí lo fueron las experiencias que marcaron mi estancia en prácticas, de las que surge el capítulo dos, y el tiempo dedicado a la lectura e investigación sobre los cuaterniones, del que surge el capítulo tres.



# Bibliografía

- [1] HANSON, ANDREW J., *Visualizing quaternions*, Elsevier, San Francisco, 2006.
- [2] GRAY, ALFRED, ABBENA, ELSA & SALAMON, SIMON, *Modern differential geometry of curves and surfaces with Mathematica*, Third edition, Chapman & Hall/CRC, Florida, 2006.
- [3] VAN VERTH, JAMES M. & BISHOP, LARS M., *Essential Mathematics for games and interactive applications*, Second edition, Elsevier, Burlington, 2008.
- [4] SÁNCHEZ MUÑOZ, JOSÉ MANUEL, *Historias de Matemáticas: Hamilton y el Descubrimiento de los Cuaterniones*, Revista de investigación Pensamiento Matemático, octubre de 2011.
- [5] Documentación en línea de Unreal Engine 4, <https://docs.unrealengine.com/> [Consulta: Marzo - Mayo, 2015]
- [6] Código programado por S. Rombauts para una malla procedural en Unreal Engine, <https://github.com/SRombauts/UE4ProceduralMesh> [Consulta: Marzo 2015]



## Anexo A

# Código implementado durante la estancia en prácticas.

El código ejecutable en Unreal Engine se programa en C++. En este lenguaje cada una de las clases necesita siempre dos archivos, cuyas extensiones son .h y .cpp, que respectivamente contienen un *listado* de las cabeceras y propiedades (atributos) de la clase a implementar, y el código fuente de la clase (la implementación en sí de lo detallado en el archivo .h).

A continuación presento los códigos A.1, A.2, A.3, A.4, que respectivamente corresponden, en ese orden, a los archivos .h y .cpp de mis clases implementadas, que son las que definen el aspecto del cubo y sus funciones disponibles: ProceduralCubeActor.h y ProceduralCubeActor.cpp y las relativas a las reacciones del entorno ante las acciones del controlador: CustomPlayerController.h y CustomPlayerController.cpp, que básicamente perciben los clicks y desplazamientos del ratón y determinan su efecto.

Código A.1: ProceduralCubeActor.h

```
1 #pragma once
2
3 #include "NumericLimits.h"
4 #include "GameFramework/Actor.h"
5 #include "ProceduralMeshComponent.h"
6 #include "CustomPlayerController.h"
7 #include "ProceduralCubeActor.generated.h"
8
9 UCLASS()
10 class PROCEDURALMESH_API AProceduralCubeActor : public AActor
11 {
12     GENERATED_UCLASS_BODY()
13
14 public:
15
16     // ----- PROPERTIES ----- \\
17
18     UPROPERTY(BlueprintReadWrite, Category = Materials)
19     TSubobjectPtr<UProceduralMeshComponent> mesh;
```

```

20
21     UPROPERTY(BlueprintReadWrite, Category = Materials)
22     ACustomPlayerController* CustomPController;
23
24     UPROPERTY(BlueprintReadWrite, Category = Materials)
25     bool KeepOnHover;
26
27     UPROPERTY(BlueprintReadWrite, Category = Materials)
28     bool VertexMovementState;
29
30     UPROPERTY(BlueprintReadWrite, Category = Materials)
31     bool CubeFacesEditionState;
32
33     UPROPERTY(BlueprintReadWrite, Category = Materials)
34     FVector p0;
35     UPROPERTY(BlueprintReadWrite, Category = Materials)
36     FVector p1;
37     UPROPERTY(BlueprintReadWrite, Category = Materials)
38     FVector p2;
39     UPROPERTY(BlueprintReadWrite, Category = Materials)
40     FVector p3;
41     UPROPERTY(BlueprintReadWrite, Category = Materials)
42     FVector p4;
43     UPROPERTY(BlueprintReadWrite, Category = Materials)
44     FVector p5;
45     UPROPERTY(BlueprintReadWrite, Category = Materials)
46     FVector p6;
47     UPROPERTY(BlueprintReadWrite, Category = Materials)
48     FVector p7;
49
50     UPROPERTY(BlueprintReadWrite, Category = Materials)
51     FProceduralMeshVertex v0;
52     UPROPERTY(BlueprintReadWrite, Category = Materials)
53     FProceduralMeshVertex v1;
54     UPROPERTY(BlueprintReadWrite, Category = Materials)
55     FProceduralMeshVertex v2;
56     UPROPERTY(BlueprintReadWrite, Category = Materials)
57     FProceduralMeshVertex v3;
58     UPROPERTY(BlueprintReadWrite, Category = Materials)
59     FProceduralMeshVertex v4;
60     UPROPERTY(BlueprintReadWrite, Category = Materials)
61     FProceduralMeshVertex v5;
62     UPROPERTY(BlueprintReadWrite, Category = Materials)
63     FProceduralMeshVertex v6;
64     UPROPERTY(BlueprintReadWrite, Category = Materials)
65     FProceduralMeshVertex v7;
66
67     UPROPERTY(BlueprintReadWrite, Category = Materials)
68     UStaticMeshComponent* V0Sphere;
69     UPROPERTY(BlueprintReadWrite, Category = Materials)
70     UStaticMeshComponent* V0Sphere_Arrow0;
71     UPROPERTY(BlueprintReadWrite, Category = Materials)
72     UStaticMeshComponent* V0Sphere_Arrow1;
73     UPROPERTY(BlueprintReadWrite, Category = Materials)
74     UStaticMeshComponent* V0Sphere_Arrow2;

```

```

75 UPROPERTY(BlueprintReadWrite, Category = Materials)
76 UStaticMeshComponent* V1Sphere;
77 UPROPERTY(BlueprintReadWrite, Category = Materials)
78 UStaticMeshComponent* V1Sphere_Arrow0;
79 UPROPERTY(BlueprintReadWrite, Category = Materials)
80 UStaticMeshComponent* V1Sphere_Arrow1;
81 UPROPERTY(BlueprintReadWrite, Category = Materials)
82 UStaticMeshComponent* V1Sphere_Arrow2;
83 UPROPERTY(BlueprintReadWrite, Category = Materials)
84 UStaticMeshComponent* V2Sphere;
85 UPROPERTY(BlueprintReadWrite, Category = Materials)
86 UStaticMeshComponent* V2Sphere_Arrow0;
87 UPROPERTY(BlueprintReadWrite, Category = Materials)
88 UStaticMeshComponent* V2Sphere_Arrow1;
89 UPROPERTY(BlueprintReadWrite, Category = Materials)
90 UStaticMeshComponent* V2Sphere_Arrow2;
91 UPROPERTY(BlueprintReadWrite, Category = Materials)
92 UStaticMeshComponent* V3Sphere;
93 UPROPERTY(BlueprintReadWrite, Category = Materials)
94 UStaticMeshComponent* V3Sphere_Arrow0;
95 UPROPERTY(BlueprintReadWrite, Category = Materials)
96 UStaticMeshComponent* V3Sphere_Arrow1;
97 UPROPERTY(BlueprintReadWrite, Category = Materials)
98 UStaticMeshComponent* V3Sphere_Arrow2;
99 UPROPERTY(BlueprintReadWrite, Category = Materials)
100 UStaticMeshComponent* V4Sphere;
101 UPROPERTY(BlueprintReadWrite, Category = Materials)
102 UStaticMeshComponent* V4Sphere_Arrow0;
103 UPROPERTY(BlueprintReadWrite, Category = Materials)
104 UStaticMeshComponent* V4Sphere_Arrow1;
105 UPROPERTY(BlueprintReadWrite, Category = Materials)
106 UStaticMeshComponent* V4Sphere_Arrow2;
107 UPROPERTY(BlueprintReadWrite, Category = Materials)
108 UStaticMeshComponent* V5Sphere;
109 UPROPERTY(BlueprintReadWrite, Category = Materials)
110 UStaticMeshComponent* V5Sphere_Arrow0;
111 UPROPERTY(BlueprintReadWrite, Category = Materials)
112 UStaticMeshComponent* V5Sphere_Arrow1;
113 UPROPERTY(BlueprintReadWrite, Category = Materials)
114 UStaticMeshComponent* V5Sphere_Arrow2;
115 UPROPERTY(BlueprintReadWrite, Category = Materials)
116 UStaticMeshComponent* V6Sphere;
117 UPROPERTY(BlueprintReadWrite, Category = Materials)
118 UStaticMeshComponent* V6Sphere_Arrow0;
119 UPROPERTY(BlueprintReadWrite, Category = Materials)
120 UStaticMeshComponent* V6Sphere_Arrow1;
121 UPROPERTY(BlueprintReadWrite, Category = Materials)
122 UStaticMeshComponent* V6Sphere_Arrow2;
123 UPROPERTY(BlueprintReadWrite, Category = Materials)
124 UStaticMeshComponent* V7Sphere;
125 UPROPERTY(BlueprintReadWrite, Category = Materials)
126 UStaticMeshComponent* V7Sphere_Arrow0;
127 UPROPERTY(BlueprintReadWrite, Category = Materials)
128 UStaticMeshComponent* V7Sphere_Arrow1;
129 UPROPERTY(BlueprintReadWrite, Category = Materials)

```

```

130 UStaticMeshComponent* V7Sphere_Arrow2;
131
132 UPROPERTY(BlueprintReadWrite, Category = Materials)
133 UStaticMeshComponent* FrontFaceArrow;
134 UPROPERTY(BlueprintReadWrite, Category = Materials)
135 UStaticMeshComponent* BackFaceArrow;
136 UPROPERTY(BlueprintReadWrite, Category = Materials)
137 UStaticMeshComponent* LeftFaceArrow;
138 UPROPERTY(BlueprintReadWrite, Category = Materials)
139 UStaticMeshComponent* RightFaceArrow;
140 UPROPERTY(BlueprintReadWrite, Category = Materials)
141 UStaticMeshComponent* TopFaceArrow;
142 UPROPERTY(BlueprintReadWrite, Category = Materials)
143 UStaticMeshComponent* BottomFaceArrow;
144
145 UPROPERTY(BlueprintReadWrite, Category = Materials)
146 TArray<AProceduralCubeActor*> ExtrudedCubes;
147
148 // ----- GENERATION FUNCTIONS ----- \\
149
150 UFUNCTION(BlueprintCallable, Category = "Components|ProceduralMesh")
151 )
151 void GenerateCube(FVector StarterP0Location, float XSize, float
152 YSize, float ZSize, FColor VtxsColor, APlayerController*
153 GivenPController, bool IsExtruding);
154
155 UFUNCTION(BlueprintCallable, Category = "Components|ProceduralMesh")
156 )
156 void ModifyStaticMeshComponent(UStaticMeshComponent *
157 GivenComponent, UStaticMesh * GivenStaticMesh, float GivenScale,
158 TArray<FName> GivenTag);
159
160 UFUNCTION(BlueprintCallable, Category = "Components|ProceduralMesh")
161 )
161 void GenerateCubePs(FVector P0Coords, float XSize, float YSize,
162 float ZSize);
163
164 UFUNCTION(BlueprintCallable, Category = "Components|ProceduralMesh")
165 )
165 void GenerateCubeVs();
166
167 UFUNCTION(BlueprintCallable, Category = "Components|ProceduralMesh")
168 )
168 void UpdateVsSpheresLocations();
169
170 UFUNCTION(BlueprintCallable, Category = "Components|ProceduralMesh")
171 )
171 void UpdateFacesArrowsLocationsAndRotations();
172
173 UFUNCTION(BlueprintCallable, Category = "Components|ProceduralMesh")
174 )
174 void UpdateVertexArrowsLocationsAndRotations();
175
176 UFUNCTION(BlueprintCallable, Category = "Components|ProceduralMesh")
177 )

```

```

172     void SetCubeVColors(FColor VertexColor);
173
174     UFUNCTION(BlueprintCallable, Category = "Components|ProceduralMesh"
175         )
175     void GenerateCubeFaces(TArray<FProceduralMeshTriangle> &
176         OutTriangles);
177
177     UFUNCTION(BlueprintCallable, Category = "Components|ProceduralMesh"
178         )
178     void GenerateCubeFace(FProceduralMeshVertex GivenV0,
179         FProceduralMeshVertex GivenV1, FProceduralMeshVertex GivenV2,
180         FProceduralMeshVertex GivenV3, FProceduralMeshTriangle& t1,
181         FProceduralMeshTriangle& t2);
182
182     UFUNCTION(BlueprintCallable, Category = "Components|ProceduralMesh"
183         )
183     int32 ExtrusionFromGivenFaceVertices(AProceduralCubeActor* NewCube,
184         TArray<FProceduralMeshVertex> FaceVertices);
185
185     // ----- VERTEX FUNCTIONS ----- \\
186
186     UFUNCTION(BlueprintCallable, Category = "Components|ProceduralMesh"
187         )
187     FVector FindAndMoveVertex(FVector MovementDirection,
188         FProceduralMeshVertex VertexToMove, TArray<
189         FProceduralMeshTriangle>& CurrentTriangles);
190
190     UFUNCTION(BlueprintCallable, Category = "Components|ProceduralMesh"
191         )
191     void UpdateCubeVertexLocation(FProceduralMeshVertex VertexToUpdate)
192         ;
193
193     UFUNCTION(BlueprintCallable, Category = "Components|ProceduralMesh"
194         )
194     int32 IdentifyFaceFromVertices(FProceduralMeshVertex FVertex0,
195         FProceduralMeshVertex FVertex1, FProceduralMeshVertex FVertex2,
196         FProceduralMeshVertex FVertex3);
197
197     UFUNCTION(BlueprintCallable, Category = "Components|ProceduralMesh"
198         )
198     void MoveVertexAlongWorldAxis(FVector AxisOfMovement,
199         UStaticMeshComponent* ClickedSphere, FProceduralMeshVertex
200         VToMove, float MovementSign);
201
201     UFUNCTION(BlueprintCallable, Category = "Components|ProceduralMesh"
202         )
202     void MoveVertexAlongRotatedAxis(FVector AxisOfMovement,
203         UStaticMeshComponent* ClickedSphere, FProceduralMeshVertex
204         VToMove, float MovementSign);
205
205     // ----- FACES and ARROWS FUNCTIONS ----- \\
206
206     UFUNCTION(BlueprintCallable, Category = "Components|ProceduralMesh"
207         )
207         TArray<FProceduralMeshVertex> MoveFace(float MovementSign,
208

```

```

    TArray<FProceduralMeshVertex> VerticesArray,
    UStaticMeshComponent* FaceArrow);

204
205 UFUNCTION(BlueprintCallable, Category = "Components|ProceduralMesh"
206     )
207 FVector CalculateFaceMiddlePoint(TArray<FProceduralMeshVertex>
208     FaceVertices);

209
210 UFUNCTION(BlueprintCallable, Category = "Components|ProceduralMesh"
211     )
212 TArray<FProceduralMeshVertex> FindFaceVerticesFromArrowLocation(
213     FVector ArrowLocation);

214
215 UFUNCTION(BlueprintCallable, Category = "Components|ProceduralMesh"
216     )
217 FRotator GetOrthogonalFaceDirectionFromFaceVertex(FVector
218     GivenLocation, TArray<FProceduralMeshVertex> VerticesArray);

219
220 // ----- AUX FUNCTIONS ----- \\
221
222 UFUNCTION(BlueprintCallable, Category = "Components|ProceduralMesh"
223     )
224 FVector UnitVector(FVector GivenVector);

225
226 UFUNCTION(BlueprintCallable, Category = "Components|ProceduralMesh"
227     )
228 float EuclideanDistance(FVector P, FVector Q);

229
230 UFUNCTION(BlueprintCallable, Category = "Components|ProceduralMesh"
231     )
232 float VectorModule(FVector GivenVector);

233
234 UFUNCTION(BlueprintCallable, Category = "Components|ProceduralMesh"
235     )
236 FVector CrossProd(FVector U, FVector V);

237
238 UFUNCTION(BlueprintCallable, Category = "Components|ProceduralMesh"
239     )
240 bool VectorContainsElement(TArray<int32> GivenVector, int32
241     GivenElement);

242
243 UFUNCTION(BlueprintCallable, Category = "Components|ProceduralMesh"
244     )
245 FRotator ConvertToPitchRollYawRotator(FVector VToConvert);

246
247 // ----- CUSTOM EVENTS ----- \\
248
249 UFUNCTION(BlueprintNativeEvent, Category = SomeCategory)
250 void ArrowOnClickEvent(UStaticMeshComponent* ClickedArrow, bool

```

```

    KeepMoving, bool KeepExtrMov, float LMBMovDir, float RMBMovDir);

242
243     UFUNCTION()
244     void PlayerOnHover();

245
246     UFUNCTION()
247     void PlayerOnExitHover();

248
249     UFUNCTION()
250     void KeepingOnHover();

251
252 // ----- HIDE FUNCTIONS ----- \\
253
254     UFUNCTION(BlueprintCallable, Category = "Components|ProceduralMesh"
255         )
255     void HideVertexSpheres();

256
257     UFUNCTION(BlueprintCallable, Category = "Components|ProceduralMesh"
258         )
258     void HideFacesArrows();

259
260     UFUNCTION(BlueprintCallable, Category = "Components|ProceduralMesh"
261         )
261     void ShowFacesArrows();

262
263     UFUNCTION(BlueprintCallable, Category = "Components|ProceduralMesh"
264         )
264     void HideSpheresArrows();

265
266     UFUNCTION(BlueprintCallable, Category = "Components|ProceduralMesh"
267         )
267     void HideAllComponents();

268
269     UFUNCTION(BlueprintCallable, Category = "Components|ProceduralMesh"
270         )
270     void InitVertexMovementState(UStaticMeshComponent* SelectedSphere);

271
272     UFUNCTION(BlueprintCallable, Category = "Components|ProceduralMesh"
273         )
273     void QuitVertexMovementState();

274
275     UFUNCTION(BlueprintCallable, Category = "Components|ProceduralMesh"
276         )
276     void UnsetVertexMovementState();

277
278     UFUNCTION(BlueprintCallable, Category = "Components|ProceduralMesh"
279         )
279     void InitCubeFacesEditionState();

280
281     UFUNCTION(BlueprintCallable, Category = "Components|ProceduralMesh"
282         )
282     void QuitCubeFacesEditionState();

283
284     UFUNCTION(BlueprintCallable, Category = "Components|ProceduralMesh"
285         )

```

```

285     void UnsetCubeFacesEditionState();
286
287     // ----- OVERRIDE FUNCTIONS ----- \\
288
289     void Tick(float deltaSeconds) override;
290 };
```

Código A.2: ProceduralCubeActor.cpp

```

1 #include "ProceduralMesh.h"
2 #include "ProceduralCubeActor.h"
3
4 AProceduralCubeActor::AProceduralCubeActor(const class
5     FPostConstructInitializeProperties& PCIP)
6     : Super(PCIP)
7 {
8     this->SetActorTickEnabled(true);
9
10    KeepOnHover = false;
11    VertexMovementState = false;
12    CubeFacesEditionState = false;
13
14    // Define cube mesh and set it as cube root component
15    mesh = PCIP.CreateDefaultSubobject<UProceduralMeshComponent>(this,
16        TEXT("ProceduralCube"));
17    RootComponent = mesh;
18
19    // Apply a simple material directly using the VertexColor as its
20    // BaseColor input
21    static ConstructorHelpers::FObjectFinder<UMaterialInterface>
22        Material(TEXT("Material'/Game/Materials/BaseColor.BaseColor'"));
23
24    // Apply a real material with textures, using UVs
25    mesh->SetMaterial(0, Material.Object);
26
27    // Define SphereMeshComponents and ArrowMeshComponents
28    static ConstructorHelpers::FObjectFinder<UStaticMesh>
29        SphereStaticMesh(TEXT("/Game/Sphere_Brush_StaticMesh.
30        Sphere_Brush_StaticMesh"));
31    static ConstructorHelpers::FObjectFinder<UStaticMesh>
32        ArrowStaticMesh(TEXT("/Game/SM_Arrow3.SM_Arrow3"));
33    float SpheresScale = 0.5; float FaceArrowsScale = 0.2; float
34    VertexArrowScale = 0.3;
35    TArray< FName > VertexSphereTag, FaceArrowTag, VertexArrowTag;
36    VertexSphereTag.Add("VertexSphere"); FaceArrowTag.Add("FaceArrow");
37        VertexArrowTag.Add("VertexArrow");
38
39    // Set vertexes spheres
40    V0Sphere = PCIP.CreateDefaultSubobject<UStaticMeshComponent>(this,
41        TEXT("V0Sphere")); ModifyStaticMeshComponent(V0Sphere,
42        SphereStaticMesh.Object, SpheresScale, VertexSphereTag);
43    V1Sphere = PCIP.CreateDefaultSubobject<UStaticMeshComponent>(this,
44        TEXT("V1Sphere")); ModifyStaticMeshComponent(V1Sphere,
45        SphereStaticMesh.Object, SpheresScale, VertexSphereTag);
```

```

33     V2Sphere = PCIP.CreateDefaultSubobject<UStaticMeshComponent>(this,
34         TEXT("V2Sphere")); ModifyStaticMeshComponent(V2Sphere,
35             SphereStaticMesh.Object, SpheresScale, VertexSphereTag);
36     V3Sphere = PCIP.CreateDefaultSubobject<UStaticMeshComponent>(this,
37         TEXT("V3Sphere")); ModifyStaticMeshComponent(V3Sphere,
38             SphereStaticMesh.Object, SpheresScale, VertexSphereTag);
39     V4Sphere = PCIP.CreateDefaultSubobject<UStaticMeshComponent>(this,
40         TEXT("V4Sphere")); ModifyStaticMeshComponent(V4Sphere,
41             SphereStaticMesh.Object, SpheresScale, VertexSphereTag);
42     V5Sphere = PCIP.CreateDefaultSubobject<UStaticMeshComponent>(this,
43         TEXT("V5Sphere")); ModifyStaticMeshComponent(V5Sphere,
44             SphereStaticMesh.Object, SpheresScale, VertexSphereTag);
45     V6Sphere = PCIP.CreateDefaultSubobject<UStaticMeshComponent>(this,
46         TEXT("V6Sphere")); ModifyStaticMeshComponent(V6Sphere,
47             SphereStaticMesh.Object, SpheresScale, VertexSphereTag);
48     V7Sphere = PCIP.CreateDefaultSubobject<UStaticMeshComponent>(this,
49         TEXT("V7Sphere")); ModifyStaticMeshComponent(V7Sphere,
50             SphereStaticMesh.Object, SpheresScale, VertexSphereTag);

51     // Faces arrows
52     FrontFaceArrow = PCIP.CreateDefaultSubobject<UStaticMeshComponent>(
53         this, TEXT("FrontFaceArrow")); ModifyStaticMeshComponent(
54             FrontFaceArrow, ArrowStaticMesh.Object, FaceArrowsScale,
55             FaceArrowTag);
56     BackFaceArrow = PCIP.CreateDefaultSubobject<UStaticMeshComponent>(
57         this, TEXT("BackFaceArrow")); ModifyStaticMeshComponent(
58             BackFaceArrow, ArrowStaticMesh.Object, FaceArrowsScale,
59             FaceArrowTag);
60     LeftFaceArrow = PCIP.CreateDefaultSubobject<UStaticMeshComponent>(
61         this, TEXT("LeftFaceArrow")); ModifyStaticMeshComponent(
62             LeftFaceArrow, ArrowStaticMesh.Object, FaceArrowsScale,
63             FaceArrowTag);
64     RightFaceArrow = PCIP.CreateDefaultSubobject<UStaticMeshComponent>(
65         this, TEXT("RightFaceArrow")); ModifyStaticMeshComponent(
66             RightFaceArrow, ArrowStaticMesh.Object, FaceArrowsScale,
67             FaceArrowTag);
68     TopFaceArrow = PCIP.CreateDefaultSubobject<UStaticMeshComponent>(
69         this, TEXT("TopFaceArrow")); ModifyStaticMeshComponent(
70             TopFaceArrow, ArrowStaticMesh.Object, FaceArrowsScale,
71             FaceArrowTag);
72     BottomFaceArrow = PCIP.CreateDefaultSubobject<UStaticMeshComponent>(
73         this, TEXT("BottomFaceArrow")); ModifyStaticMeshComponent(
74             BottomFaceArrow, ArrowStaticMesh.Object, FaceArrowsScale,
75             FaceArrowTag);

76     // Vertex arrows
77     V0Sphere_Arrow0 = PCIP.CreateDefaultSubobject<UStaticMeshComponent>(
78         this, TEXT("V0Sphere_Arrow0")); ModifyStaticMeshComponent(
79             V0Sphere_Arrow0, ArrowStaticMesh.Object, VertexArrowScale,
80             VertexArrowTag);
81     V0Sphere_Arrow1 = PCIP.CreateDefaultSubobject<UStaticMeshComponent>(
82         this, TEXT("V0Sphere_Arrow1")); ModifyStaticMeshComponent(
83             V0Sphere_Arrow1, ArrowStaticMesh.Object, VertexArrowScale,
84             VertexArrowTag);
85     V0Sphere_Arrow2 = PCIP.CreateDefaultSubobject<UStaticMeshComponent>

```

```

51
52     >(this, TEXT("V0Sphere_Arrow2")); ModifyStaticMeshComponent(
53         V0Sphere_Arrow2, ArrowStaticMesh.Object, VertexArrowScale,
54         VertexArrowTag);
55     V1Sphere_Arrow0 = PCIP.CreateDefaultSubobject<UStaticMeshComponent>
56         (this, TEXT("V1Sphere_Arrow0")); ModifyStaticMeshComponent(
57             V1Sphere_Arrow0, ArrowStaticMesh.Object, VertexArrowScale,
58             VertexArrowTag);
59     V1Sphere_Arrow1 = PCIP.CreateDefaultSubobject<UStaticMeshComponent>
60         (this, TEXT("V1Sphere_Arrow1")); ModifyStaticMeshComponent(
61             V1Sphere_Arrow1, ArrowStaticMesh.Object, VertexArrowScale,
62             VertexArrowTag);
63     V1Sphere_Arrow2 = PCIP.CreateDefaultSubobject<UStaticMeshComponent>
64         (this, TEXT("V1Sphere_Arrow2")); ModifyStaticMeshComponent(
65             V1Sphere_Arrow2, ArrowStaticMesh.Object, VertexArrowScale,
66             VertexArrowTag);
67     V2Sphere_Arrow0 = PCIP.CreateDefaultSubobject<UStaticMeshComponent>
68         (this, TEXT("V2Sphere_Arrow0")); ModifyStaticMeshComponent(
69             V2Sphere_Arrow0, ArrowStaticMesh.Object, VertexArrowScale,
70             VertexArrowTag);
71     V2Sphere_Arrow1 = PCIP.CreateDefaultSubobject<UStaticMeshComponent>
72         (this, TEXT("V2Sphere_Arrow1")); ModifyStaticMeshComponent(
73             V2Sphere_Arrow1, ArrowStaticMesh.Object, VertexArrowScale,
74             VertexArrowTag);
75     V2Sphere_Arrow2 = PCIP.CreateDefaultSubobject<UStaticMeshComponent>
76         (this, TEXT("V2Sphere_Arrow2")); ModifyStaticMeshComponent(
77             V2Sphere_Arrow2, ArrowStaticMesh.Object, VertexArrowScale,
78             VertexArrowTag);
79     V3Sphere_Arrow0 = PCIP.CreateDefaultSubobject<UStaticMeshComponent>
80         (this, TEXT("V3Sphere_Arrow0")); ModifyStaticMeshComponent(
81             V3Sphere_Arrow0, ArrowStaticMesh.Object, VertexArrowScale,
82             VertexArrowTag);
83     V3Sphere_Arrow1 = PCIP.CreateDefaultSubobject<UStaticMeshComponent>
84         (this, TEXT("V3Sphere_Arrow1")); ModifyStaticMeshComponent(
85             V3Sphere_Arrow1, ArrowStaticMesh.Object, VertexArrowScale,
86             VertexArrowTag);
87     V3Sphere_Arrow2 = PCIP.CreateDefaultSubobject<UStaticMeshComponent>
88         (this, TEXT("V3Sphere_Arrow2")); ModifyStaticMeshComponent(
89             V3Sphere_Arrow2, ArrowStaticMesh.Object, VertexArrowScale,
90             VertexArrowTag);
91     V4Sphere_Arrow0 = PCIP.CreateDefaultSubobject<UStaticMeshComponent>
92         (this, TEXT("V4Sphere_Arrow0")); ModifyStaticMeshComponent(
93             V4Sphere_Arrow0, ArrowStaticMesh.Object, VertexArrowScale,
94             VertexArrowTag);
95     V4Sphere_Arrow1 = PCIP.CreateDefaultSubobject<UStaticMeshComponent>
96         (this, TEXT("V4Sphere_Arrow1")); ModifyStaticMeshComponent(
97             V4Sphere_Arrow1, ArrowStaticMesh.Object, VertexArrowScale,
98             VertexArrowTag);
99     V4Sphere_Arrow2 = PCIP.CreateDefaultSubobject<UStaticMeshComponent>
100        (this, TEXT("V4Sphere_Arrow2")); ModifyStaticMeshComponent(
101            V4Sphere_Arrow2, ArrowStaticMesh.Object, VertexArrowScale,
102            VertexArrowTag);
103    V5Sphere_Arrow0 = PCIP.CreateDefaultSubobject<UStaticMeshComponent>
104        (this, TEXT("V5Sphere_Arrow0")); ModifyStaticMeshComponent(
105            V5Sphere_Arrow0, ArrowStaticMesh.Object, VertexArrowScale,
106            VertexArrowTag);

```

```

65     V5Sphere_Arrow1 = PCIP.CreateDefaultSubobject<UStaticMeshComponent>(this, TEXT("V5Sphere_Arrow1")); ModifyStaticMeshComponent(V5Sphere_Arrow1, ArrowStaticMesh.Object, VertexArrowScale, VertexArrowTag);
66     V5Sphere_Arrow2 = PCIP.CreateDefaultSubobject<UStaticMeshComponent>(this, TEXT("V5Sphere_Arrow2")); ModifyStaticMeshComponent(V5Sphere_Arrow2, ArrowStaticMesh.Object, VertexArrowScale, VertexArrowTag);
67     V6Sphere_Arrow0 = PCIP.CreateDefaultSubobject<UStaticMeshComponent>(this, TEXT("V6Sphere_Arrow0")); ModifyStaticMeshComponent(V6Sphere_Arrow0, ArrowStaticMesh.Object, VertexArrowScale, VertexArrowTag);
68     V6Sphere_Arrow1 = PCIP.CreateDefaultSubobject<UStaticMeshComponent>(this, TEXT("V6Sphere_Arrow1")); ModifyStaticMeshComponent(V6Sphere_Arrow1, ArrowStaticMesh.Object, VertexArrowScale, VertexArrowTag);
69     V6Sphere_Arrow2 = PCIP.CreateDefaultSubobject<UStaticMeshComponent>(this, TEXT("V6Sphere_Arrow2")); ModifyStaticMeshComponent(V6Sphere_Arrow2, ArrowStaticMesh.Object, VertexArrowScale, VertexArrowTag);
70     V7Sphere_Arrow0 = PCIP.CreateDefaultSubobject<UStaticMeshComponent>(this, TEXT("V7Sphere_Arrow0")); ModifyStaticMeshComponent(V7Sphere_Arrow0, ArrowStaticMesh.Object, VertexArrowScale, VertexArrowTag);
71     V7Sphere_Arrow1 = PCIP.CreateDefaultSubobject<UStaticMeshComponent>(this, TEXT("V7Sphere_Arrow1")); ModifyStaticMeshComponent(V7Sphere_Arrow1, ArrowStaticMesh.Object, VertexArrowScale, VertexArrowTag);
72     V7Sphere_Arrow2 = PCIP.CreateDefaultSubobject<UStaticMeshComponent>(this, TEXT("V7Sphere_Arrow2")); ModifyStaticMeshComponent(V7Sphere_Arrow2, ArrowStaticMesh.Object, VertexArrowScale, VertexArrowTag);

73     HideAllComponents();
74 }
75
76
77 void AProceduralCubeActor::ModifyStaticMeshComponent(UStaticMeshComponent* GivenComponent, UStaticMesh* GivenStaticMesh, float GivenScale, TArray< FName> GivenTag)
78 {
79     GivenComponent->StaticMesh = GivenStaticMesh;
80     GivenComponent->SetWorldScale3D(FVector(GivenScale, GivenScale, GivenScale));
81     GivenComponent->AttachTo(mesh);
82     GivenComponent->ComponentTags = GivenTag;
83 }
84
85 void AProceduralCubeActor::GenerateCube(FVector StarterP0Location, float XSize, float YSize, float ZSize, FColor VtxsColor, APlayerController* GivenPController, bool IsExtruding)
86 {
87     // Enable cursor on hover
88     this->OnBeginCursorOver.AddDynamic(this, &AProceduralCubeActor::PlayerOnHover);
89     this->OnEndCursorOver.AddDynamic(this, &AProceduralCubeActor::
```

```

        PlayerOnExitHover);

90
91     // Set Player Controller
92     CustomPController = Cast<ACustomPlayerController>(GivenPController)
93     ;
94
95     // P variables
96     if (!IsExtruding) { GenerateCubePs(StarterP0Location, XSize, YSize,
97         ZSize); }

98     // Vertexes
99     GenerateCubeVs();
100    SetCubeVColors(VtxsColor);
101    UpdateVsSpheresLocations();
102    UpdateVertexArrowsLocationsAndRotations();

103    // Faces and Mesh triangles
104    TArray<FProceduralMeshTriangle> OutTriangles;
105    GenerateCubeFaces(OutTriangles);
106    UpdateFacesArrowsLocationsAndRotations();

107    // Update cube image at World
108    mesh->SetProceduralMeshTriangles(OutTriangles);
109
110 }

111
112 void AProceduralCubeActor::GenerateCubePs(FVector P0Coords, float XSize,
113     float YSize, float ZSize)
114 {
115     p0 = P0Coords + FVector(0.f, 0.f, 0.f);           p1 =
116     P0Coords + FVector(0.f, 0.f, ZSize);             p3 =
117     p2 = P0Coords + FVector(XSize, 0.f, ZSize);       p5 =
118     P0Coords + FVector(XSize, 0.f, 0.f);             p7 =
119     p4 = P0Coords + FVector(XSize, YSize, 0.f);       p0Coords +
120     P0Coords + FVector(XSize, YSize, ZSize);          p2 =
121     p6 = P0Coords + FVector(0.f, YSize, ZSize);       p4 =
122     P0Coords + FVector(0.f, YSize, 0.f);             p6 =
123
124 }

125
126 void AProceduralCubeActor::GenerateCubeVs()
127 {
128     v0.Position = p0; v0.Id = 0;      v1.Position = p1; v1.Id = 1;
129     v2.Position = p2; v2.Id = 2;      v3.Position = p3; v3.Id = 3;
130     v4.Position = p4; v4.Id = 4;      v5.Position = p5; v5.Id = 5;
131     v6.Position = p6; v6.Id = 6;      v7.Position = p7; v7.Id = 7;
132
133 }

134
135 void AProceduralCubeActor::UpdateVsSpheresLocations()
136 {
137     V0Sphere->SetRelativeLocation(p0);      V1Sphere->
138     SetRelativeLocation(p1);
139     V2Sphere->SetRelativeLocation(p2);      V3Sphere->
140     SetRelativeLocation(p3);
141     V4Sphere->SetRelativeLocation(p4);      V5Sphere->
142     SetRelativeLocation(p5);
143     V6Sphere->SetRelativeLocation(p6);      V7Sphere->

```

```

        SetRelativeLocation(p7);
134    }

135
void AProceduralCubeActor::UpdateFacesArrowsLocationsAndRotations()
136 {
137     // Set cube faces vertexes arrays
138     TArray<FProceduralMeshVertex> FrontFace, BackFace, LeftFace,
139     RightFace, TopFace, BottomFace;
140     FrontFace.Add(v0);
141     FrontFace.Add(v2);
142     BackFace.Add(v4);
143     BackFace.Add(v6);
144     LeftFace.Add(v7);
145     LeftFace.Add(v1);
146     RightFace.Add(v3);
147     RightFace.Add(v5);
148     TopFace.Add(v1);
149     TopFace.Add(v5);
150     BottomFace.Add(v3);
151     BottomFace.Add(v7);

152     // Update Faces Arrows locations and rotations
153     FVector FrontFaceArrowLocation = CalculateFaceMiddlePoint(FrontFace
154         );
155     FrontFaceArrow->SetRelativeLocationAndRotation(
156         FrontFaceArrowLocation, FRotator(90, 90, 90));
157
158     FVector BackFaceArrowLocation = CalculateFaceMiddlePoint(BackFace);
159     BackFaceArrow->SetRelativeLocationAndRotation(BackFaceArrowLocation
160         , FRotator(-90, -90, -90));
161
162     FVector LeftFaceArrowLocation = CalculateFaceMiddlePoint(LeftFace);
163     LeftFaceArrow->SetRelativeLocationAndRotation(LeftFaceArrowLocation
164         , FRotator(0, -90, 0));
165
166     FVector RightFaceArrowLocation = CalculateFaceMiddlePoint(RightFace
167         );
168     RightFaceArrow->SetRelativeLocationAndRotation(
169         RightFaceArrowLocation, FRotator(0, 90, 0));
170
171     FVector TopFaceArrowLocation = CalculateFaceMiddlePoint(TopFace);
172     TopFaceArrow->SetRelativeLocationAndRotation(TopFaceArrowLocation,
173         FRotator(0, 0, 90));
174
175     FVector BottomFaceArrowLocation = CalculateFaceMiddlePoint(
176         BottomFace);
177     BottomFaceArrow->SetRelativeLocationAndRotation(
178         BottomFaceArrowLocation, FRotator(0, 0, -90));
179 }

180
void AProceduralCubeActor::UpdateVertexArrowsLocationsAndRotations()
181 {
182     // Set 'natural' directions
183     FRotator XDirection = FRotator::MakeFromEuler(FVector(90, 0, 0));
184     FRotator YDirection = FRotator::MakeFromEuler(FVector(0, 90, 0));

```

```

172     FRotator ZDirection = FRotator::MakeFromEuler(FVector(0, 0, 90));
173
174     // Update Vertex Arrows locations
175     V0Sphere_Arrow0->SetRelativeLocation(p0);
176     V0Sphere_Arrow1->SetRelativeLocation(p0);
177     V0Sphere_Arrow2->SetRelativeLocation(p0);
178     V0Sphere_Arrow0->SetWorldRotation(XDirection);   V0Sphere_Arrow1->
179     SetWorldRotation(YDirection);   V0Sphere_Arrow2->SetWorldRotation
180     (ZDirection);
181
182     V1Sphere_Arrow0->SetRelativeLocation(p1);
183     V1Sphere_Arrow1->SetRelativeLocation(p1);
184     V1Sphere_Arrow2->SetRelativeLocation(p1);
185     V1Sphere_Arrow0->SetWorldRotation(XDirection);   V1Sphere_Arrow1->
186     SetWorldRotation(YDirection);   V1Sphere_Arrow2->SetWorldRotation
187     (ZDirection);
188
189     V2Sphere_Arrow0->SetRelativeLocation(p2);
190     V2Sphere_Arrow1->SetRelativeLocation(p2);
191     V2Sphere_Arrow2->SetRelativeLocation(p2);
192     V2Sphere_Arrow0->SetWorldRotation(XDirection);   V2Sphere_Arrow1->
193     SetWorldRotation(YDirection);   V2Sphere_Arrow2->SetWorldRotation
194     (ZDirection);
195
196     V3Sphere_Arrow0->SetRelativeLocation(p3);
197     V3Sphere_Arrow1->SetRelativeLocation(p3);
198     V3Sphere_Arrow2->SetRelativeLocation(p3);
199     V3Sphere_Arrow0->SetWorldRotation(XDirection);   V3Sphere_Arrow1->
200     SetWorldRotation(YDirection);   V3Sphere_Arrow2->SetWorldRotation
201     (ZDirection);
202
203     V4Sphere_Arrow0->SetRelativeLocation(p4);
204     V4Sphere_Arrow1->SetRelativeLocation(p4);
205     V4Sphere_Arrow2->SetRelativeLocation(p4);
206     V4Sphere_Arrow0->SetWorldRotation(XDirection);   V4Sphere_Arrow1->
207     SetWorldRotation(YDirection);   V4Sphere_Arrow2->SetWorldRotation
208     (ZDirection);
209
210     V5Sphere_Arrow0->SetRelativeLocation(p5);
211     V5Sphere_Arrow1->SetRelativeLocation(p5);
212     V5Sphere_Arrow2->SetRelativeLocation(p5);
213     V5Sphere_Arrow0->SetWorldRotation(XDirection);   V5Sphere_Arrow1->
214     SetWorldRotation(YDirection);   V5Sphere_Arrow2->SetWorldRotation
215     (ZDirection);
216
217     V6Sphere_Arrow0->SetRelativeLocation(p6);
218     V6Sphere_Arrow1->SetRelativeLocation(p6);
219     V6Sphere_Arrow2->SetRelativeLocation(p6);
220     V6Sphere_Arrow0->SetWorldRotation(XDirection);   V6Sphere_Arrow1->
221     SetWorldRotation(YDirection);   V6Sphere_Arrow2->SetWorldRotation
222     (ZDirection);
223
224     V7Sphere_Arrow0->SetRelativeLocation(p7);
225     V7Sphere_Arrow1->SetRelativeLocation(p7);
226     V7Sphere_Arrow2->SetRelativeLocation(p7);

```

```

197     V7Sphere_Arrow0->SetWorldRotation(XDirection);  V7Sphere_Arrow1->
198     SetWorldRotation(YDirection);    V7Sphere_Arrow2->SetWorldRotation
199     (ZDirection);
200 }
201
202 void AProceduralCubeActor::SetCubeVColors(FColor VertexColor)
203 {
204     v0.Color = v1.Color = v2.Color = v3.Color = v4.Color = v5.Color =
205     v6.Color = v7.Color = VertexColor;
206 }
207
208 void AProceduralCubeActor::GenerateCubeFaces(TArray<FProceduralMeshTriangle
209 > & OutTriangles)
210 {
211     FProceduralMeshTriangle t1, t2;
212
213     // front face
214     GenerateCubeFace(v0, v1, v2, v3, t1, t2);           OutTriangles.Add(t1
215     );   OutTriangles.Add(t2);
216
217     // back face
218     GenerateCubeFace(v4, v5, v6, v7, t1, t2);           OutTriangles.Add(t1
219     );   OutTriangles.Add(t2);
220
221     // left face
222     GenerateCubeFace(v7, v6, v1, v0, t1, t2);           OutTriangles.Add(t1
223     );   OutTriangles.Add(t2);
224
225     // right face
226     GenerateCubeFace(v3, v2, v5, v4, t1, t2);           OutTriangles.Add(t1
227     );   OutTriangles.Add(t2);
228
229     // top face
230     GenerateCubeFace(v1, v6, v5, v2, t1, t2);           OutTriangles.Add(t1
231     );   OutTriangles.Add(t2);
232
233     // bottom face
234     GenerateCubeFace(v3, v4, v7, v0, t1, t2);           OutTriangles.Add(t1
235     );   OutTriangles.Add(t2);
236 }
237
238 void AProceduralCubeActor::GenerateCubeFace(FProceduralMeshVertex GivenV0,
239     FProceduralMeshVertex GivenV1, FProceduralMeshVertex GivenV2,
240     FProceduralMeshVertex GivenV3, FProceduralMeshTriangle& t1,
241     FProceduralMeshTriangle& t2)
242 {
243     // Set vertexes components U, V
244     GivenV0.U = 0.f;           GivenV1.U = 0.f;           GivenV2.U = 1.f;
245     GivenV3.U = 1.f;
246     GivenV0.V = 0.f;           GivenV1.V = 1.f;           GivenV2.V = 1.f;
247     GivenV3.V = 0.f;
248
249     // Face triangle t1
250     t1.Vertex0 = GivenV0;    t1.Vertex1 = GivenV1;    t1.Vertex2 =
251     GivenV2;

```

```

236     // Face triangle t2
237     t2.Vertex0 = GivenV0;    t2.Vertex1 = GivenV2;    t2.Vertex2 =
238         GivenV3;
239 }
240
241 int32 AProceduralCubeActor::ExtrusionFromGivenFaceVertexes(
242     AProceduralCubeActor* NewCube, TArray<FProceduralMeshVertex>
243     FaceVertexes)
244 {
245     // Set new cube location and rotation (the same that its parent
246     // cube has)
247     NewCube->SetActorRotation(this->GetActorRotation());
248     NewCube->SetActorLocation(this->GetActorLocation());
249
250     // The extruded cube will have its parent cube edges sizes except
251     // one of them which will be smaller (the one in the orthogonal
252     // face direction) in order to extrude a smaller cube
253     FVector ParentEdgesSizes = FVector(abs(p3.X - p0.X), abs(p7.Y - p0.
254         Y), abs(p1.Z - p0.Z));
255     float NewCubeSize = 10;
256     FVector CrossProdVector = UnitVector(CrossProd(FaceVertexes[1].
257         Position - FaceVertexes[0].Position, FaceVertexes[2].Position -
258         FaceVertexes[0].Position));
259     FVector NewCubeEdgesSizes = ParentEdgesSizes - ParentEdgesSizes *
260         FVector(abs(CrossProdVector[0]), abs(CrossProdVector[1]), abs(
261             CrossProdVector[2])) + NewCubeSize * FVector(abs(CrossProdVector
262                 [0]), abs(CrossProdVector[1]), abs(CrossProdVector[2]));
263
264     // Integer representing which arrow will be moved after extruding (from 0 to 5)
265     int32 ArrowIdToMoveAfterExtruding = IdentifyFaceFromVertexes(
266         FaceVertexes[0], FaceVertexes[1], FaceVertexes[2], FaceVertexes
267         [3]);
268
269     // Calculate new cube P0 coordinates
270     FVector NewCubeP0Coords, NewCubeP1Coords, NewCubeP2Coords,
271         NewCubeP3Coords, NewCubeP4Coords, NewCubeP5Coords,
272         NewCubeP6Coords, NewCubeP7Coords;
273
274     // Calculate new cube p's coordinates
275     switch (ArrowIdToMoveAfterExtruding)
276     {
277         // Front face
278         case 0:
279             NewCube->p0 = FVector(p0.X, p0.Y -
280                 NewCubeEdgesSizes[1], p0.Z);
281             NewCube->p1 = FVector(p1.X, p1.Y -
282                 NewCubeEdgesSizes[1], p1.Z);
283             NewCube->p2 = FVector(p2.X, p2.Y -
284                 NewCubeEdgesSizes[1], p2.Z);
285             NewCube->p3 = FVector(p3.X, p3.Y -
286                 NewCubeEdgesSizes[1], p3.Z);
287             NewCube->p4 = p3;
288             NewCube->p5 = p2;

```

```

270             NewCube->p6 = p1;
271             NewCube->p7 = p0;
272             break;
273
274         // Back face
275         case 1:
276             NewCube->p0 = p7;
277             NewCube->p1 = p6;
278             NewCube->p2 = p5;
279             NewCube->p3 = p4;
280             NewCube->p4 = FVector(p4.X, p4.Y +
281                                     NewCubeEdgesSizes[1], p4.Z);
282             NewCube->p5 = FVector(p5.X, p5.Y +
283                                     NewCubeEdgesSizes[1], p5.Z);
284             NewCube->p6 = FVector(p6.X, p6.Y +
285                                     NewCubeEdgesSizes[1], p6.Z);
286             NewCube->p7 = FVector(p7.X, p7.Y +
287                                     NewCubeEdgesSizes[1], p7.Z);
288             break;
289
290         // Left face
291         case 2:
292             NewCube->p0 = FVector(p0.X - NewCubeEdgesSizes[0],
293                                     p0.Y, p0.Z);
294             NewCube->p1 = FVector(p1.X - NewCubeEdgesSizes[0],
295                                     p1.Y, p1.Z);
296             NewCube->p2 = p1;
297             NewCube->p3 = p0;
298             NewCube->p4 = p7;
299             NewCube->p5 = p6;
300             NewCube->p6 = FVector(p6.X - NewCubeEdgesSizes[0],
301                                     p6.Y, p6.Z);
302             NewCube->p7 = FVector(p7.X - NewCubeEdgesSizes[0],
303                                     p7.Y, p7.Z);
304             break;
305
306         // Right face
307         case 3:
308             NewCube->p0 = p3;
309             NewCube->p1 = p2;
310             NewCube->p2 = FVector(p2.X + NewCubeEdgesSizes[0],
311                                     p2.Y, p2.Z);
312             NewCube->p3 = FVector(p3.X + NewCubeEdgesSizes[0],
313                                     p3.Y, p3.Z);
314             NewCube->p4 = FVector(p4.X + NewCubeEdgesSizes[0],
315                                     p4.Y, p4.Z);
316             NewCube->p5 = FVector(p5.X + NewCubeEdgesSizes[0],
317                                     p5.Y, p5.Z);
318             NewCube->p6 = p5;
319             NewCube->p7 = p4;
320             break;
321
322         // Top face
323         case 4:
324             NewCube->p0 = p1;

```

```

313         NewCube->p1 = FVector(p1.X, p1.Y, p1.Z +
314             NewCubeEdgesSizes[2]);
315         NewCube->p2 = FVector(p2.X, p2.Y, p2.Z +
316             NewCubeEdgesSizes[2]);
317         NewCube->p3 = p2;
318         NewCube->p4 = p5;
319         NewCube->p5 = FVector(p5.X, p5.Y, p5.Z +
320             NewCubeEdgesSizes[2]);
321         NewCube->p6 = FVector(p6.X, p6.Y, p6.Z +
322             NewCubeEdgesSizes[2]);
323         NewCube->p7 = p6;
324         break;
325
326     // Bottom face
327     case 5:
328         NewCube->p0 = FVector(p0.X, p0.Y, p0.Z -
329             NewCubeEdgesSizes[2]);
330         NewCube->p1 = p0;
331         NewCube->p2 = p3;
332         NewCube->p3 = FVector(p3.X, p3.Y, p3.Z -
333             NewCubeEdgesSizes[2]);
334         NewCube->p4 = FVector(p4.X, p4.Y, p4.Z -
335             NewCubeEdgesSizes[2]);
336         NewCube->p5 = p4;
337         NewCube->p6 = p7;
338         NewCube->p7 = FVector(p7.X, p7.Y, p7.Z -
339             NewCubeEdgesSizes[2]);
340         break;
341
342     default:
343         break;
344     }
345
346     // Generate new cube
347     NewCube->GenerateCube(NewCubeP0Coords, NewCubeEdgesSizes[0],
348         NewCubeEdgesSizes[1], NewCubeEdgesSizes[2], FColor::Red,
349         CustomPController, true);
350
351     // Add new cube to parent's cube extruded cubes list
352     ExtrudedCubes.Add(NewCube);
353
354     NewCube->ShowFacesArrows();
355
356     // Return integer representing the arrow to move after creating the
357     // new cube
358     return ArrowIdToMoveAfterExtruding;
359 }
360
361 FVector AProceduralCubeActor::FindAndMoveVertex(FVector MovementDirection,
362     FProceduralMeshVertex VertexToMove, TArray<FProceduralMeshTriangle>&
363     CurrentTriangles)
364 {
365     FVector NewVertexPosition = VertexToMove.Position;
366
367     bool found = false;

```

```

355     for (int i = 0; i < CurrentTriangles.Num(); i++)
356     {
357         if (CurrentTriangles[i].Vertex0.Id == VertexToMove.Id)
358         {
359             if (!found) { found = true; NewVertexPosition =
360                         CurrentTriangles[i].Vertex0.Position +
361                         MovementDirection; }
362             CurrentTriangles[i].Vertex0.Position =
363                         NewVertexPosition;
364         }
365         else if (CurrentTriangles[i].Vertex1.Id == VertexToMove.Id)
366         {
367             if (!found) { found = true; NewVertexPosition =
368                         CurrentTriangles[i].Vertex1.Position +
369                         MovementDirection; }
370             CurrentTriangles[i].Vertex1.Position =
371                         NewVertexPosition;
372         }
373         else if (CurrentTriangles[i].Vertex2.Id == VertexToMove.Id)
374         {
375             if (!found) { found = true; NewVertexPosition =
376                         CurrentTriangles[i].Vertex2.Position +
377                         MovementDirection; }
378             CurrentTriangles[i].Vertex2.Position =
379                         NewVertexPosition;
380         }
381     }
382     VertexToMove.Position = NewVertexPosition;
383     UpdateCubeVertexLocation(VertexToMove);
384     UpdateVertexArrowsLocationsAndRotations();
385     UpdateFacesArrowsLocationsAndRotations();
386     return NewVertexPosition;
387 }

388 void AProceduralCubeActor::UpdateCubeVertexLocation(FProceduralMeshVertex
389     VertexToUpdate)
390 {
391     if (v0.Id == VertexToUpdate.Id)           { v0.Position =
392         VertexToUpdate.Position; p0 = VertexToUpdate.Position; }
393     else if (v1.Id == VertexToUpdate.Id) { v1.Position = VertexToUpdate
394         .Position; p1 = VertexToUpdate.Position; }
395     else if (v2.Id == VertexToUpdate.Id) { v2.Position = VertexToUpdate
396         .Position; p2 = VertexToUpdate.Position; }
397     else if (v3.Id == VertexToUpdate.Id) { v3.Position = VertexToUpdate
398         .Position; p3 = VertexToUpdate.Position; }
399     else if (v4.Id == VertexToUpdate.Id) { v4.Position = VertexToUpdate
400         .Position; p4 = VertexToUpdate.Position; }
401     else if (v5.Id == VertexToUpdate.Id) { v5.Position = VertexToUpdate
402         .Position; p5 = VertexToUpdate.Position; }
403     else if (v6.Id == VertexToUpdate.Id) { v6.Position = VertexToUpdate
404         .Position; p6 = VertexToUpdate.Position; }
405     else if (v7.Id == VertexToUpdate.Id) { v7.Position = VertexToUpdate
406         .Position; p7 = VertexToUpdate.Position; }
407     UpdateVsSpheresLocations();

```

```

392     UpdateVertexArrowsLocationsAndRotations();
393 }
394
395 int32 AProceduralCubeActor::IdentifyFaceFromVertxes(FProceduralMeshVertex
396     FVertex0, FProceduralMeshVertex FVertex1, FProceduralMeshVertex FVertex2
397     , FProceduralMeshVertex FVertex3)
398 {
399     // Set cube faces vertexes arrays
400     TArray<int32> FrontFace;           FrontFace.Add(v0.Id);   FrontFace.
401         Add(v1.Id);   FrontFace.Add(v2.Id);   FrontFace.Add(v3.Id);
402     TArray<int32> BackFace;            BackFace.Add(v4.Id);   BackFace.
403         Add(v5.Id);   BackFace.Add(v6.Id);   BackFace.Add(v7.Id);
404     TArray<int32> LeftFace;           LeftFace.Add(v7.Id);   LeftFace.
405         Add(v6.Id);   LeftFace.Add(v1.Id);   LeftFace.Add(v0.Id);
406     TArray<int32> RightFace;          RightFace.Add(v3.Id);  RightFace.
407         Add(v2.Id);   RightFace.Add(v5.Id);  RightFace.Add(v4.Id);
408     TArray<int32> TopFace;            TopFace.Add(v1.Id);   TopFace.
409         Add(v6.Id);   TopFace.Add(v5.Id);
410         TopFace.Add(v2.Id);
411     TArray<int32> BottomFace;         BottomFace.Add(v3.Id); BottomFace.
412         Add(v4.Id);   BottomFace.Add(v7.Id); BottomFace.Add(v0.Id);
413
414     // If given vertexes are FRONT FACE vertexes, 0 will be returned
415     if (VectorContainsElement(FrontFace, FVertex0.Id) &&
416         VectorContainsElement(FrontFace, FVertex1.Id) &&
417         VectorContainsElement(FrontFace, FVertex2.Id) &&
418         VectorContainsElement(FrontFace, FVertex3.Id)) { return 0; }
419
420     // If given vertexes are BACK FACE vertexes, 1 will be returned
421     else if (VectorContainsElement(BackFace, FVertex0.Id) &&
422         VectorContainsElement(BackFace, FVertex1.Id) &&
423         VectorContainsElement(BackFace, FVertex2.Id) &&
424         VectorContainsElement(BackFace, FVertex3.Id)) { return 1; }
425
426     // If given vertexes are LEFT FACE vertexes, 2 will be returned
427     else if (VectorContainsElement(LeftFace, FVertex0.Id) &&
428         VectorContainsElement(LeftFace, FVertex1.Id) &&
429         VectorContainsElement(LeftFace, FVertex2.Id) &&
430         VectorContainsElement(LeftFace, FVertex3.Id)) { return 2; }
431
432     // If given vertexes are RIGHT FACE vertexes, 3 will be returned
433     else if (VectorContainsElement(RightFace, FVertex0.Id) &&
434         VectorContainsElement(RightFace, FVertex1.Id) &&
435         VectorContainsElement(RightFace, FVertex2.Id) &&
436         VectorContainsElement(RightFace, FVertex3.Id)) { return 3; }
437
438     // If given vertexes are TOP FACE vertexes, 4 will be returned
439     else if (VectorContainsElement(TopFace, FVertex0.Id) &&
440         VectorContainsElement(TopFace, FVertex1.Id) &&
441         VectorContainsElement(TopFace, FVertex2.Id) &&
442         VectorContainsElement(TopFace, FVertex3.Id)) { return 4; }
443
444     // If given vertexes are BOTTOM FACE vertexes, 5 will be returned
445     else if (VectorContainsElement(BottomFace, FVertex0.Id) &&
446         VectorContainsElement(BottomFace, FVertex1.Id) &&

```

```

        VectorContainsElement(BottomFace, FVertex2.Id) &&
        VectorContainsElement(BottomFace, FVertex3.Id)) { return 5; }

422
423     // If given vertexes doesn't match any face vertexes, -1 will be
424     // returned
425     else { return -1; }
426
427 void AProceduralCubeActor::MoveVertexAlongWorldAxis(FVector AxisOfMovement,
428     UStaticMeshComponent* ClickedSphere, FProceduralMeshVertex VToMove,
429     float MovementSign)
430 {
431     if (MovementSign != 0 && (AxisOfMovement.Equals(FVector(1, 0, 0))
432         || AxisOfMovement.Equals(FVector(0, 1, 0)) || AxisOfMovement.
433         Equals(FVector(0, 0, 1))))
434     {
435         if (MovementSign < 0) { MovementSign = -1; }
436         else { MovementSign = 1; }

437         ClickedSphere->SetWorldLocation(ClickedSphere->
438             GetComponentLocation() + AxisOfMovement * MovementSign);

439         TArray<FProceduralMeshTriangle> CurrentTriangles = mesh->
440             GetProceduralMeshTriangles();

441         for (int i = 0; i < CurrentTriangles.Num(); i++)
442         {
443             if (CurrentTriangles[i].Vertex0.Id == VToMove.Id)
444                 {
445                     CurrentTriangles[i].
446                     Vertex0.Position = ClickedSphere->
447                         RelativeLocation;
448                 }
449             else if (CurrentTriangles[i].Vertex1.Id == VToMove.
450                 Id) { CurrentTriangles[i].Vertex1.
451                     Position = ClickedSphere->RelativeLocation; }
452             else if (CurrentTriangles[i].Vertex2.Id == VToMove.
453                 Id) { CurrentTriangles[i].Vertex2.
454                     Position = ClickedSphere->RelativeLocation; }
455         }

456         VToMove.Position = ClickedSphere->RelativeLocation;
457         UpdateCubeVertexLocation(VToMove);
458         UpdateVsSpheresLocations();
459         UpdateVertexArrowsLocationsAndRotations();
460         mesh->SetProceduralMeshTriangles(CurrentTriangles);
461     }
462 }

463 void AProceduralCubeActor::MoveVertexAlongRotatedAxis(FVector
464     AxisOfMovement, UStaticMeshComponent* ClickedSphere,
465     FProceduralMeshVertex VToMove, float MovementSign)
466 {
467     if (MovementSign != 0 && (AxisOfMovement.Equals(FVector(1, 0, 0))
468         || AxisOfMovement.Equals(FVector(0, 1, 0)) || AxisOfMovement.
469         Equals(FVector(0, 0, 1))))
470     {

```

```

457         if (MovementSign < 0) { MovementSign = -1; }
458         else { MovementSign = 1; }

459
460         ClickedSphere->SetRelativeLocation(ClickedSphere->
461                                         RelativeLocation + AxisOfMovement * MovementSign);

462         TArray<FProceduralMeshTriangle> CurrentTriangles = mesh->
463                                         GetProceduralMeshTriangles();

464         for (int i = 0; i < CurrentTriangles.Num(); i++)
465         {
466             if (CurrentTriangles[i].Vertex0.Id == VToMove.Id)
467                 { CurrentTriangles[i].Vertex0.
468                  Position = ClickedSphere->RelativeLocation; }
469             else if (CurrentTriangles[i].Vertex1.Id == VToMove.
470                  Id) { CurrentTriangles[i].Vertex1.Position =
471                  ClickedSphere->RelativeLocation; }
472             else if (CurrentTriangles[i].Vertex2.Id == VToMove.
473                  Id) { CurrentTriangles[i].Vertex2.Position =
474                  ClickedSphere->RelativeLocation; }
475         }

476         VToMove.Position = ClickedSphere->RelativeLocation;
477         UpdateCubeVertexLocation(VToMove);
478         UpdateVsSpheresLocations();
479         UpdateVertexArrowsLocationsAndRotations();
480         mesh->SetProceduralMeshTriangles(CurrentTriangles);
481     }
482 }

483 TArray<FProceduralMeshVertex> AProceduralCubeActor::MoveFace(float
484     MovementSign, TArray<FProceduralMeshVertex> VerticesArray,
485     UStaticMeshComponent* FaceArrow)
486 {
487     // Calculate movement direction (orthogonal vector)
488     FVector v0v1 = VerticesArray[1].Position - VerticesArray[0].
489                     Position;
490     FVector v1v2 = VerticesArray[2].Position - VerticesArray[1].
491                     Position;
492     FVector Direction = UnitVector(v0v1.CrossProduct(v1v2));

493     //FVector Direction;
494     FRotator ArrowRot = FaceArrow->RelativeRotation;
495     if (85 < abs(ArrowRot.Yaw) && abs(ArrowRot.Yaw) < 95) { Direction =
496         FVector(1, 0, 0); }
497     else if (85 < abs(ArrowRot.Pitch) && abs(ArrowRot.Pitch) < 95) {
498         Direction = FVector(0, 1, 0); }
499     else if (85 < abs(ArrowRot.Roll) && abs(ArrowRot.Roll) < 95) {
500         Direction = FVector(0, 0, 1); }

501     if (MovementSign < 0) { Direction = - Direction; }

502     // Move given vertexes = update vertexes and p's positions (it is
503     // possible that MovementSign = 0, so in this case no movement
504     // should take place)

```

```

495     if (MovementSign != 0)
496     {
497         TArray<FProceduralMeshTriangle> MeshTriangles = mesh->
498             GetProceduralMeshTriangles();
499         VerticesArray[0].Position = FindAndMoveVertex(Direction,
500             VerticesArray[0], MeshTriangles);
501         VerticesArray[1].Position = FindAndMoveVertex(Direction,
502             VerticesArray[1], MeshTriangles);
503         VerticesArray[2].Position = FindAndMoveVertex(Direction,
504             VerticesArray[2], MeshTriangles);
505         VerticesArray[3].Position = FindAndMoveVertex(Direction,
506             VerticesArray[3], MeshTriangles);
507         mesh->SetProceduralMeshTriangles(MeshTriangles);
508     }
509     return VerticesArray;
510 }
511
512 FVector AProceduralCubeActor::CalculateFaceMiddlePoint(TArray<
513     FProceduralMeshVertex> FaceVertices)
514 {
515     // Calculate 'vertex to vertex' vectors
516     FVector V01 = FaceVertices[1].Position - FaceVertices[0].Position;
517     FVector V02 = FaceVertices[2].Position - FaceVertices[0].Position;
518     FVector V03 = FaceVertices[3].Position - FaceVertices[0].Position;
519
520     // Calculate 'vertex to vertex' distances
521     float D01 = sqrt(V01[0] * V01[0] + V01[1] * V01[1] + V01[2] * V01
522         [2]);
523     float D02 = sqrt(V02[0] * V02[0] + V02[1] * V02[1] + V02[2] * V02
524         [2]);
525     float D03 = sqrt(V03[0] * V03[0] + V03[1] * V03[1] + V03[2] * V03
526         [2]);
527
528     // Find 'vertex to vertex' max distance and return the 'middle'
529     // point of it
530     if (D01 > D02 && D01 > D03) { return FVector((FaceVertices[0].Position
531         + FaceVertices[1].Position) / 2); }
532     if (D02 > D01 && D02 > D03) { return FVector((FaceVertices[0].Position
533         + FaceVertices[2].Position) / 2); }
534     return FVector((FaceVertices[0].Position + FaceVertices[3].Position
535         ) / 2);
536 }
537
538 TArray<FProceduralMeshVertex> AProceduralCubeActor::
539     FindFaceVerticesFromArrowLocation(FVector ArrowLocation)
540 {
541     TArray<FProceduralMeshVertex> FaceVertices;
542
543     if (ArrowLocation == FrontFaceArrow->RelativeLocation) {
544         FaceVertices.Add(v0); FaceVertices.Add(v1); FaceVertices.Add(v2)
545         ; FaceVertices.Add(v3); }
546     else if (ArrowLocation == BackFaceArrow->RelativeLocation) {
547         FaceVertices.Add(v4); FaceVertices.Add(v5); FaceVertices.Add(v6)
548         ; FaceVertices.Add(v7); }
549     else if (ArrowLocation == LeftFaceArrow->RelativeLocation) { }
550 }
```

```

    FaceVertices.Add(v0); FaceVertices.Add(v1); FaceVertices.Add(v6)
    ; FaceVertices.Add(v7); }
532  else if (ArrowLocation == RightFaceArrow->RelativeLocation) { 
    FaceVertices.Add(v2); FaceVertices.Add(v3); FaceVertices.Add(v4)
    ; FaceVertices.Add(v5); }
533  else if (ArrowLocation == TopFaceArrow->RelativeLocation) { 
    FaceVertices.Add(v1); FaceVertices.Add(v2); FaceVertices.Add(v5)
    ; FaceVertices.Add(v6); }
534  else if (ArrowLocation == BottomFaceArrow->RelativeLocation) { 
    FaceVertices.Add(v0); FaceVertices.Add(v3); FaceVertices.Add(v4)
    ; FaceVertices.Add(v7); }

535  return FaceVertices;
536
537
538 /* -- use if coplanar vertexes --
539 // Store each euclidean distance from each cube vertex to the given
540 // arrow
541 FProceduralMeshVertex CubeVertices[] = { v0, v1, v2, v3, v4, v5, v6
542 , v7 };
543 float VerticesDistances[8];
544 for (int i = 0; i < 8; i++) { VerticesDistances[i] =
545     EuclideanDistance(CubeVertices[i].Position, ArrowLocation); }

546 // Calculate the 4 nearer vertex
547 float MinDist; int iMinDist; FProceduralMeshVertex VertexMinDist;
548 TArray<FProceduralMeshVertex> FaceVertices;
549 while (FaceVertices.Num() < 4)
550 {
551     MinDist = VerticesDistances[0];
552     iMinDist = 0;
553     for (int i = 1; i < 8; i++)
554     {
555         if (MinDist > VerticesDistances[i])
556         {
557             MinDist = VerticesDistances[i];
558             iMinDist = i;
559         }
560     }
561     VerticesDistances[iMinDist] = FLT_MAX;
562     FaceVertices.Add(CubeVertices[iMinDist]);
563 }
564
565  return FaceVertices;
566 */
567 }

568 FRotator AProceduralCubeActor::GetOrthogonalFaceDirectionFromFaceVertex(
569     FVector GivenLocation, TArray<FProceduralMeshVertex> VerticesArray)
570 {
571     // Face Vectors (using 3 face vertex)
572     FVector V01 = FVector(VerticesArray[1].Position - VerticesArray[0].
573     Position);
574     FVector V12 = FVector(VerticesArray[2].Position - VerticesArray[1].
575     Position);
576
577     // Rotator to set face orthogonal direction

```

```

573         return ConvertToPitchRollYawRotator(UnitVector(CrossProd(V12, V01))
574             );
575     }
576
577     AProceduralCubeActor* AProceduralCubeActor::ExtrudeFaceOfCube(
578         UStaticMeshComponent* ClickedArrow)
579     {
580         AProceduralCubeActor* NewCube = GetWorld()->SpawnActor<
581             AProceduralCubeActor>(AProceduralCubeActor::StaticClass(),
582             GetActorLocation(), GetActorRotation());
583         EnableInput(CustomPController);
584
585         int32 ArrowToExtrIndex = ExtrusionFromGivenFaceVertexes(NewCube,
586             FindFaceVertexesFromArrowLocation(ClickedArrow->RelativeLocation
587             ));
588         HideAllComponents(); // Hide all parent cube components
589
590         // Generate extruded cube and delete original cube clicked arrow to
591         // extrude
592         switch (ArrowToExtrIndex)
593         {
594             case 0: NewCube->ArrowOnClickEvent(FrontFaceArrow, false,
595                 true, 0, 0); FrontFaceArrow->SetWorldScale3D(FVector(0,
596                     0, 0)); FrontFaceArrow->SetActive(false);
597             break;
598             case 1: NewCube->ArrowOnClickEvent(BackFaceArrow, false,
599                 true, 0, 0); BackFaceArrow->SetWorldScale3D(FVector(0,
600                     0, 0)); BackFaceArrow->SetActive(false);
601             break;
602             case 2: NewCube->ArrowOnClickEvent(LeftFaceArrow, false,
603                 true, 0, 0); LeftFaceArrow->SetWorldScale3D(FVector(0,
604                     0, 0)); LeftFaceArrow->SetActive(false);
605             break;
606             case 3: NewCube->ArrowOnClickEvent(RightFaceArrow, false,
607                 true, 0, 0); RightFaceArrow->SetWorldScale3D(FVector(0,
608                     0, 0)); RightFaceArrow->SetActive(false);
609             break;
610             case 4: NewCube->ArrowOnClickEvent(TopFaceArrow, false,
611                 true, 0, 0); TopFaceArrow->SetWorldScale3D(FVector(0,
612                     0, 0)); TopFaceArrow->SetActive(false);
613             break;
614             case 5: NewCube->ArrowOnClickEvent(BottomFaceArrow, false,
615                 true, 0, 0); BottomFaceArrow->SetWorldScale3D(FVector(0,
616                     0, 0)); BottomFaceArrow->SetActive(false);
617             break;
618         }
619         return NewCube;
620     }
621
622     FVector AProceduralCubeActor::UnitVector(FVector GivenVector)
623     {
624         float VModule = VectorModule(GivenVector);
625         return FVector(GivenVector.X / VModule, GivenVector.Y / VModule,
626             GivenVector.Z / VModule);
627     }

```

```

602
603 float AProceduralCubeActor::EuclideanDistance(FVector P, FVector Q)
604 {
605     return sqrt((P.X - Q.X)*(P.X - Q.X) + (P.Y - Q.Y)*(P.Y - Q.Y) + (P.
606     Z - Q.Z)*(P.Z - Q.Z));
607 }
608
609 float AProceduralCubeActor::VectorModule(FVector GivenVector)
610 {
611     return sqrt(GivenVector.X*GivenVector.X + GivenVector.Y*GivenVector
612         .Y + GivenVector.Z*GivenVector.Z);
613 }
614
615 FVector AProceduralCubeActor::CrossProd(FVector U, FVector V)
616 {
617     return FVector(U[1] * V[2] - U[2] * V[1], U[2] * V[0] - U[0] * V
618         [2], U[0] * V[1] - U[1] * V[0]);
619 }
620
621 bool AProceduralCubeActor::VectorContainsElement(TArray<int32> GivenVector,
622     int32 GivenElement)
623 {
624     bool ElementFound = false;
625     for (int32 i = 0; i < GivenVector.Num() && ! (ElementFound); i++)
626     {
627         if (GivenVector[i] == GivenElement) { ElementFound = true;
628             }
629     }
630     return ElementFound;
631 }
632
633 FRotator AProceduralCubeActor::ConvertToPitchRollYawRotator(FVector
634     VToConvert)
635 {
636     FRotator VConverted;
637     VConverted.Roll = 90 * VToConvert[2];
638     VConverted.Pitch = 90 * VToConvert[1];
639     VConverted.Yaw = 90 * VToConvert[0];
640     if (VConverted.Pitch != 0) // Necessary to correct from (x,y,z) to
641         (r,p,y)
642     {
643         VConverted.Pitch = - VConverted.Pitch;
644         VConverted.Roll = VConverted.Roll + VConverted.Pitch;
645         VConverted.Yaw = VConverted.Yaw + VConverted.Pitch;
646     }
647     return VConverted;
648 }
649
650 void AProceduralCubeActor::ArrowOnClickEvent_Implementation(
651     UStaticMeshComponent* ClickedArrow, bool KeepMoving, bool KeepExtrMov,
652     float LMBMovDir, float RMBMovDir)
653 {
654     // Set arrow movement
655     float Movement = 0.0;
656     if (KeepMoving) { Movement = LMBMovDir; }
657 }
```



```

690     HideFacesArrows();
691     KeepOnHover = true;
692     V2Sphere->SetHiddenInGame(false);
693     CustomPController->InputComponent->
694         BindAction("LeftMB", IE_Pressed, this, &
695             AProceduralCubeActor::KeepingOnHover);
696     KeepOnHover = false;
697 }
698
699 // Selected sphere at v3 selected
700 else if (SelectedComponent->GetName() == V3Sphere->
701     GetName())
702 {
703     HideFacesArrows();
704     KeepOnHover = true;
705     V3Sphere->SetHiddenInGame(false);
706     CustomPController->InputComponent->
707         BindAction("LeftMB", IE_Pressed, this, &
708             AProceduralCubeActor::KeepingOnHover);
709     KeepOnHover = false;
710 }
711
712 // Selected sphere at v4 selected
713 else if (SelectedComponent->GetName() == V4Sphere->
714     GetName())
715 {
716     HideFacesArrows();
717     KeepOnHover = true;
718     V4Sphere->SetHiddenInGame(false);
719     CustomPController->InputComponent->
720         BindAction("LeftMB", IE_Pressed, this, &
721             AProceduralCubeActor::KeepingOnHover);
722     KeepOnHover = false;
723 }
724
725 // Selected sphere at v5 selected
726 else if (SelectedComponent->GetName() == V5Sphere->
727     GetName())
728 {
729     HideFacesArrows();
730     KeepOnHover = true;
731     V5Sphere->SetHiddenInGame(false);
732     CustomPController->InputComponent->
733         BindAction("LeftMB", IE_Pressed, this, &
734             AProceduralCubeActor::KeepingOnHover);
735     KeepOnHover = false;
736 }
737
738 // Selected sphere at v6 selected
739 else if (SelectedComponent->GetName() == V6Sphere->
740     GetName())
741 {
742     HideFacesArrows();
743     KeepOnHover = true;
744     V6Sphere->SetHiddenInGame(false);

```

```

733             CustomPController->InputComponent->
734                 BindAction("LeftMB", IE_Pressed, this, &
735                             AProceduralCubeActor::KeepingOnHover);
736                 KeepOnHover = false;
737             }
738         // Selected sphere at v7 selected
739         else if (SelectedComponent->GetName() == V7Sphere->
740             GetName())
741         {
742             HideFacesArrows();
743             KeepOnHover = true;
744             V7Sphere->SetHiddenInGame(false);
745             CustomPController->InputComponent->
746                 BindAction("LeftMB", IE_Pressed, this, &
747                             AProceduralCubeActor::KeepingOnHover);
748                 KeepOnHover = false;
749             }
750         }
751     }
752     else if (SelectedCube != NULL && SelectedCube->GetName() ==
753             this->GetName())
754     {
755         CustomPController->InputComponent->BindAction(""
756             LeftMB", IE_Pressed, this, &AProceduralCubeActor
757             ::InitCubeFacesEditionState);
758     }
759     FTimerHandle Handle;
760     FTimerDelegate Delegate = FTimerDelegate::CreateUObject(
761         this, &AProceduralCubeActor::PlayerOnHover);
762     GetWorldTimerManager().SetTimer(Handle, Delegate, 0.05f,
763         false);
764 }
765
766 void AProceduralCubeActor::PlayerOnExitHover()
767 {
768     // Check that system is not waiting to move a vertex
769     KeepOnHover = false;
770     if (!VertexMovementState) { HideAllComponents(); }
771 }
772
773 void AProceduralCubeActor::KeepingOnHover()
774 {
775     FHitResult HitRes;
776     CustomPController->GetHitResultUnderCursorByChannel(UEngineTypes::
777         ConvertToTraceType(ECollisionChannel::ECC_Visibility), true,
778         HitRes);
779     UStaticMeshComponent* SelectedSphere = Cast<UStaticMeshComponent>(
780         HitRes.GetComponent());
781
782     if (SelectedSphere == NULL) { return; }
783
784     if (SelectedSphere->GetName() == V0Sphere->GetName() && !
785         VertexMovementState)
786     {

```

```

774     V0Sphere->SetHiddenInGame(true);
775     V0Sphere_Arrow0->SetHiddenInGame(false); V0Sphere_Arrow1->
776         SetHiddenInGame(false); V0Sphere_Arrow2->SetHiddenInGame
777             (false);
778     InitVertexMovementState(SelectedSphere);
779 }
780 else if (SelectedSphere->GetName() == V1Sphere->GetName() && !
781     VertexMovementState)
782 {
783     V1Sphere->SetHiddenInGame(true);
784     V1Sphere_Arrow0->SetHiddenInGame(false); V1Sphere_Arrow1->
785         SetHiddenInGame(false); V1Sphere_Arrow2->SetHiddenInGame
786             (false);
787     InitVertexMovementState(SelectedSphere);
788 }
789 else if (SelectedSphere->GetName() == V2Sphere->GetName() && !
790     VertexMovementState)
791 {
792     V2Sphere->SetHiddenInGame(true);
793     V2Sphere_Arrow0->SetHiddenInGame(false); V2Sphere_Arrow1->
794         SetHiddenInGame(false); V2Sphere_Arrow2->SetHiddenInGame
795             (false);
796     InitVertexMovementState(SelectedSphere);
797 }
798 else if (SelectedSphere->GetName() == V3Sphere->GetName() && !
799     VertexMovementState)
800 {
801     V3Sphere->SetHiddenInGame(true);
802     V3Sphere_Arrow0->SetHiddenInGame(false); V3Sphere_Arrow1->
803         SetHiddenInGame(false); V3Sphere_Arrow2->SetHiddenInGame
804             (false);
805     InitVertexMovementState(SelectedSphere);
806 }
807 else if (SelectedSphere->GetName() == V4Sphere->GetName() && !
808     VertexMovementState)
809 {
810     V4Sphere->SetHiddenInGame(true);
811     V4Sphere_Arrow0->SetHiddenInGame(false); V4Sphere_Arrow1->
812         SetHiddenInGame(false); V4Sphere_Arrow2->SetHiddenInGame
813             (false);
814     InitVertexMovementState(SelectedSphere);
815 }
816 else if (SelectedSphere->GetName() == V5Sphere->GetName() && !
817     VertexMovementState)
818 {
819     V5Sphere->SetHiddenInGame(true);
820     V5Sphere_Arrow0->SetHiddenInGame(false); V5Sphere_Arrow1->
821         SetHiddenInGame(false); V5Sphere_Arrow2->SetHiddenInGame
822             (false);
823     InitVertexMovementState(SelectedSphere);
824 }
825 else if (SelectedSphere->GetName() == V6Sphere->GetName() && !
826     VertexMovementState)
827 {
828     V6Sphere->SetHiddenInGame(true);

```

```

811             V6Sphere_Arrow0->SetHiddenInGame(false); V6Sphere_Arrow1->
812                 SetHiddenInGame(false); V6Sphere_Arrow2->SetHiddenInGame
813                     (false);
814             InitVertexMovementState(SelectedSphere);
815         }
816     else if (SelectedSphere->GetName() == V7Sphere->GetName() && !
817             VertexMovementState)
818     {
819         V7Sphere->SetHiddenInGame(true);
820         V7Sphere_Arrow0->SetHiddenInGame(false); V7Sphere_Arrow1->
821                         SetHiddenInGame(false); V7Sphere_Arrow2->SetHiddenInGame
822                             (false);
823         InitVertexMovementState(SelectedSphere);
824     }
825 }
826
827 void AProceduralCubeActor::HideVertexSpheres()
828 {
829     V0Sphere->SetHiddenInGame(true);           V1Sphere->SetHiddenInGame(
830         true);           V2Sphere->SetHiddenInGame(true);           V3Sphere->
831             SetHiddenInGame(true);
832     V4Sphere->SetHiddenInGame(true);           V5Sphere->SetHiddenInGame(
833         true);           V6Sphere->SetHiddenInGame(true);           V7Sphere->
834             SetHiddenInGame(true);
835 }
836
837 void AProceduralCubeActor::HideFacesArrows()
838 {
839     FrontFaceArrow->SetHiddenInGame(true);   BackFaceArrow->
840         SetHiddenInGame(true);   LeftFaceArrow->SetHiddenInGame(true);
841     RightFaceArrow->SetHiddenInGame(true);   TopFaceArrow->
842         SetHiddenInGame(true);   BottomFaceArrow->SetHiddenInGame(true)
843         ;
844 }
845
846 void AProceduralCubeActor::ShowFacesArrows()
847 {
848     FrontFaceArrow->SetHiddenInGame(false); BackFaceArrow->
849         SetHiddenInGame(false); LeftFaceArrow->SetHiddenInGame(false);
850     RightFaceArrow->SetHiddenInGame(false); TopFaceArrow->
851         SetHiddenInGame(false); BottomFaceArrow->SetHiddenInGame(false)
852         ;
853 }
854
855 void AProceduralCubeActor::HideSpheresArrows()
856 {
857     V0Sphere_Arrow0->SetHiddenInGame(true); V0Sphere_Arrow1->
858         SetHiddenInGame(true); V0Sphere_Arrow2->SetHiddenInGame(true);
859     V1Sphere_Arrow0->SetHiddenInGame(true); V1Sphere_Arrow1->
860         SetHiddenInGame(true); V1Sphere_Arrow2->SetHiddenInGame(true);
861     V2Sphere_Arrow0->SetHiddenInGame(true); V2Sphere_Arrow1->
862         SetHiddenInGame(true); V2Sphere_Arrow2->SetHiddenInGame(true);
863     V3Sphere_Arrow0->SetHiddenInGame(true); V3Sphere_Arrow1->
864         SetHiddenInGame(true); V3Sphere_Arrow2->SetHiddenInGame(true);

```

```

847     V4Sphere_Arrow0->SetHiddenInGame(true); V4Sphere_Arrow1->
848         SetHiddenInGame(true); V4Sphere_Arrow2->SetHiddenInGame(true);
849     V5Sphere_Arrow0->SetHiddenInGame(true); V5Sphere_Arrow1->
850         SetHiddenInGame(true); V5Sphere_Arrow2->SetHiddenInGame(true);
851     V6Sphere_Arrow0->SetHiddenInGame(true); V6Sphere_Arrow1->
852         SetHiddenInGame(true); V6Sphere_Arrow2->SetHiddenInGame(true);
853     V7Sphere_Arrow0->SetHiddenInGame(true); V7Sphere_Arrow1->
854         SetHiddenInGame(true); V7Sphere_Arrow2->SetHiddenInGame(true);
855 }
856
857 void AProceduralCubeActor::HideAllComponents()
858 {
859     HideVertexSpheres();
860     HideFacesArrows();
861     HideSpheresArrows();
862 }
863
864 void AProceduralCubeActor::InitVertexMovementState(UStaticMeshComponent*
865     SelectedSphere)
866 {
867     VertexMovementState = true;
868     QuitVertexMovementState();
869 }
870
871 void AProceduralCubeActor::QuitVertexMovementState()
872 {
873     CustomPController->InputComponent->BindAction("ExitQ", IE_Pressed,
874         this, &AProceduralCubeActor::UnsetVertexMovementState);
875     if (!VertexMovementState)
876     {
877         FTimerHandle Handle;
878         FTimerDelegate Delegate = FTimerDelegate::CreateUObject(
879             this, &AProceduralCubeActor::QuitVertexMovementState);
880         GetWorldTimerManager().SetTimer(Handle, Delegate, 0.05f,
881             false);
882     }
883 }
884
885 void AProceduralCubeActor::UnsetVertexMovementState()
886 {
887     VertexMovementState = false;
888     PlayerOnExitHover();
889 }
890
891 void AProceduralCubeActor::InitCubeFacesEditionState()
892 {
893     if (VertexMovementState) { return; }

894     HideAllComponents();
895     ShowFacesArrows();
896     CubeFacesEditionState = true;
897     VertexMovementState = true; // Set to true in order to forbid
898         vertex movement while cube editing
899     QuitCubeFacesEditionState();
900 }

```

```

893
894 void AProceduralCubeActor::QuitCubeFacesEditionState()
895 {
896     CustomPController->InputComponent->BindAction("ExitQ", IE_Pressed,
897         this, &AProceduralCubeActor::UnsetCubeFacesEditionState);
898     if (!CubeFacesEditionState)
899     {
900         FTimerHandle Handle;
901         FTimerDelegate Delegate = FTimerDelegate::CreateUObject(
902             this, &AProceduralCubeActor::QuitCubeFacesEditionState);
903         GetWorldTimerManager().SetTimer(Handle, Delegate, 0.05f,
904             false);
905     }
906 }
907
908 void AProceduralCubeActor::UnsetCubeFacesEditionState()
909 {
910     CubeFacesEditionState = false;
911     VertexMovementState = false;
912     PlayerOnExitHover();
913 }
914
915 void AProceduralCubeActor::Tick(float deltaSeconds)
916 {
917     Super::Tick(deltaSeconds);
918 }
```

Código A.3: CustomPlayerController.h

```

1 #pragma once
2
3 #include "GameFramework/PlayerController.h"
4 #include "ProceduralMeshComponent.h"
5 #include "CustomPlayerController.generated.h"
6
7 UCLASS()
8 class PROCEDURALMESH_API ACustomPlayerController : public APlayerController
9 {
10     GENERATED_BODY()
11     ACustomPlayerController(const FObjectInitializer& ObjectInitializer
12     );
13
14     // ----- VARIABLES ----- \\
15
16     UPROPERTY(BlueprintReadWrite, Category = "CustomPlayerController")
17     bool KeepMovingFace;
18
19     UPROPERTY(BlueprintReadWrite, Category = "CustomPlayerController")
20     bool KeepLeftMovingVertex;
21
22     UPROPERTY(BlueprintReadWrite, Category = "CustomPlayerController")
23     bool KeepRightMovingVertex;
```

```

25
26     UPROPERTY(BlueprintReadWrite, Category = "CustomPlayerController")
27     bool KeepExtrMovement;
28
29     UPROPERTY(BlueprintReadWrite, Category = "CustomPlayerController")
30     float LMBMovementDirection;
31
32     UPROPERTY(BlueprintReadWrite, Category = "CustomPlayerController")
33     float RMBMovementDirection;
34
35     UPROPERTY(BlueprintReadWrite, Category = "CustomPlayerController")
36     UStaticMeshComponent* LMB_SelectedArrow;
37
38     UPROPERTY(BlueprintReadWrite, Category = "CustomPlayerController")
39     UStaticMeshComponent* RMB_SelectedArrow;
40
41     UPROPERTY(EditAnywhere, Category = "CustomPlayerController")
42     class AProceduralCubeActor* LMB_CubeToEdit;
43
44     UPROPERTY(EditAnywhere, Category = "CustomPlayerController")
45     class AProceduralCubeActor* RMB_CubeToEdit;
46
47     // ----- LEFT MOUSE BUTTON FUNCTIONS ----- \\
48
49     UFUNCTION(BlueprintCallable, Category = "CustomPlayerController")
50     void EnableKeepMovings(); // Sets to true KeepMovingFace or
51         KeepMovingVertex
52
53     UFUNCTION(BlueprintCallable, Category = "CustomPlayerController")
54     void DisableKeepMovings(); // Sets to false KeepMovingFace or
55         KeepMovingVertex
56
57     UFUNCTION(BlueprintCallable, Category = "CustomPlayerController")
58     void UpdateLMBMovementDirection(float value);
59
60     // ----- RIGHT MOUSE BUTTON FUNCTIONS ----- \\
61
62     UFUNCTION(BlueprintCallable, Category = "CustomPlayerController")
63     void SetKeepExtrMovementToTrue();
64
65     UFUNCTION(BlueprintCallable, Category = "CustomPlayerController")
66     void SetKeepExtrMovementToFalse();
67
68     UFUNCTION(BlueprintCallable, Category = "CustomPlayerController")
69     void UpdateRMBMovementDirection(float value);
70
71     UFUNCTION(BlueprintCallable, Category = "CustomPlayerController")
72     void Refresh();
73
74     // ----- (override) ----- \\
75
76     void SetupInputComponent();
77
78     // ----- AUX FUNCTIONS ----- \\

```

```

78     UFUNCTION(BlueprintCallable, Category = "CustomPlayerController")
79     FVector RecognizeArrowDirectionInWorld(UStaticMeshComponent*
80         SelectedArrow, AProceduralCubeActor* SelectedCube);
81
82     UFUNCTION(BlueprintCallable, Category = "CustomPlayerController")
83     UStaticMeshComponent* RecognizeSphereFromArrow(UStaticMeshComponent
84         * SelectedArrow, AProceduralCubeActor* SelectedCube);
85
86     UFUNCTION(BlueprintCallable, Category = "CustomPlayerController")
87     FProceduralMeshVertex RecognizeVertexFromArrow(UStaticMeshComponent
88         * SelectedArrow, AProceduralCubeActor* SelectedCube);
89
90 } ;

```

Código A.4: CustomPlayerController.cpp

```

1 #include "ProceduralMesh.h"
2 #include "ProceduralCubeActor.h"
3 #include "CustomPlayerController.h"
4
5 ACustomPlayerController::ACustomPlayerController(const FObjectInitializer&
6     ObjectInitializer)
7     : Super(ObjectInitializer) {
8
8     bEnableClickEvents = true;
9     bEnableMouseOverEvents = true;
10    bShowMouseCursor = true;
11
12    EnableInput(this);
13
14    KeepMovingFace = false;
15    KeepExtraMovement = false;
16    KeepLeftMovingVertex = false;
17    KeepRightMovingVertex = false;
18
19    LMBMovementDirection = 0.0;
20    RMBMovementDirection = 0.0;
21
22    LMB_CubeToEdit = NULL;
23    LMB_SelectedArrow = NULL;
24
25    RMB_CubeToEdit = NULL;
26    RMB_SelectedArrow = NULL;
27
28 }
29
30 // ----- LEFT MOUSE BUTTON FUNCTIONS ----- \\
31
32 void ACustomPlayerController::EnableKeepMovings()
33 {
34     FHitResult HitRes;
35     GetHitResultUnderCursorByChannel(UEngineTypes::ConvertToTraceType(
36         ECollisionChannel::ECC_Visibility), true, HitRes);

```

```

37     LMB_CubeToEdit = Cast<AProceduralCubeActor>(HitRes.GetActor());
38     LMB_SelectedArrow = Cast<UStaticMeshComponent>(HitRes.GetComponent
39     ());
40
41     if (LMB_CubeToEdit != NULL && LMB_SelectedArrow != NULL)
42     {
43         if (LMB_SelectedArrow->ComponentHasTag(TEXT("FaceArrow")))
44         {
45             KeepMovingFace = true;
46             Refresh();
47         }
48         else if (LMB_SelectedArrow->ComponentHasTag(TEXT(""
49             VertexArrow")))
50         {
51             KeepLeftMovingVertex = true;
52             Refresh();
53         }
54     }
55
56     void ACustomPlayerController::DisableKeepMovings()
57     {
58         KeepMovingFace = false;
59         KeepLeftMovingVertex = false;
60         LMB_SelectedArrow = NULL;
61         LMB_CubeToEdit = NULL;
62     }
63
64     void ACustomPlayerController::UpdateLMBMovementDirection(float value)
65     {
66         LMBMovementDirection = value;
67     }
68
69 // ----- RIGHT MOUSE BUTTON FUNCTIONS ----- \\
70
71     void ACustomPlayerController::SetKeepExtrMovementToTrue()
72     {
73         FHitResult HitRes;
74         GetHitResultUnderCursorByChannel(UEngineTypes::ConvertToTraceType(
75             ECollisionChannel::ECC_Visibility), true, HitRes);
76
77         RMB_CubeToEdit = Cast<AProceduralCubeActor>(HitRes.GetActor());
78         RMB_SelectedArrow = Cast<UStaticMeshComponent>(HitRes.GetComponent
79     ());
80
81         if (RMB_CubeToEdit != NULL && RMB_SelectedArrow != NULL )
82         {
83             if (RMB_SelectedArrow->ComponentHasTag(TEXT("FaceArrow")))
84             {
85                 KeepExtrMovement = true;
86                 AProceduralCubeActor* ExtrudedCube = RMB_CubeToEdit
87                     ->ExtrudeFaceOfCube(RMB_SelectedArrow);
88
89                 TArray<FProceduralMeshVertex> FaceVertexes =
90                 RMB_CubeToEdit->

```

```

86             FindFaceVertexesFromArrowLocation(
87                 RMB_SelectedArrow->RelativeLocation);
88             int32 IndexOf_RMB_SelectedArrow = RMB_CubeToEdit->
89                 IdentifyFaceFromVertexes(FaceVertexes[0],
90                 FaceVertexes[1], FaceVertexes[2], FaceVertexes
91                 [3]);
92             switch (IndexOf_RMB_SelectedArrow)
93             {
94                 case 0: RMB_SelectedArrow = ExtrudedCube->
95                     FrontFaceArrow;           break;
96                 case 1: RMB_SelectedArrow = ExtrudedCube->
97                     BackFaceArrow;          break;
98                 case 2: RMB_SelectedArrow = ExtrudedCube->
99                     LeftFaceArrow;          break;
100                case 3: RMB_SelectedArrow = ExtrudedCube->
101                    RightFaceArrow;         break;
102                case 4: RMB_SelectedArrow = ExtrudedCube->
103                    TopFaceArrow;          break;
104                case 5: RMB_SelectedArrow = ExtrudedCube->
105                    BottomFaceArrow;        break;
106            }
107
108            RMB_CubeToEdit->VertexMovementState = false;
109            RMB_CubeToEdit->CubeFacesEditionState = false;
110            RMB_CubeToEdit = ExtrudedCube;
111            Refresh();
112        }
113
114        else if (RMB_SelectedArrow->ComponentHasTag(TEXT(""
115                                         VertexArrow")))
116        {
117            KeepRightMovingVertex = true;
118            Refresh();
119        }
120    }
121
122    void ACustomPlayerController::SetKeepExtrMovementToFalse()
123    {
124        KeepExtrMovement = false;
125        RMB_SelectedArrow = NULL;
126        KeepRightMovingVertex = false;
127        RMB_CubeToEdit = NULL;
128    }
129
130    void ACustomPlayerController::UpdateRMBMovementDirection(float value)
131    {
132        RMBMovementDirection = value;
133    }
134
135    // ----- (override) ----- \\
136
137    void ACustomPlayerController::SetupInputComponent(/*class UInputComponent */
138                                                 InputComponent*)
139    {

```

```

128     Super::SetupInputComponent();
129     check(InputComponent);
130
131     InputComponent->BindAxis("XAxis", this, &ACustomPlayerController::
132         UpdateLMBMovementDirection);
133     InputComponent->BindAxis("RMBAxis", this, &ACustomPlayerController
134         ::UpdateRMBMovementDirection);
135     InputComponent->BindAction("LeftMB", IE_Pressed, this, &
136         ACustomPlayerController::EnableKeepMovings);
137     InputComponent->BindAction("LeftMB", IE_Released, this, &
138         ACustomPlayerController::DisableKeepMovings);
139     InputComponent->BindAction("RightMB", IE_Pressed, this, &
140         ACustomPlayerController::SetKeepExtrMovementToTrue);
141     InputComponent->BindAction("RightMB", IE_Released, this, &
142         ACustomPlayerController::SetKeepExtrMovementToFalse);
143 }
144
145 void ACustomPlayerController::Refresh()
146 {
147     if (!KeepMovingFace) && !KeepExtrMovement) && !(KeepLeftMovingVertex) && !(KeepRightMovingVertex)) { return; }

148     if (KeepMovingFace)
149     {
150         LMB_CubeToEdit->MoveFace(LMBMovementDirection, LMB_CubeToEdit->
151             FindFaceVerticesFromArrowLocation(LMB_SelectedArrow->
152                 RelativeLocation), LMB_SelectedArrow); }
153     else if (KeepExtrMovement)
154     {
155         RMB_CubeToEdit->
156             MoveFace(RMBMovementDirection, RMB_CubeToEdit->
157                 FindFaceVerticesFromArrowLocation(RMB_SelectedArrow->
158                     RelativeLocation), RMB_SelectedArrow); RMB_CubeToEdit->
159             HideAllComponents(); }

160     else if (KeepLeftMovingVertex)
161     {
162         LMB_CubeToEdit->
163             MoveVertexAlongWorldAxis(RecognizeArrowDirectionInWorld(
164                 LMB_SelectedArrow, LMB_CubeToEdit), RecognizeSphereFromArrow(
165                 LMB_SelectedArrow, LMB_CubeToEdit), RecognizeVertexFromArrow(
166                 LMB_SelectedArrow, LMB_CubeToEdit), LMBMovementDirection); }

167     else if (KeepRightMovingVertex)
168     {
169         RMB_CubeToEdit->
170             MoveVertexAlongRotatedAxis(RecognizeArrowDirectionInWorld(
171                 RMB_SelectedArrow, RMB_CubeToEdit), RecognizeSphereFromArrow(
172                 RMB_SelectedArrow, RMB_CubeToEdit), RecognizeVertexFromArrow(
173                 RMB_SelectedArrow, RMB_CubeToEdit), RMBMovementDirection); }

174     FTimerHandle Handle;
175     FTimerDelegate Delegate = FTimerDelegate::CreateUObject(this, &
176         ACustomPlayerController::Refresh);
177     GetWorldTimerManager().SetTimer(Handle, Delegate, 0.05f, false);
178 }

179 FVector ACustomPlayerController::RecognizeArrowDirectionInWorld(
180     UStaticMeshComponent* SelectedArrow, AProceduralCubeActor* SelectedCube)
181 {
182     if (
183         (SelectedArrow->GetName() == SelectedCube->V0Sphere_Arrow0
184             ->GetName()) || (SelectedArrow->GetName() ==
185             SelectedCube->V1Sphere_Arrow0->GetName()) ||
```

```

157             (SelectedArrow->GetName() == SelectedCube->V2Sphere_Arrow0
158                 ->GetName()) || (SelectedArrow->GetName() ==
159                     SelectedCube->V3Sphere_Arrow0->GetName()) ||
160             (SelectedArrow->GetName() == SelectedCube->V4Sphere_Arrow0
161                 ->GetName()) || (SelectedArrow->GetName() ==
162                     SelectedCube->V5Sphere_Arrow0->GetName()) ||
163             (SelectedArrow->GetName() == SelectedCube->V6Sphere_Arrow0
164                 ->GetName()) || (SelectedArrow->GetName() ==
165                     SelectedCube->V7Sphere_Arrow0->GetName())
166         )
167     {
168         return FVector(0, 0, 1);
169     }
170     else if (
171         (SelectedArrow->GetName() == SelectedCube->V0Sphere_Arrow1
172             ->GetName()) || (SelectedArrow->GetName() ==
173                     SelectedCube->V1Sphere_Arrow1->GetName()) ||
174             (SelectedArrow->GetName() == SelectedCube->V2Sphere_Arrow1
175                 ->GetName()) || (SelectedArrow->GetName() ==
176                     SelectedCube->V3Sphere_Arrow1->GetName()) ||
177             (SelectedArrow->GetName() == SelectedCube->V4Sphere_Arrow1
178                 ->GetName()) || (SelectedArrow->GetName() ==
179                     SelectedCube->V5Sphere_Arrow1->GetName()) ||
180             (SelectedArrow->GetName() == SelectedCube->V6Sphere_Arrow1
181                 ->GetName()) || (SelectedArrow->GetName() ==
182                     SelectedCube->V7Sphere_Arrow1->GetName())
183         )
184     {
185         return FVector(0, 1, 0);
186     }
187     else
188     {
189         return FVector(1, 0, 0);
190     }
191 }
192
193 UStaticMeshComponent* ACustomPlayerController::RecognizeSphereFromArrow(
194     UStaticMeshComponent* SelectedArrow, AProceduralCubeActor* SelectedCube)
195 {
196
197     if (SelectedArrow->RelativeLocation.Equals(SelectedCube->p0)) {
198         return SelectedCube->V0Sphere; }
199     if (SelectedArrow->RelativeLocation.Equals(SelectedCube->p1)) {
200         return SelectedCube->V1Sphere; }
201     if (SelectedArrow->RelativeLocation.Equals(SelectedCube->p2)) {
202         return SelectedCube->V2Sphere; }
203     if (SelectedArrow->RelativeLocation.Equals(SelectedCube->p3)) {
204         return SelectedCube->V3Sphere; }
205     if (SelectedArrow->RelativeLocation.Equals(SelectedCube->p4)) {
206         return SelectedCube->V4Sphere; }
207     if (SelectedArrow->RelativeLocation.Equals(SelectedCube->p5)) {
208         return SelectedCube->V5Sphere; }
209     if (SelectedArrow->RelativeLocation.Equals(SelectedCube->p6)) {
210         return SelectedCube->V6Sphere; }
211     return SelectedCube->V7Sphere;

```

```
190     }
191
192     FProceduralMeshVertex ACustomPlayerController::RecognizeVertexFromArrow(
193         UStaticMeshComponent* SelectedArrow, AProceduralCubeActor* SelectedCube)
194     {
195         if (SelectedArrow->RelativeLocation.Equals(SelectedCube->p0)) {
196             return SelectedCube->v0;
197         if (SelectedArrow->RelativeLocation.Equals(SelectedCube->p1)) {
198             return SelectedCube->v1;
199         if (SelectedArrow->RelativeLocation.Equals(SelectedCube->p2)) {
200             return SelectedCube->v2;
201         if (SelectedArrow->RelativeLocation.Equals(SelectedCube->p3)) {
202             return SelectedCube->v3;
203         if (SelectedArrow->RelativeLocation.Equals(SelectedCube->p4)) {
204             return SelectedCube->v4;
205         if (SelectedArrow->RelativeLocation.Equals(SelectedCube->p5)) {
206             return SelectedCube->v5;
207         if (SelectedArrow->RelativeLocation.Equals(SelectedCube->p6)) {
208             return SelectedCube->v6;
209         }
210     }
```

## Anexo B

# Un ejemplo de uso de cuaterniones en Unreal Engine: FTransform

Con el fin de evidenciar el uso de los cuaterniones en motores gráficos como Unreal Engine, presento en el Código B.1 que sigue un fragmento inicial del código fuente de FTransform, cuyos elementos están formados por un valor de escalado, una rotación definida con un cuaternion y una traslación definida mediante un vector usual. FTransform es una función disponible para el programador que aplica una transformación sobre un objeto componiendo, en ese orden, un escalado, una rotación y una traslación. Tal como se detalla en los comentarios del código, la rotación que se utiliza en FTransform ha de estar definida por un cuaternion.

Código B.1: FTransform

```
1 // Copyright 1998-2015 Epic Games, Inc. All Rights Reserved.  
2  
3 #pragma once  
4  
5 /** This returns Quaternion Inverse of X **/  
6 #define MAKE_QUATINV_VECTORREGISTER(X) VectorMultiply(GlobalVectorConstants  
7     ::QINV_SIGN_MASK, X)  
8  
9 /**  
10 * Transform composed of Scale, Rotation (as a quaternion), and Translation  
11 *  
12 * Transforms can be used to convert from one space to another, for example  
13 * by transforming  
14 * positions and directions from local space to world space.  
15 *  
16 * Transformation of position vectors is applied in the order: Scale ->  
17 * Rotate -> Translate.  
18 * Transformation of direction vectors is applied in the order: Scale ->  
19 * Rotate.  
20 *  
21 * Order matters when composing transforms: C = A * B will yield a  
22 * transform C that logically  
23 * first applies A then B to any subsequent transformation. Note that this
```

```

19     is the opposite order of quaternion (FQuat) multiplication.
20
21 * Example: LocalToWorld = (DeltaRotation * LocalToWorld) will change
22   rotation in local space by DeltaRotation.
23 * Example: LocalToWorld = (LocalToWorld * DeltaRotation) will change
24   rotation in world space by DeltaRotation.
25 */
26
27 MS_ALIGN(16) struct FTransform
28 {
29     #if !defined(COREUOBJECT_API)
30         #define MAYBE_COREUOBJECT_API
31     #else
32         #define MAYBE_COREUOBJECT_API COREUOBJECT_API
33     #endif
34     friend MAYBE_COREUOBJECT_API class UScriptStruct*
35         Z_Construct_UScriptStruct_UObject_FTransform();
36
37     protected:
38         /** Rotation of this transformation, as a quaternion */
39         VectorRegister Rotation;
40         /** Translation of this transformation, as a vector */
41         VectorRegister Translation;
42         /** 3D scale (always applied in local space) as a vector */
43         VectorRegister Scale3D;
44
45     public:
46         /**
47          * The identity transformation (Rotation = FQuat::Identity,
48             Translation = FVector::ZeroVector, Scale3D = (1,1,1))
49          */
50         static CORE_API const FTransform Identity;
51
52         (...)
```

